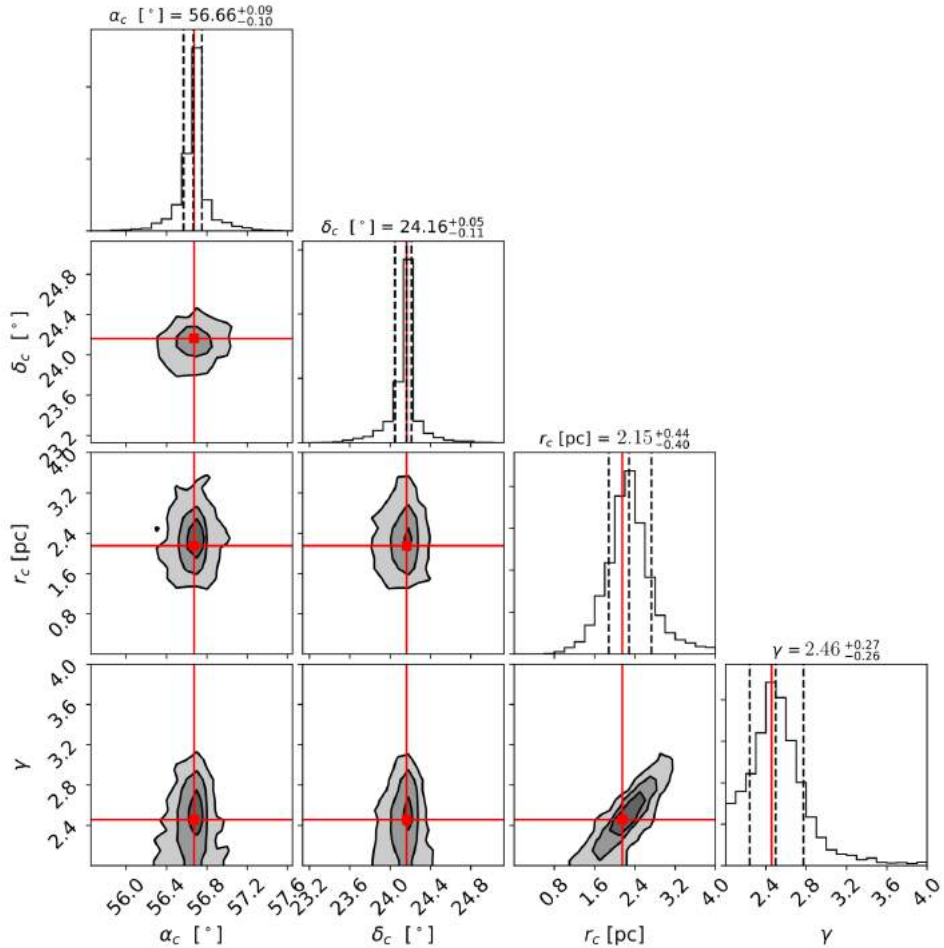


LAMPIRAN

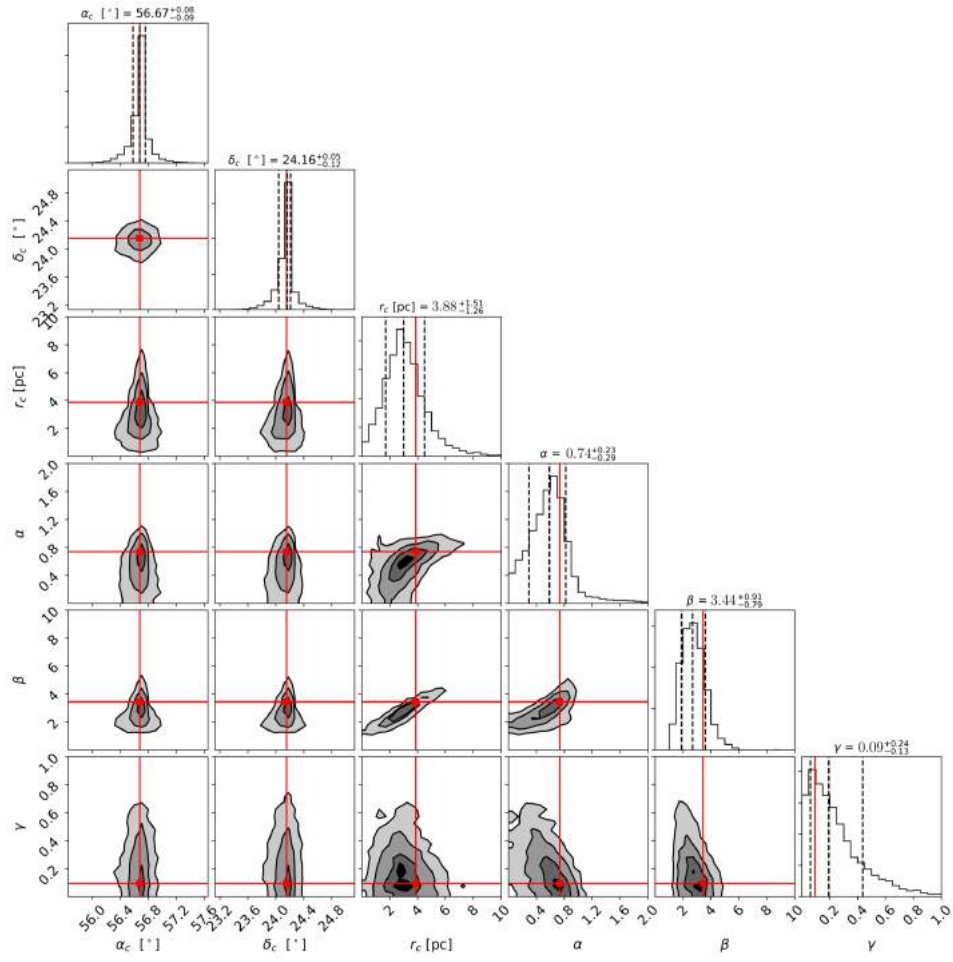
Lampiran A Melotte 22



Gambar A.1: Proyeksi dari distribusi *posterior* untuk profil EFF model simetris lingkaran Melotte 22.

Tabel A.1: Matriks kovarian profil EFF dengan model simetris lingkaran Melotte 22.

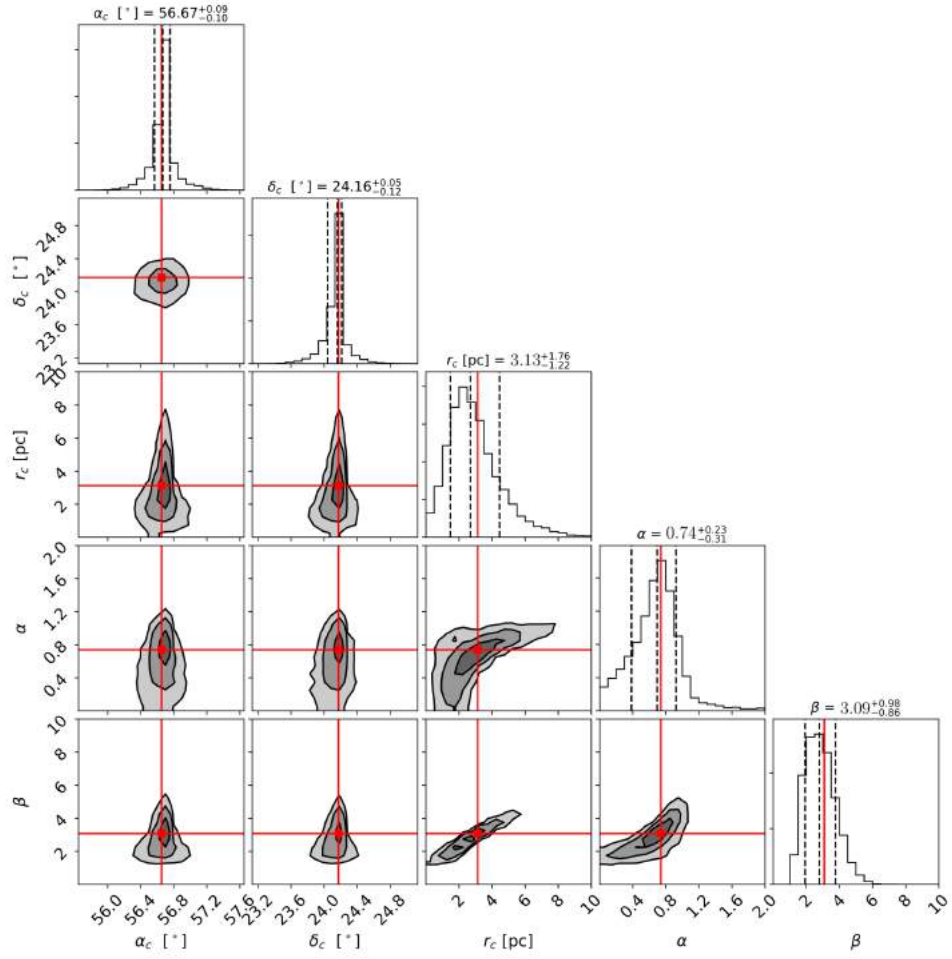
	α_c [°]	δ_c [°]	r_c [pc]	γ
α_c [°]	0.006	0.000	0.000	0.000
δ_c [°]	0.000	0.008	0.001	0.000
r_c [pc]	0.000	0.001	0.057	0.030
γ	0.000	0.000	0.030	0.028



Gambar A.2: Proyeksi dari distribusi *posterior* untuk profil GDP model simetris lingkaran Melotte 22.

Tabel A.2: Matriks kovarian profil GDP dengan model simetris lingkaran Melotte 22.

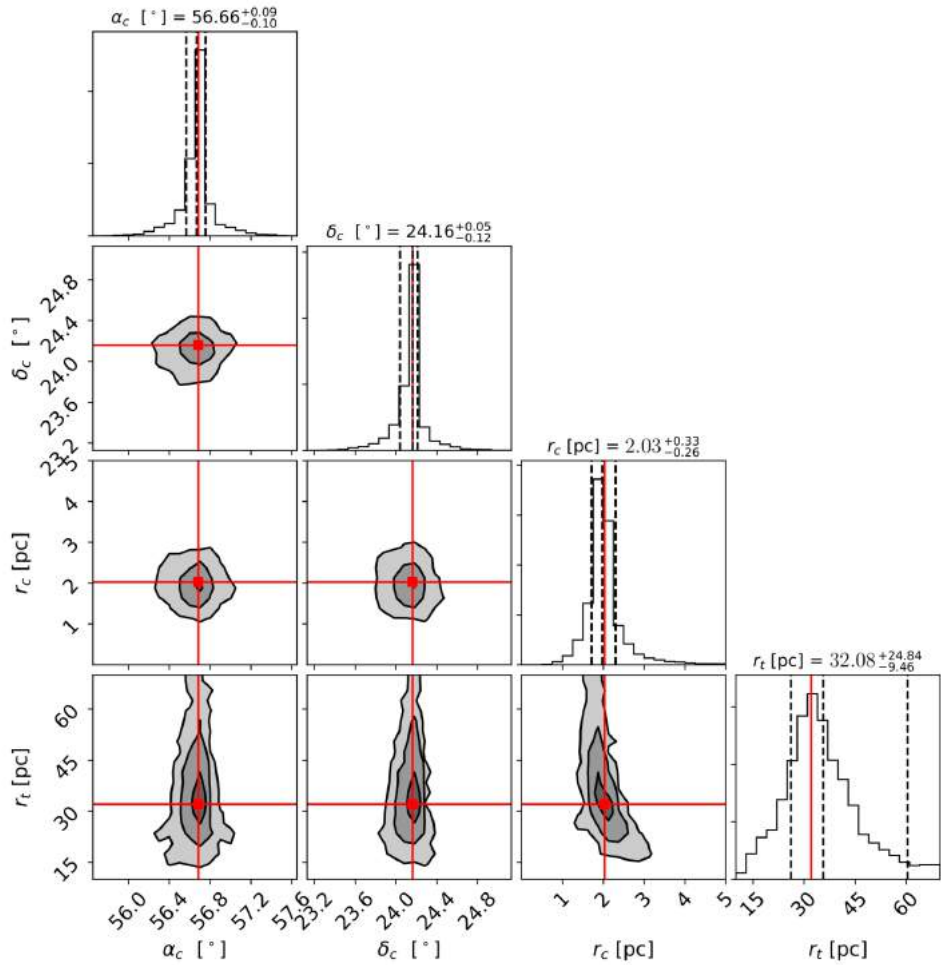
	α_c [°]	δ_c [°]	r_c [pc]	α	β	γ
α_c [°]	0.012	0.000	-0.000	-0.001	0.001	-0.000
δ_c [°]	0.000	0.011	0.008	0.001	0.006	-0.001
r_c [pc]	-0.000	0.008	0.668	0.066	0.373	0.003
α	-0.001	0.001	0.066	0.052	0.061	-0.017
β	0.001	0.006	0.373	0.061	0.283	-0.031
γ	-0.000	-0.001	0.003	-0.017	-0.031	0.030



Gambar A.3: Proyeksi dari distribusi *posterior* untuk profil RGDP model simetris lingkaran Melotte 22.

Tabel A.3: Matriks kovarian profil RGDP dengan model simetris lingkaran Melotte 22.

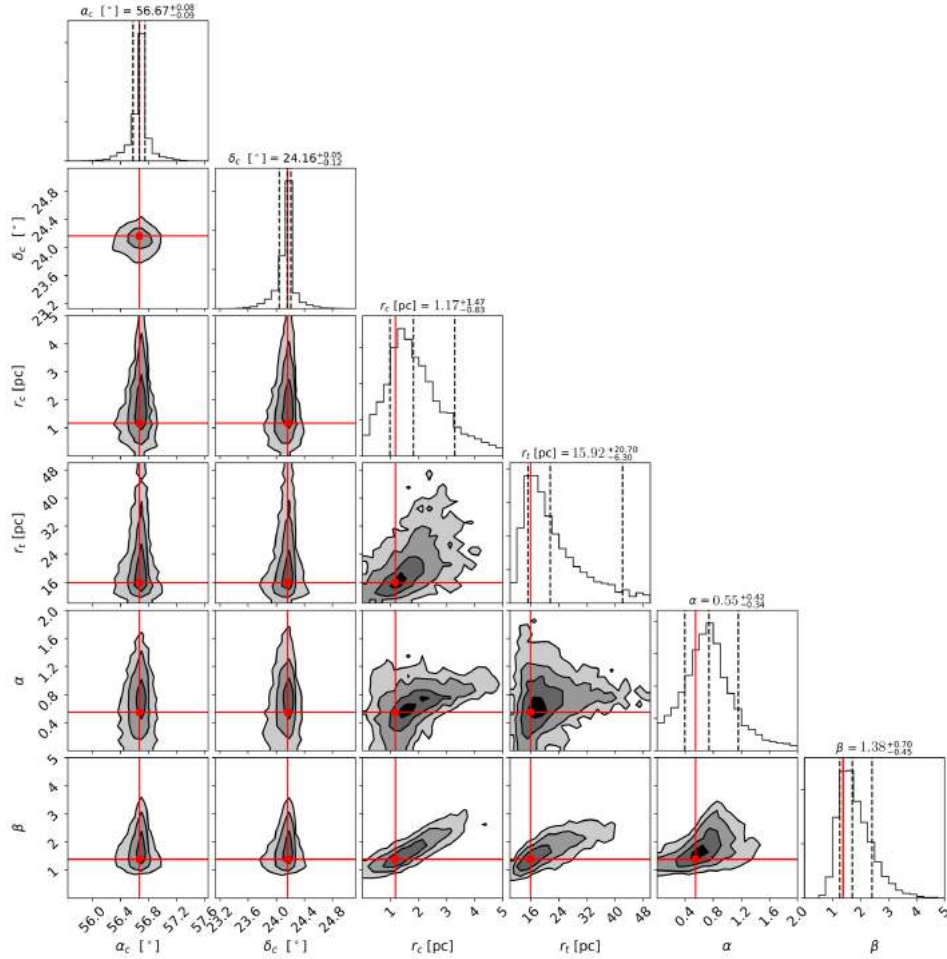
	α_c [°]	δ_c [°]	r_c [pc]	α	β
α_c [°]	0.013	0.001	0.003	-0.001	0.002
δ_c [°]	0.001	0.012	0.008	0.001	0.005
r_c [pc]	0.003	0.008	0.805	0.093	0.466
α	-0.001	0.001	0.093	0.044	0.062
β	0.002	0.005	0.466	0.062	0.308



Gambar A.4: Proyeksi dari distribusi *posterior* untuk profil King model simetris lingkaran Melotte 22.

Tabel A.4: Matriks kovarian profil King dengan model simetris lingkaran Melotte 22.

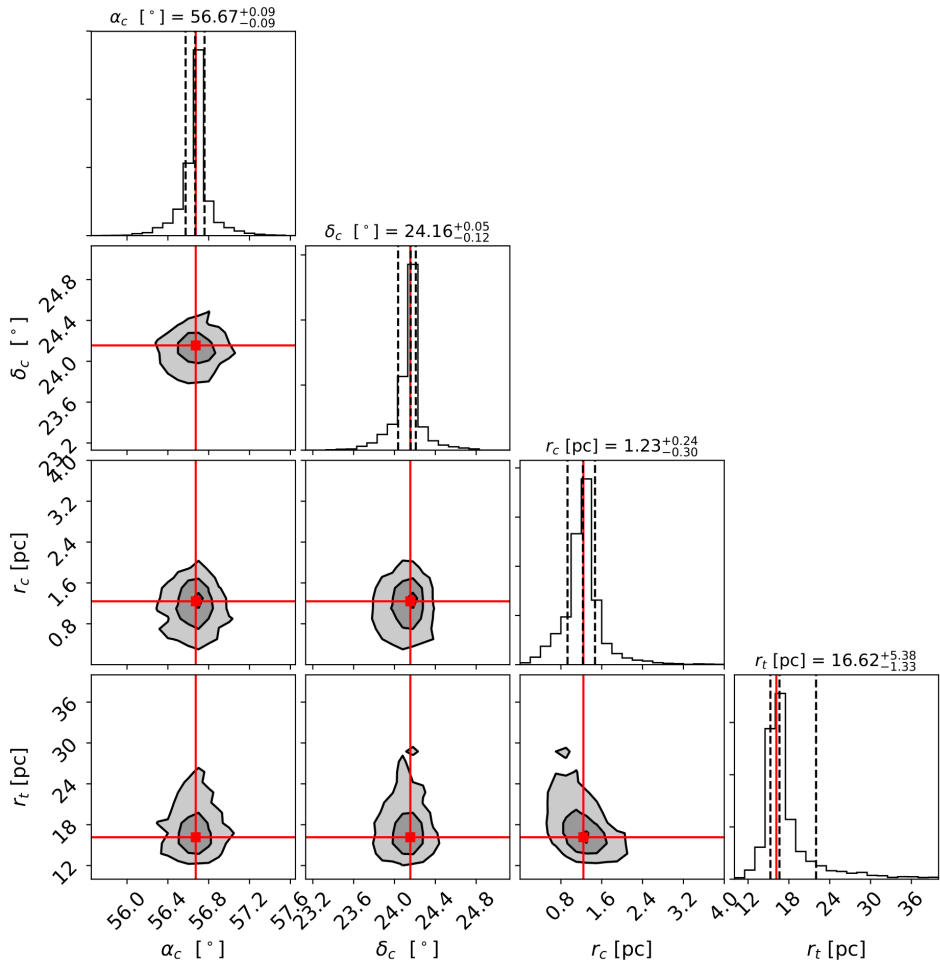
	$\alpha_c [\text{ }^\circ]$	$\delta_c [\text{ }^\circ]$	$r_c [\text{pc}]$	$r_t [\text{pc}]$
$\alpha_c [\text{ }^\circ]$	0.019	0.002	0.002	0.036
$\delta_c [\text{ }^\circ]$	0.002	0.017	0.000	0.035
$r_c [\text{pc}]$	0.002	0.000	0.139	-0.871
$r_t [\text{pc}]$	0.036	0.035	-0.871	38.687



Gambar A.5: Proyeksi dari distribusi *posterior* untuk profil GKING model simetris lingkaran Melotte 22.

Tabel A.5: Matriks kovarian profil GKING dengan model simetris lingkaran Melotte 22.

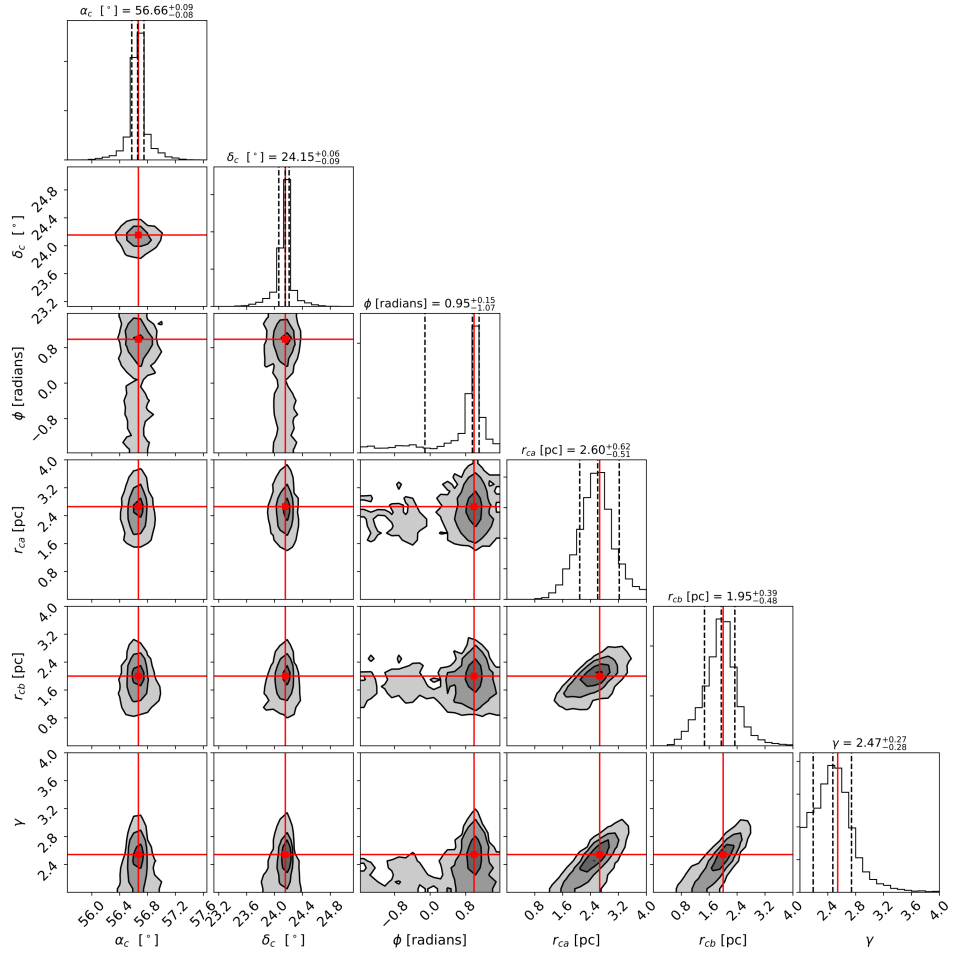
	$\alpha_c [^\circ]$	$\delta_c [^\circ]$	$r_c [pc]$	$r_t [pc]$	α	β
$\alpha_c [^\circ]$	0.022	0.001	0.005	0.001	0.002	0.001
$\delta_c [^\circ]$	0.001	0.018	-0.001	0.038	-0.005	0.003
$r_c [pc]$	0.005	-0.001	1.360	1.309	0.142	0.308
$r_t [pc]$	0.001	0.038	1.309	19.783	-0.179	1.129
α	0.002	-0.005	0.142	-0.179	0.340	0.030
β	0.001	0.003	0.308	1.129	0.030	0.139



Gambar A.6: Proyeksi dari distribusi *posterior* untuk profil OGKing model simetris lingkaran Melotte 22.

Tabel A.6: Matriks kovarian profil OGKing dengan model simetris lingkaran Melotte 22.

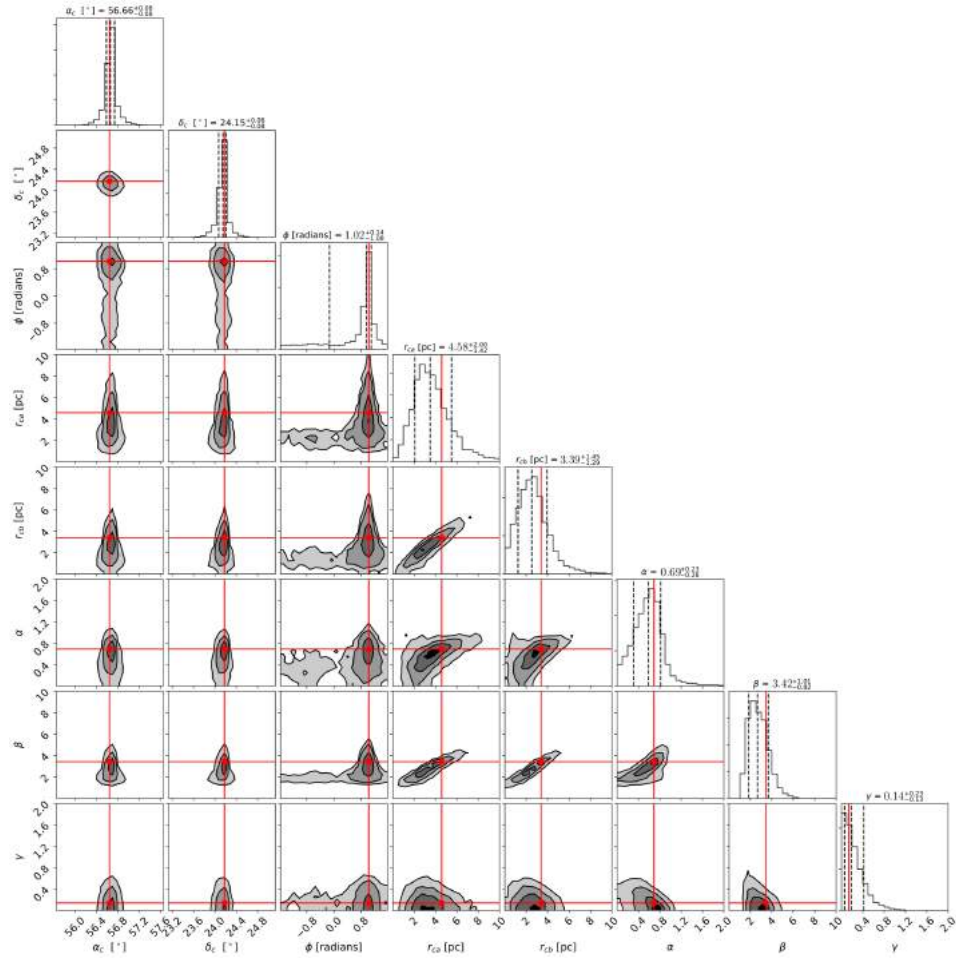
	$\alpha_c [\circ]$	$\delta_c [\circ]$	$r_c [pc]$	$r_t [pc]$
$\alpha_c [\circ]$	0.012	0.000	-0.001	-0.002
$\delta_c [\circ]$	0.000	0.010	0.001	0.001
$r_c [pc]$	-0.001	0.001	0.060	-0.100
$r_t [pc]$	-0.002	0.001	-0.100	1.904



Gambar A.7: Proyeksi dari distribusi *posterior* untuk profil EFF model eliptis Melotte 22.

Tabel A.7: Matriks kovarian profil EFF dengan model eliptis Melotte 22.

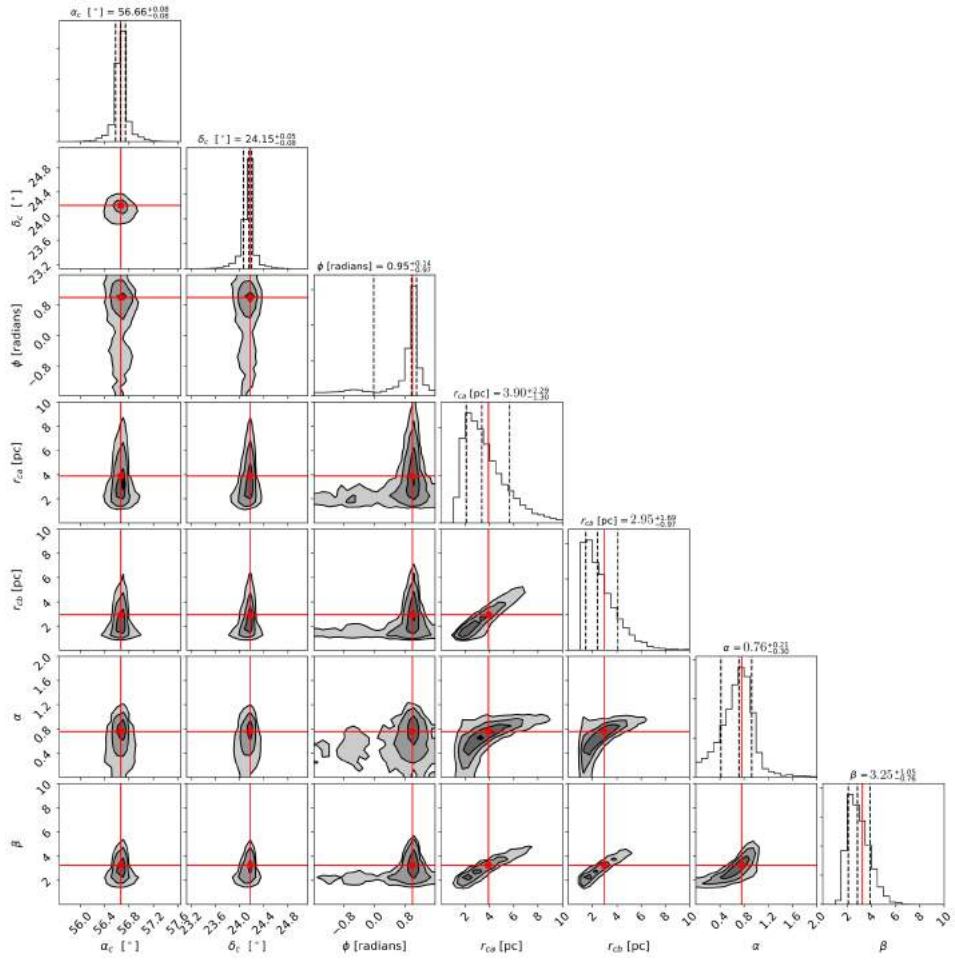
	α_c [°]	δ_c [°]	Φ [radians]	r_{ca} [pc]	r_{cb} [pc]	γ
α_c [°]	0.007	-0.000	-0.000	0.001	-0.000	-0.000
δ_c [°]	-0.000	0.005	-0.000	0.000	0.002	0.000
Φ [radians]	-0.000	-0.000	0.063	0.000	0.001	0.002
r_{ca} [pc]	0.001	0.000	0.000	0.134	0.057	0.050
r_{cb} [pc]	-0.000	0.002	0.001	0.057	0.095	0.048
γ	-0.000	0.000	0.002	0.050	0.048	0.041



Gambar A.8: Proyeksi dari distribusi *posterior* untuk profil GDP model eliptis Melotte 22.

Tabel A.8: Matriks kovarian profil GDP dengan model eliptis Melotte 22.

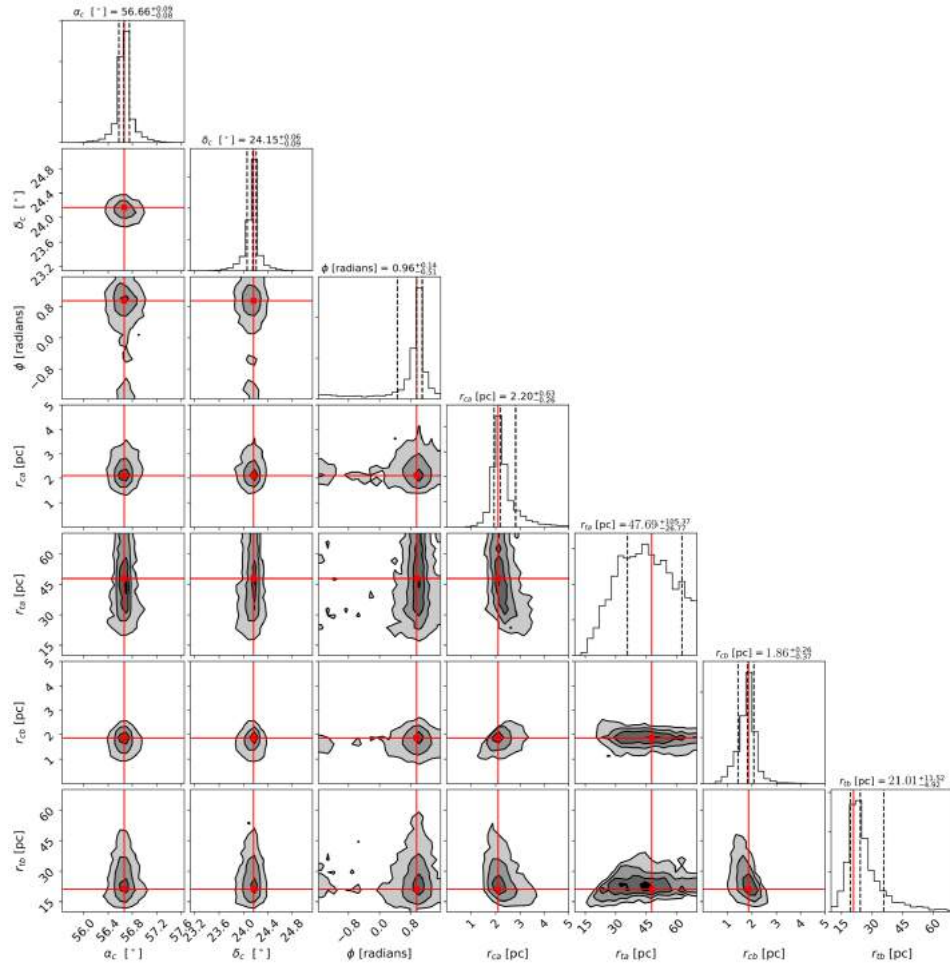
	$\alpha_c [\circ]$	$\delta_c [\circ]$	$\Phi [\text{radians}]$	$r_{ca} [\text{pc}]$	$r_{cb} [\text{pc}]$	α	β	γ
$\alpha_c [\circ]$	0.009	-0.001	0.002	0.005	0.004	0.000	0.002	0.000
$\delta_c [\circ]$	-0.001	0.007	0.001	0.005	0.008	0.001	0.005	-0.000
$\Phi [\text{radians}]$	0.002	0.001	0.265	0.087	0.064	0.013	0.064	-0.009
$r_{ca} [\text{pc}]$	0.005	0.005	0.087	0.981	0.639	0.086	0.448	0.001
$r_{cb} [\text{pc}]$	0.004	0.008	0.064	0.639	0.666	0.060	0.408	-0.004
α	0.000	0.001	0.013	0.086	0.060	0.049	0.066	-0.016
β	0.002	0.005	0.064	0.448	0.408	0.066	0.319	-0.030
γ	0.000	-0.000	-0.009	0.001	-0.004	-0.016	-0.030	0.026



Gambar A.9: Proyeksi dari distribusi *posterior* untuk profil RGDP model eliptis Melotte 22.

Tabel A.9: Matriks kovarian profil RGDP dengan model eliptis Melotte 22.

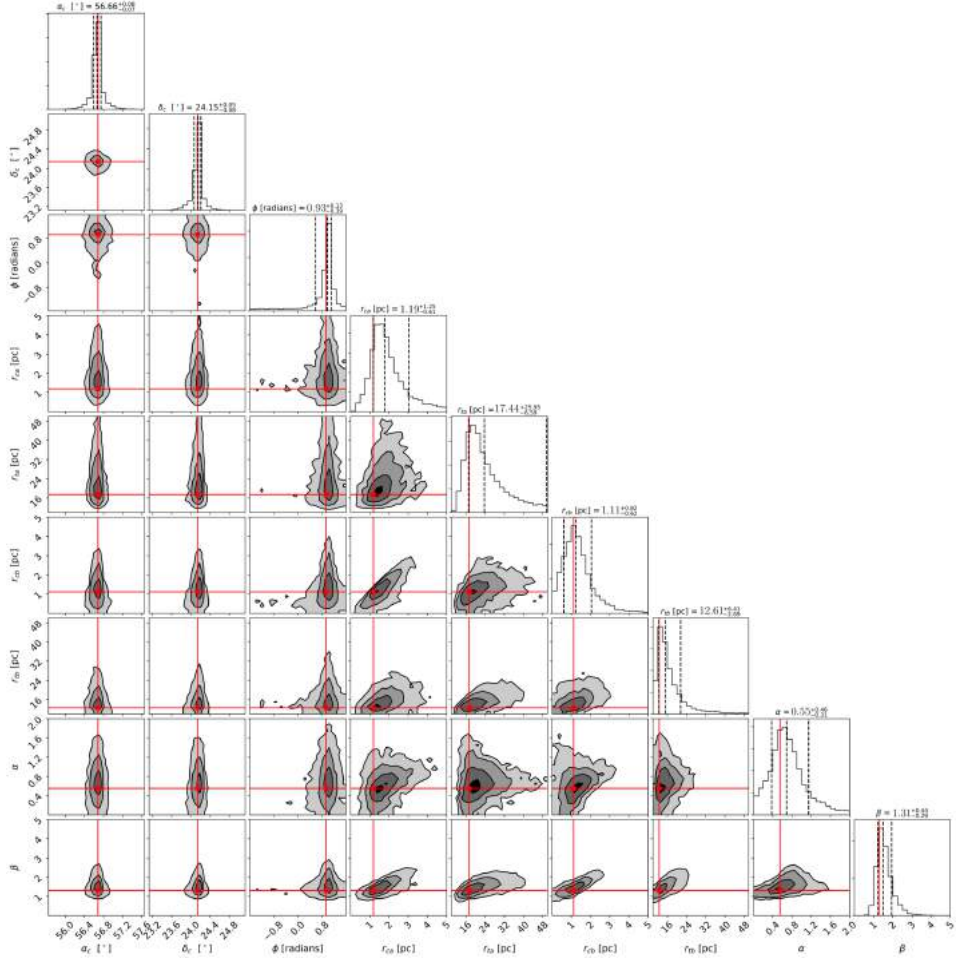
	$\alpha_c [^\circ]$	$\delta_c [^\circ]$	$\Phi [\text{radians}]$	$r_{ca} [\text{pc}]$	$r_{cb} [\text{pc}]$	α	β
$\alpha_c [^\circ]$	0.011	-0.000	-0.001	0.002	-0.001	0.000	0.000
$\delta_c [^\circ]$	-0.000	0.009	0.000	0.005	0.007	0.001	0.005
$\Phi [\text{radians}]$	-0.001	0.000	0.228	0.056	0.031	0.002	0.035
$r_{ca} [\text{pc}]$	0.002	0.005	0.056	1.027	0.650	0.092	0.471
$r_{cb} [\text{pc}]$	-0.001	0.007	0.031	0.650	0.641	0.067	0.409
α	0.000	0.001	0.002	0.092	0.067	0.048	0.055
β	0.000	0.005	0.035	0.471	0.409	0.055	0.307



Gambar A.10: Proyeksi dari distribusi *posterior* untuk profil King model eliptis Melotte 22.

Tabel A.10: Matriks kovarian profil King dengan model eliptis Melotte 22.

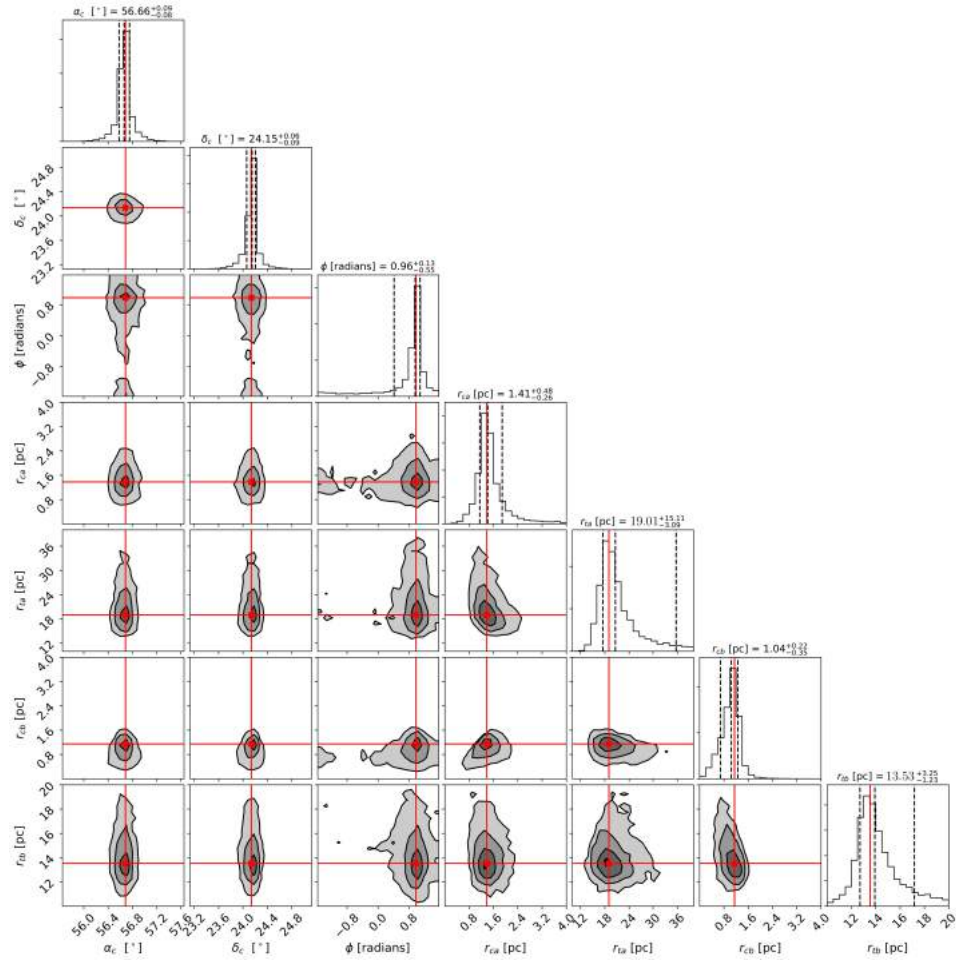
	$\alpha_c [\circ]$	$\delta_c [\circ]$	$\Phi [radians]$	$r_{ca} [pc]$	$r_{ta} [pc]$	$r_{cb} [pc]$	$r_{tb} [pc]$
$\alpha_c [\circ]$	0.020	-0.001	-0.000	-0.001	-0.069	0.001	-0.031
$\delta_c [\circ]$	-0.001	0.015	0.003	-0.013	0.056	-0.000	-0.006
$\Phi [radians]$	-0.000	0.003	0.347	-0.103	1.479	0.019	-0.441
$r_{ca} [pc]$	-0.001	-0.013	-0.103	1.664	-5.189	0.037	-1.474
$r_{ta} [pc]$	-0.069	0.056	1.479	-5.189	401.360	-1.055	26.605
$r_{cb} [pc]$	0.001	-0.000	0.019	0.037	-1.055	0.154	-1.215
$r_{tb} [pc]$	-0.031	-0.006	-0.441	-1.474	26.605	-1.215	56.899



Gambar A.11: Proyeksi dari distribusi *posterior* untuk profil GKing model eliptis Melotte 22.

Tabel A.11: Matriks kovarian profil GKing dengan model eliptis Melotte 22.

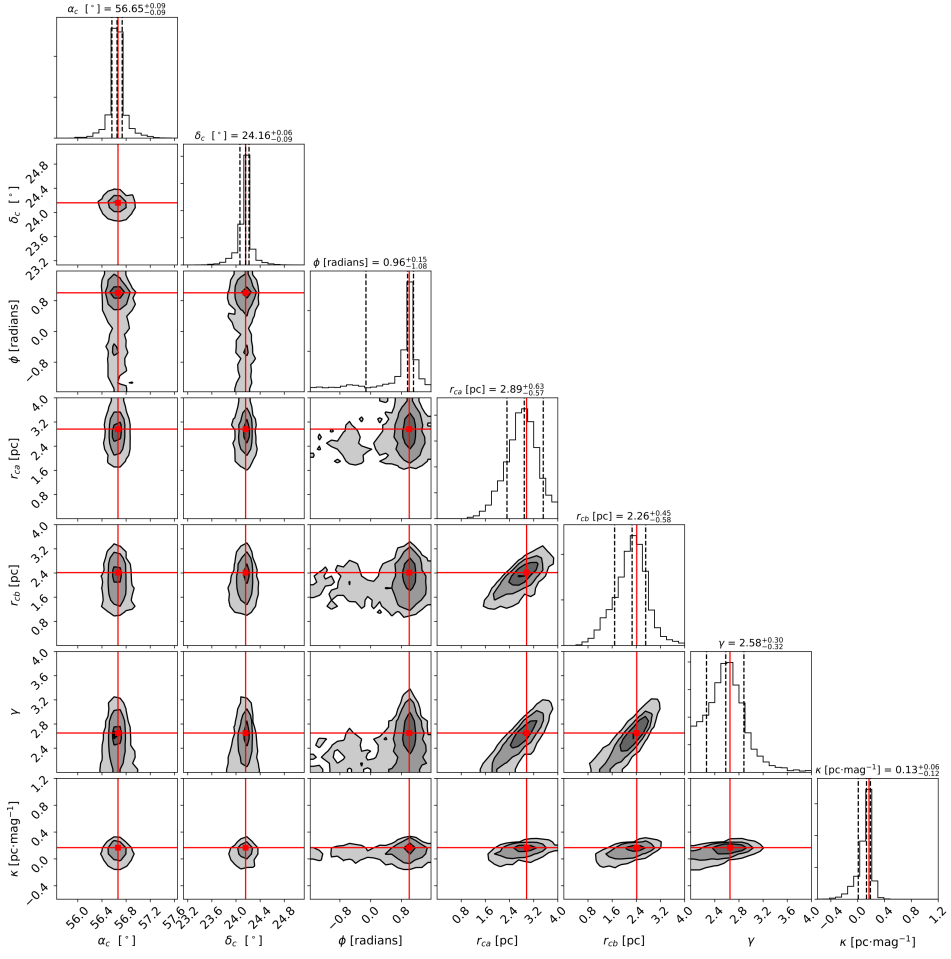
	α_c [°]	δ_c [°]	Φ [radians]	r_{ca} [pc]	r_{ta} [pc]	r_{cb} [pc]	r_{tb} [pc]	α	β
α_c [°]	0.012	0.000	-0.001	0.005	-0.008	-0.002	-0.008	0.002	-0.001
δ_c [°]	0.000	0.010	0.001	0.003	0.011	0.004	0.007	0.002	0.002
Φ [radians]	-0.001	0.001	0.268	-0.022	0.233	0.072	0.007	-0.020	0.030
r_{ca} [pc]	0.005	0.003	-0.022	1.764	-0.087	0.363	0.531	0.191	0.130
r_{ta} [pc]	-0.008	0.011	0.233	-0.087	24.077	0.900	5.108	-0.211	0.645
r_{cb} [pc]	-0.002	0.004	0.072	0.363	0.900	0.443	0.596	0.028	0.145
r_{tb} [pc]	-0.008	0.007	0.007	0.531	5.108	0.596	6.151	-0.011	0.431
α	0.002	0.002	-0.020	0.191	-0.211	0.028	-0.011	0.292	0.026
β	-0.001	0.002	0.030	0.130	0.645	0.145	0.431	0.026	0.076



Gambar A.12: Proyeksi dari distribusi *posterior* untuk profil OGKing model eliptis Melotte 22.

Tabel A.12: Matriks kovarian profil OGKing dengan model eliptis Melotte 22.

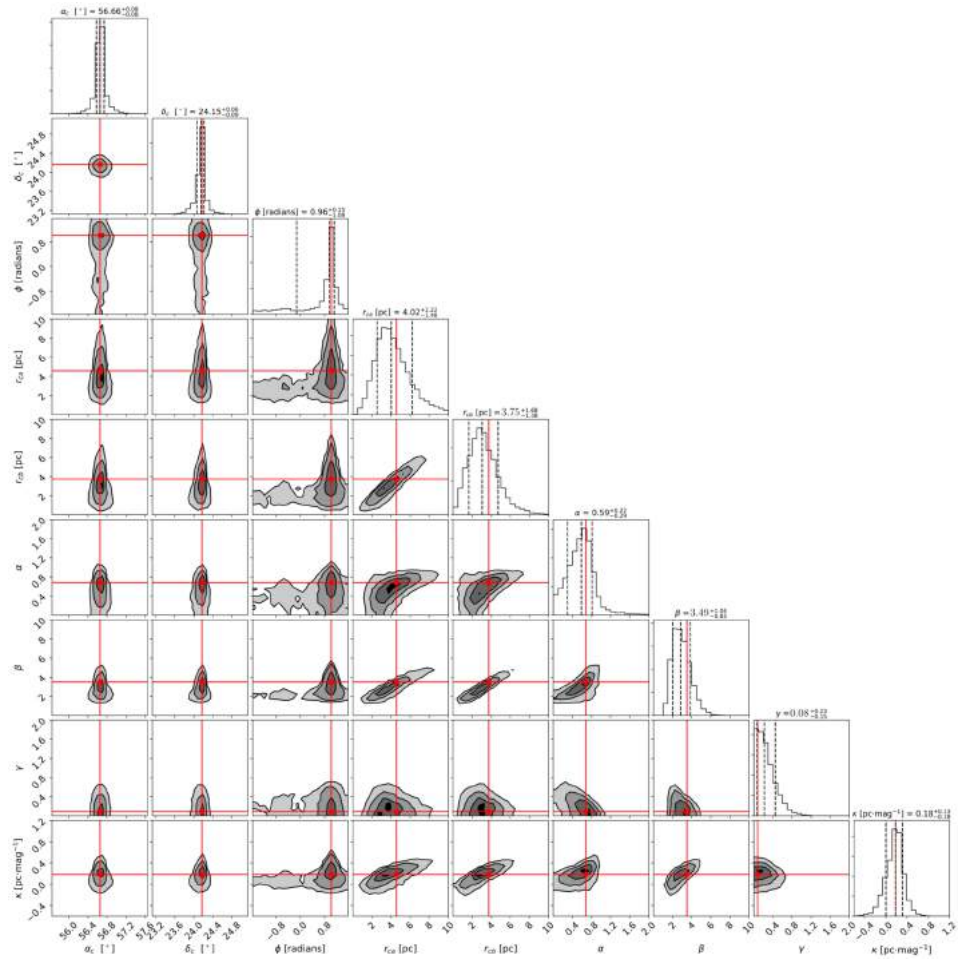
	$\alpha_c [^\circ]$	$\delta_c [^\circ]$	$\Phi [radians]$	$r_{ca} [pc]$	$r_{ta} [pc]$	$r_{cb} [pc]$	$r_{tb} [pc]$
$\alpha_c [^\circ]$	0.009	-0.001	0.002	0.001	-0.006	-0.000	-0.004
$\delta_c [^\circ]$	-0.001	0.008	0.002	-0.004	0.020	0.000	0.002
$\Phi [radians]$	0.002	0.002	0.194	-0.025	0.122	0.013	-0.150
$r_{ca} [pc]$	0.001	-0.004	-0.025	0.247	-0.461	0.007	-0.043
$r_{ta} [pc]$	-0.006	0.020	0.122	-0.461	13.999	-0.091	-0.146
$r_{cb} [pc]$	-0.000	0.000	0.013	0.007	-0.091	0.057	-0.179
$r_{tb} [pc]$	-0.004	0.002	-0.150	-0.043	-0.146	-0.179	3.703



Gambar A.13: Proyeksi dari distribusi *posterior* untuk profil EFF model segregasi Melotte 22.

Tabel A.13: Matriks kovarian profil EFF dengan model segregasi Melotte 22.

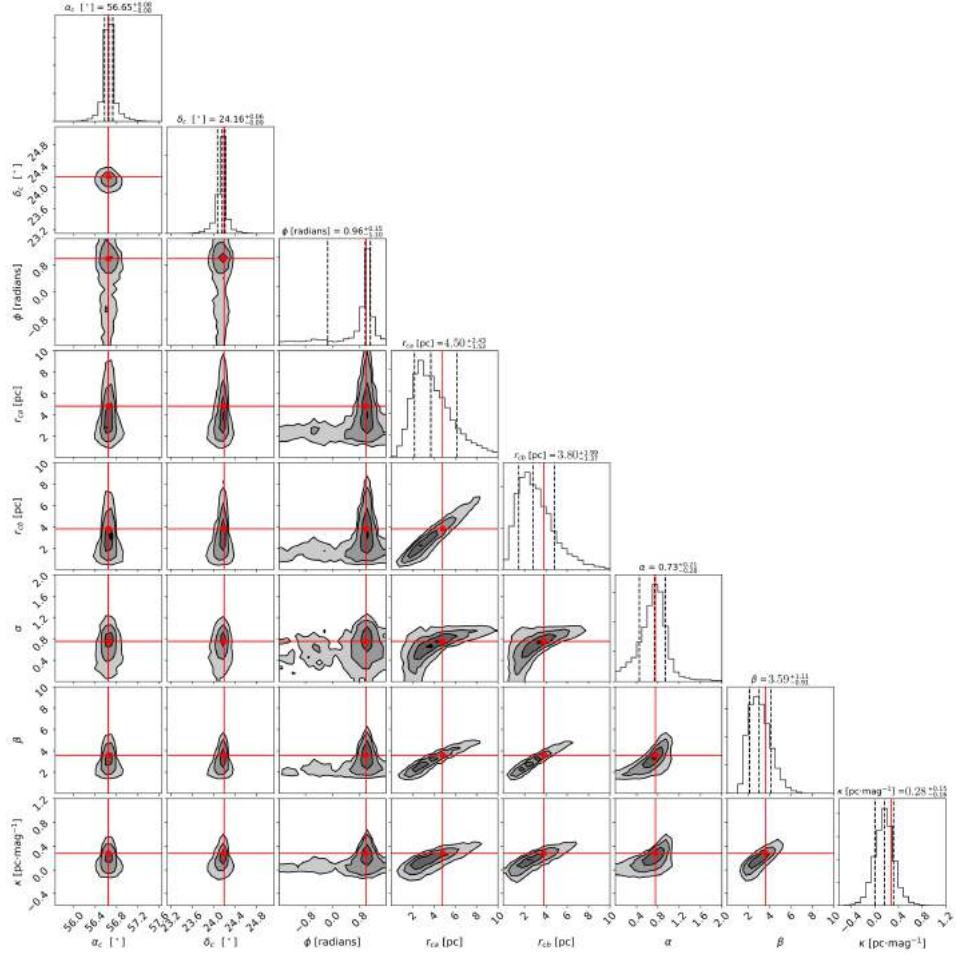
	$\alpha_c [\circ]$	$\delta_c [\circ]$	$\Phi [\text{radians}]$	$r_{ca} [\text{pc}]$	$r_{cb} [\text{pc}]$	γ	$\kappa [\text{pc}\cdot\text{mag}^{-1}]$
$\alpha_c [\circ]$	0.007	-0.000	-0.001	0.001	-0.001	0.000	-0.000
$\delta_c [\circ]$	-0.000	0.005	0.000	0.001	0.002	0.001	0.001
$\Phi [\text{radians}]$	-0.001	0.000	0.081	0.009	0.002	0.005	0.001
$r_{ca} [\text{pc}]$	0.001	0.001	0.009	0.148	0.075	0.059	0.007
$r_{cb} [\text{pc}]$	-0.001	0.002	0.002	0.075	0.123	0.059	0.012
γ	0.000	0.001	0.005	0.059	0.059	0.048	0.005
$\kappa [\text{pc}\cdot\text{mag}^{-1}]$	-0.000	0.001	0.001	0.007	0.012	0.005	0.005



Gambar A.14: Proyeksi dari distribusi *posterior* untuk profil GDP model segregasi Melotte 22.

Tabel A.14: Matriks kovarian profil GDP dengan model segregasi Melotte 22.

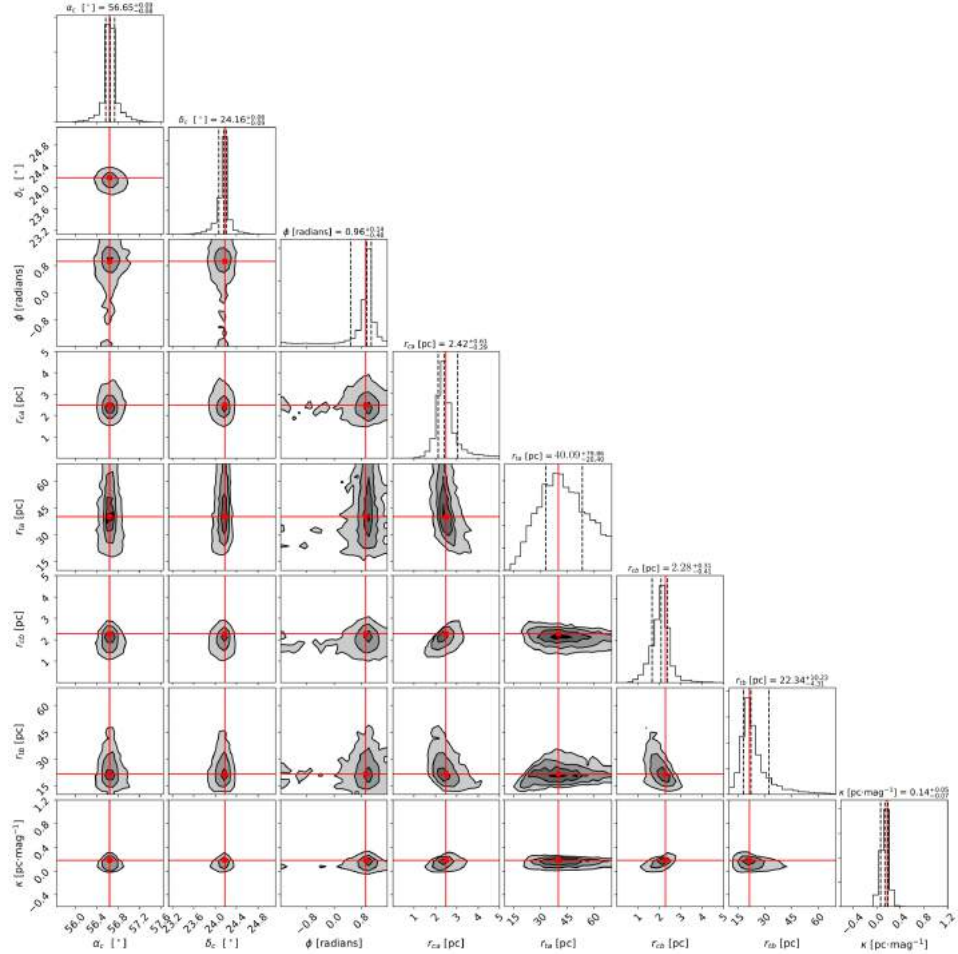
	$\alpha_c [^\circ]$	$\delta_c [^\circ]$	$\Phi [radians]$	$r_{ca} [pc]$	$r_{cb} [pc]$	α	β	γ	κ
$\alpha_c [^\circ]$	0.009	-0.001	-0.001	0.002	0.002	-0.001	0.001	0.001	-0.000
$\delta_c [^\circ]$	-0.001	0.008	0.001	0.004	0.007	0.002	0.005	-0.001	0.001
$\Phi [radians]$	-0.001	0.001	0.289	0.086	0.055	0.007	0.064	-0.012	0.010
$r_{ca} [pc]$	0.002	0.004	0.086	1.157	0.807	0.099	0.513	-0.004	0.060
$r_{cb} [pc]$	0.002	0.007	0.055	0.807	0.873	0.073	0.489	-0.012	0.072
α	-0.001	0.002	0.007	0.099	0.073	0.051	0.067	-0.020	0.004
β	0.001	0.005	0.064	0.513	0.489	0.067	0.358	-0.040	0.041
γ	0.001	-0.001	-0.012	-0.004	-0.012	-0.020	-0.040	0.032	-0.004
κ	-0.000	0.001	0.010	0.060	0.072	0.004	0.041	-0.004	0.016



Gambar A.15: Proyeksi dari distribusi *posterior* untuk profil RGDP model segregasi Melotte 22.

Tabel A.15: Matriks kovarian profil RGDP dengan model segregasi Melotte 22.

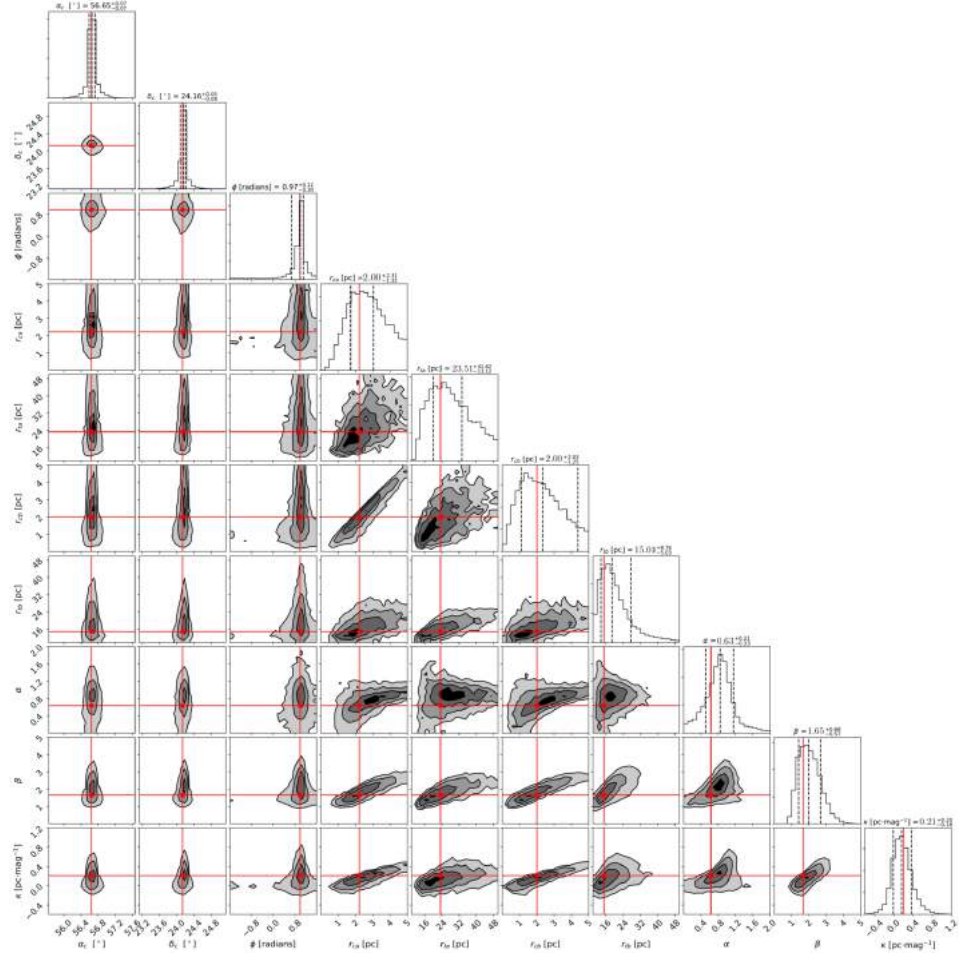
	$\alpha_c [^\circ]$	$\delta_c [^\circ]$	$\Phi [radians]$	$r_{ca} [pc]$	$r_{cb} [pc]$	α	β	$\kappa [pc.mag^{-1}]$
$\alpha_c [^\circ]$	0.011	-0.000	-0.001	0.005	0.002	0.001	0.002	-0.000
$\delta_c [^\circ]$	-0.000	0.009	0.002	0.007	0.007	-0.000	0.005	0.002
$\Phi [radians]$	-0.001	0.002	0.311	0.116	0.080	0.003	0.062	0.013
$r_{ca} [pc]$	0.005	0.007	0.116	1.347	0.990	0.122	0.634	0.076
$r_{cb} [pc]$	0.002	0.007	0.080	0.990	1.025	0.093	0.593	0.082
α	0.001	-0.000	0.003	0.122	0.093	0.055	0.066	0.005
β	0.002	0.005	0.062	0.634	0.593	0.066	0.394	0.046
$\kappa [pc.mag^{-1}]$	-0.000	0.002	0.013	0.076	0.082	0.005	0.046	0.016



Gambar A.16: Proyeksi dari distribusi *posterior* untuk profil King model segregasi Melotte 22.

Tabel A.16: Matriks kovarian profil King dengan model segregasi Melotte 22.

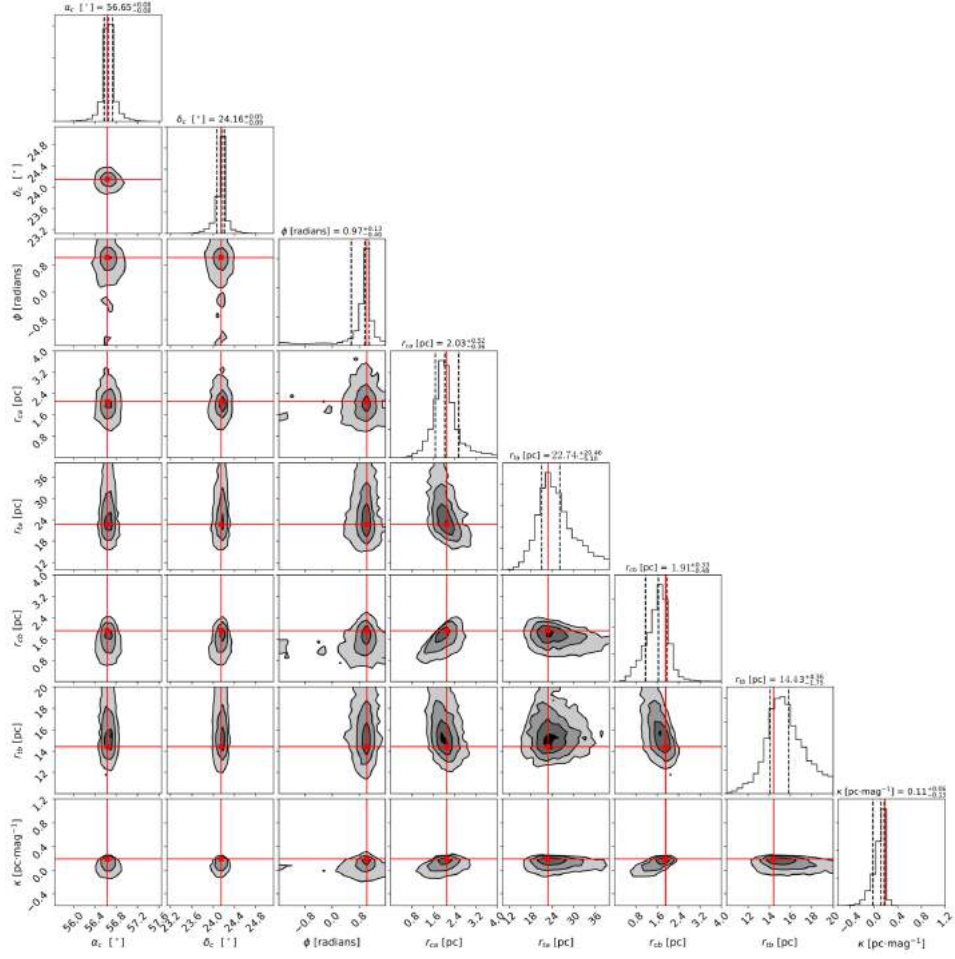
	$\alpha_c [^\circ]$	$\delta_c [^\circ]$	$\Phi [radians]$	$r_{ca} [pc]$	$r_{ta} [pc]$	$r_{cb} [pc]$	$r_{tb} [pc]$	$\kappa [pc.mag^{-1}]$
$\alpha_c [^\circ]$	0.018	-0.001	-0.003	0.010	-0.080	0.001	-0.020	-0.000
$\delta_c [^\circ]$	-0.001	0.014	0.004	-0.006	0.066	0.002	-0.018	0.001
$\Phi [radians]$	-0.003	0.004	0.323	-0.134	1.301	-0.003	-0.128	0.004
$r_{ca} [pc]$	0.010	-0.006	-0.134	1.320	-4.863	0.100	-1.278	0.002
$r_{ta} [pc]$	-0.080	0.066	1.301	-4.863	216.088	-1.183	13.747	-0.026
$r_{cb} [pc]$	0.001	0.002	-0.003	0.100	-1.183	0.179	-1.069	0.013
$r_{tb} [pc]$	-0.020	-0.018	-0.128	-1.278	13.747	-1.069	32.371	-0.065
$\kappa [pc.mag^{-1}]$	-0.000	0.001	0.004	0.002	-0.026	0.013	-0.065	0.004



Gambar A.17: Proyeksi dari distribusi *posterior* untuk profil GKING model segregasi Melotte 22.

Tabel A.17: Matriks kovarian profil GKING dengan model segregasi Melotte 22.

	α_c [°]	δ_c [°]	Φ [radians]	r_{ca} [pc]	r_{ta} [pc]	r_{cb} [pc]	r_{tb} [pc]	α	β	κ [pc.mag $^{-1}$]
α_c [°]	0.015	-0.001	-0.002	0.009	-0.035	-0.003	-0.026	0.003	-0.002	-0.001
δ_c [°]	-0.001	0.012	0.003	0.004	0.057	0.014	0.021	0.000	0.005	0.003
Φ [radians]	-0.002	0.003	0.298	0.068	0.566	0.169	0.126	-0.022	0.061	0.030
r_{ca} [pc]	0.009	0.004	0.068	4.405	1.776	2.362	1.918	0.441	0.567	0.160
r_{ta} [pc]	-0.035	0.057	0.566	1.776	94.715	4.311	20.783	-0.691	2.421	0.572
r_{cb} [pc]	-0.003	0.014	0.169	2.362	4.311	2.504	2.491	0.167	0.648	0.229
r_{tb} [pc]	-0.026	0.021	0.126	1.918	20.783	2.491	18.451	-0.168	1.362	0.300
α	0.003	0.000	-0.022	0.441	-0.691	0.167	-0.168	0.357	0.027	-0.003
β	-0.002	0.005	0.061	0.567	2.421	0.648	1.362	0.027	0.239	0.069
κ [pc.mag $^{-1}$]	-0.001	0.003	0.030	0.160	0.572	0.229	0.300	-0.003	0.069	0.038

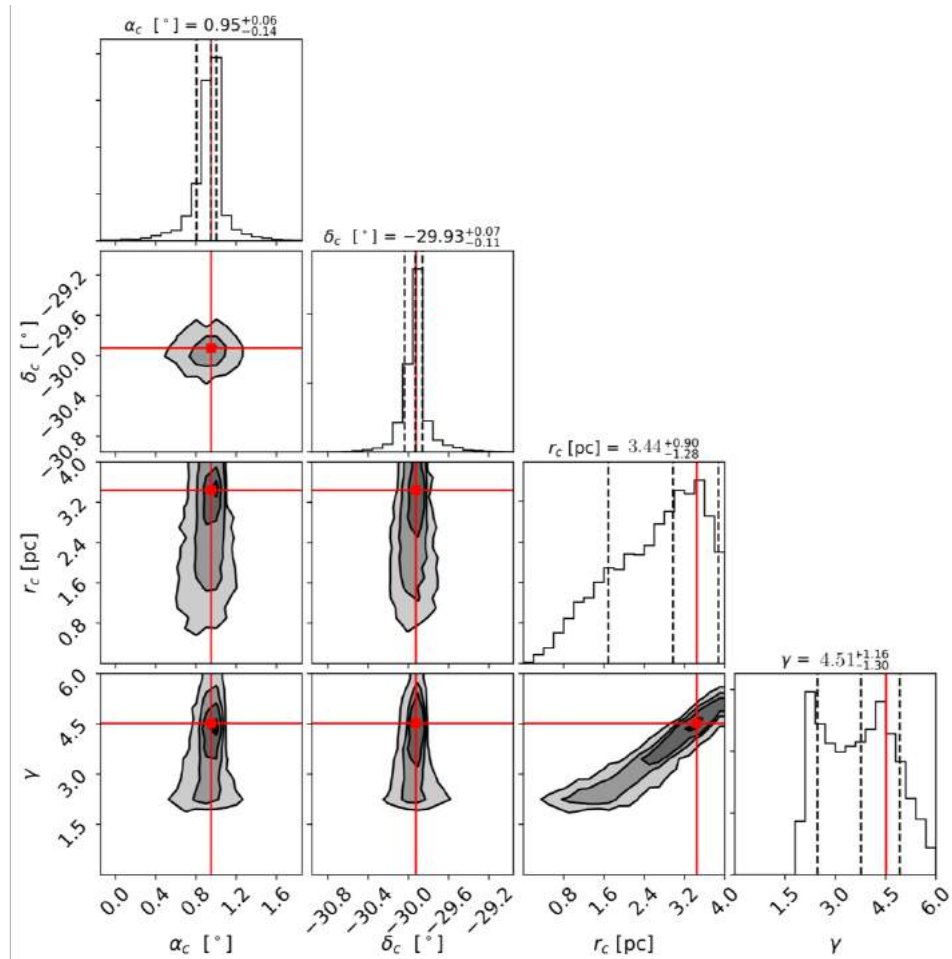


Gambar A.18: Proyeksi dari distribusi *posterior* untuk profil OGKing model segregasi Melotte 22.

Tabel A.18: Matriks kovarian profil OGKing dengan model segregasi Melotte 22.

	$\alpha_c [^\circ]$	$\delta_c [^\circ]$	$\Phi [radians]$	$r_{ca} [pc]$	$r_{ta} [pc]$	$r_{cb} [pc]$	$r_{tb} [pc]$	$\kappa [pc.mag^{-1}]$
$\alpha_c [^\circ]$	0.009	-0.000	-0.002	0.003	-0.005	-0.001	-0.002	-0.001
$\delta_c [^\circ]$	-0.000	0.007	0.002	-0.003	0.003	0.002	-0.006	0.001
$\Phi [radians]$	-0.002	0.002	0.187	-0.027	0.192	0.008	-0.102	0.008
$r_{ca} [pc]$	0.003	-0.003	-0.027	0.194	-0.416	0.027	-0.052	-0.002
$r_{ta} [pc]$	-0.005	0.003	0.192	-0.416	10.928	-0.112	-0.257	0.010
$r_{cb} [pc]$	-0.001	0.002	0.008	0.027	-0.112	0.075	-0.168	0.009
$r_{tb} [pc]$	-0.002	-0.006	-0.102	-0.052	-0.257	-0.168	2.828	-0.019
$\kappa [pc.mag^{-1}]$	-0.001	0.001	0.008	-0.002	0.010	0.009	-0.019	0.005

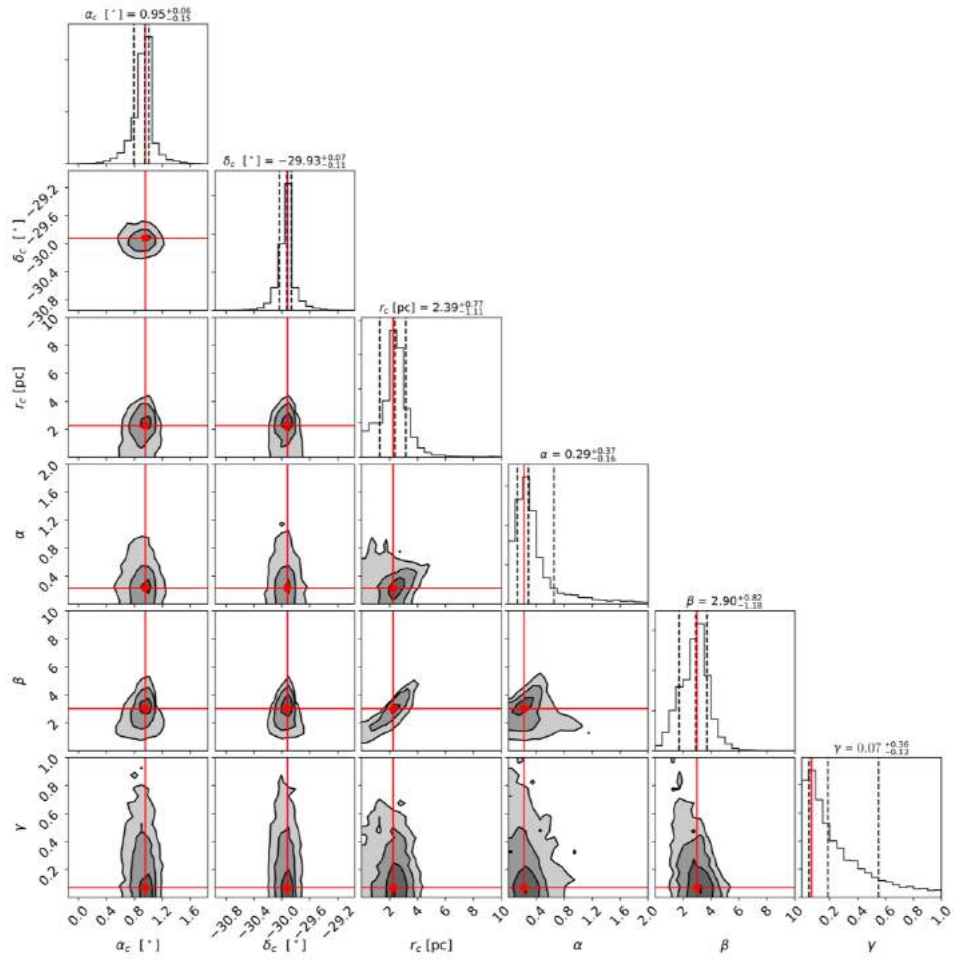
Lampiran B Blanco 1



Gambar B.1: Proyeksi dari distribusi *posterior* untuk profil EFF model simetris lingkaran Blanco 1.

Tabel B.1: Matriks kovarian profil EFF dengan model simetris lingkaran Blanco 1.

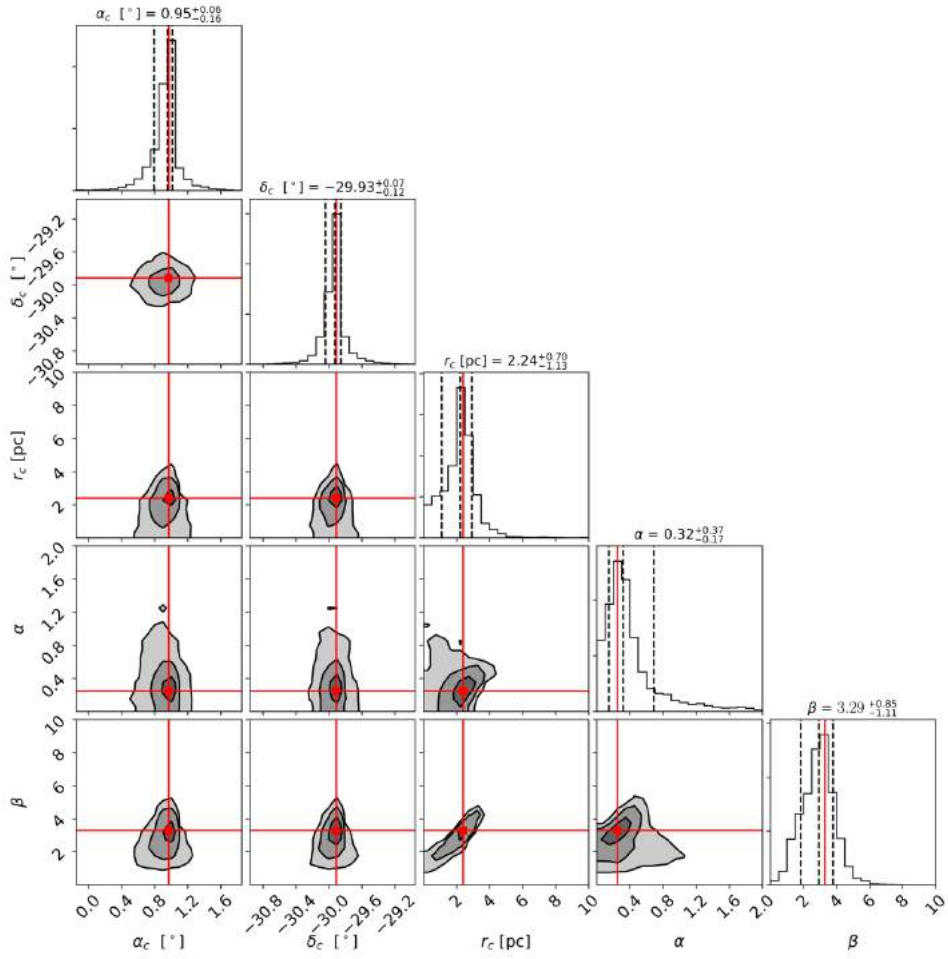
	$\alpha_c [\circ]$	$\delta_c [\circ]$	$r_c [pc]$	γ
$\alpha_c [\circ]$	0.014	0.001	0.005	0.009
$\delta_c [\circ]$	0.001	0.010	0.005	0.002
$r_c [pc]$	0.005	0.005	0.414	0.403
γ	0.009	0.002	0.403	0.634



Gambar B.2: Proyeksi dari distribusi *posterior* untuk profil GDP model simetris lingkaran Blanco 1.

Tabel B.2: Matriks kovarian profil GDP dengan model simetris lingkaran Blanco 1.

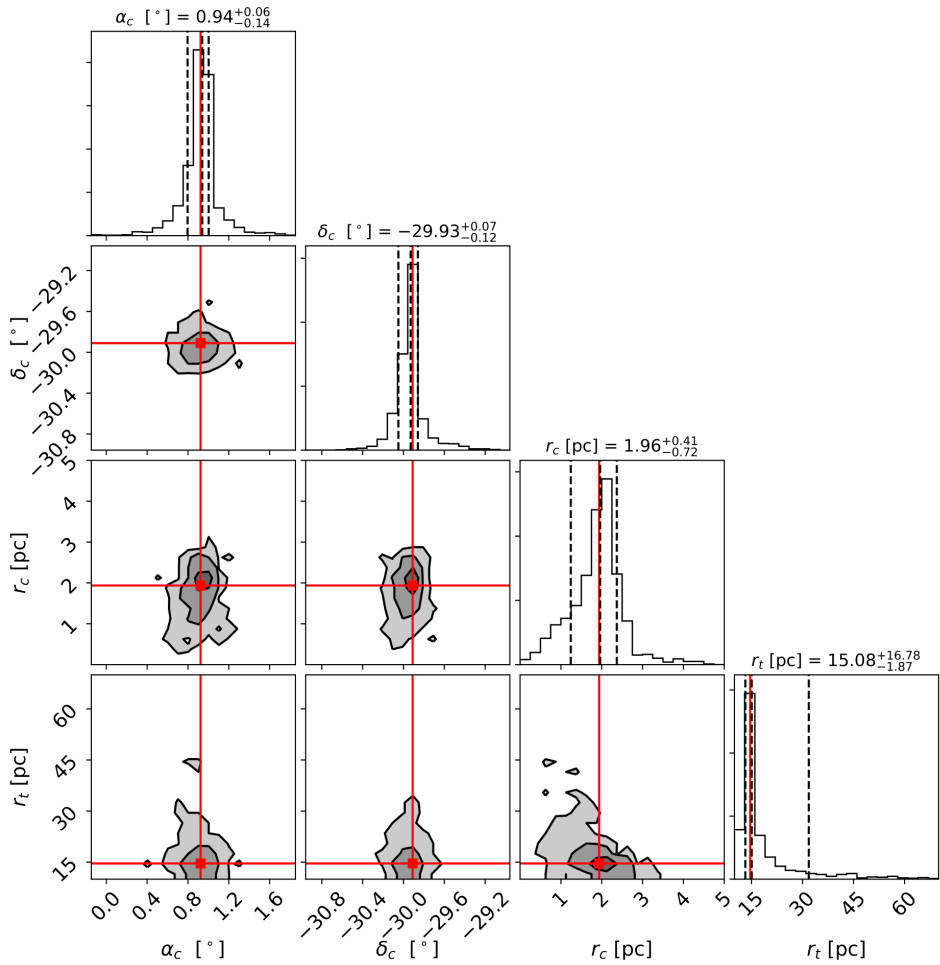
	α_c [°]	δ_c [°]	r_c [pc]	α	β	γ
α_c [°]	0.011	0.000	0.001	-0.001	0.006	-0.003
δ_c [°]	0.000	0.008	0.003	0.000	0.004	-0.001
r_c [pc]	0.001	0.003	0.252	0.007	0.210	0.004
α	-0.001	0.000	0.007	0.036	0.013	-0.000
β	0.006	0.004	0.210	0.013	0.343	-0.031
γ	-0.003	-0.001	0.004	-0.000	-0.031	0.034



Gambar B.3: Proyeksi dari distribusi *posterior* untuk profil RGDP model simetris lingkaran Blanco 1.

Tabel B.3: Matriks kovarian profil RGDP dengan model simetris lingkaran Blanco 1.

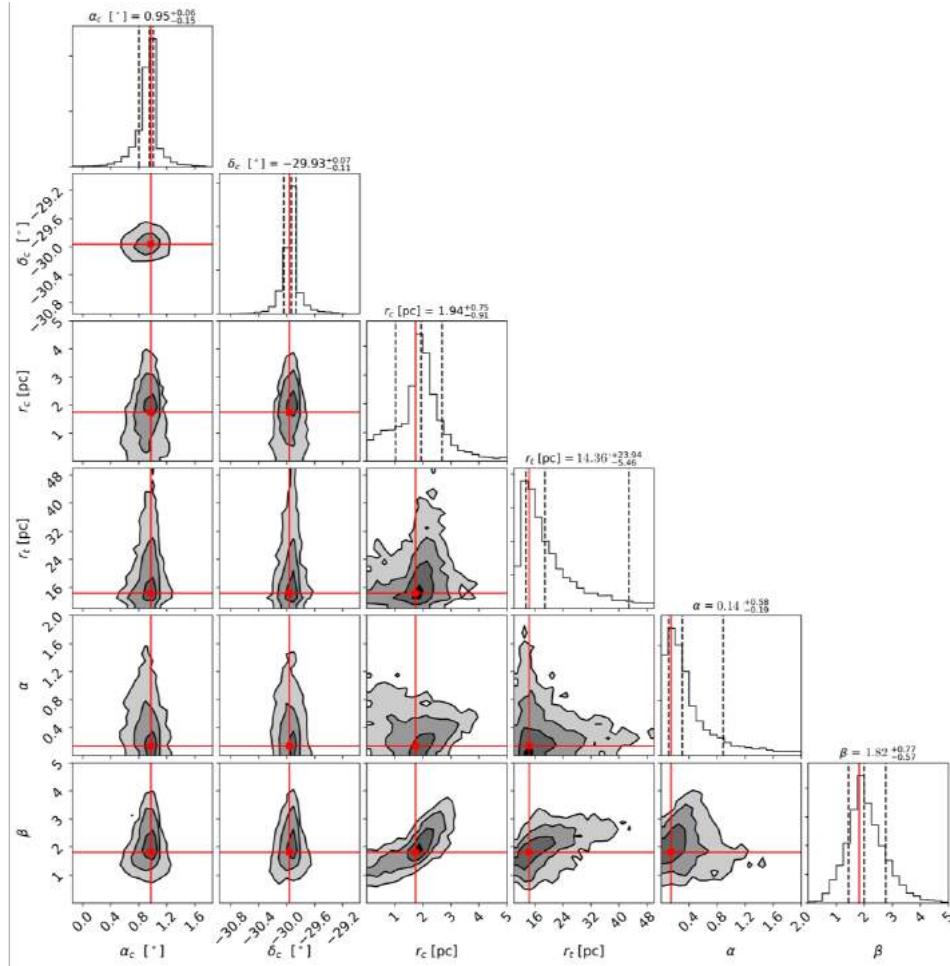
	$\alpha_c [^\circ]$	$\delta_c [^\circ]$	$r_c [pc]$	α	β
$\alpha_c [^\circ]$	0.012	0.001	0.003	-0.001	0.004
$\delta_c [^\circ]$	0.001	0.008	0.003	-0.000	0.003
$r_c [pc]$	0.003	0.003	0.230	0.019	0.215
α	-0.001	-0.000	0.019	0.040	0.029
β	0.004	0.003	0.215	0.029	0.345



Gambar B.4: Proyeksi dari distribusi *posterior* untuk profil King model simetris lingkaran Blanco 1.

Tabel B.4: Matriks kovarian profil King dengan model simetris lingkaran Blanco 1.

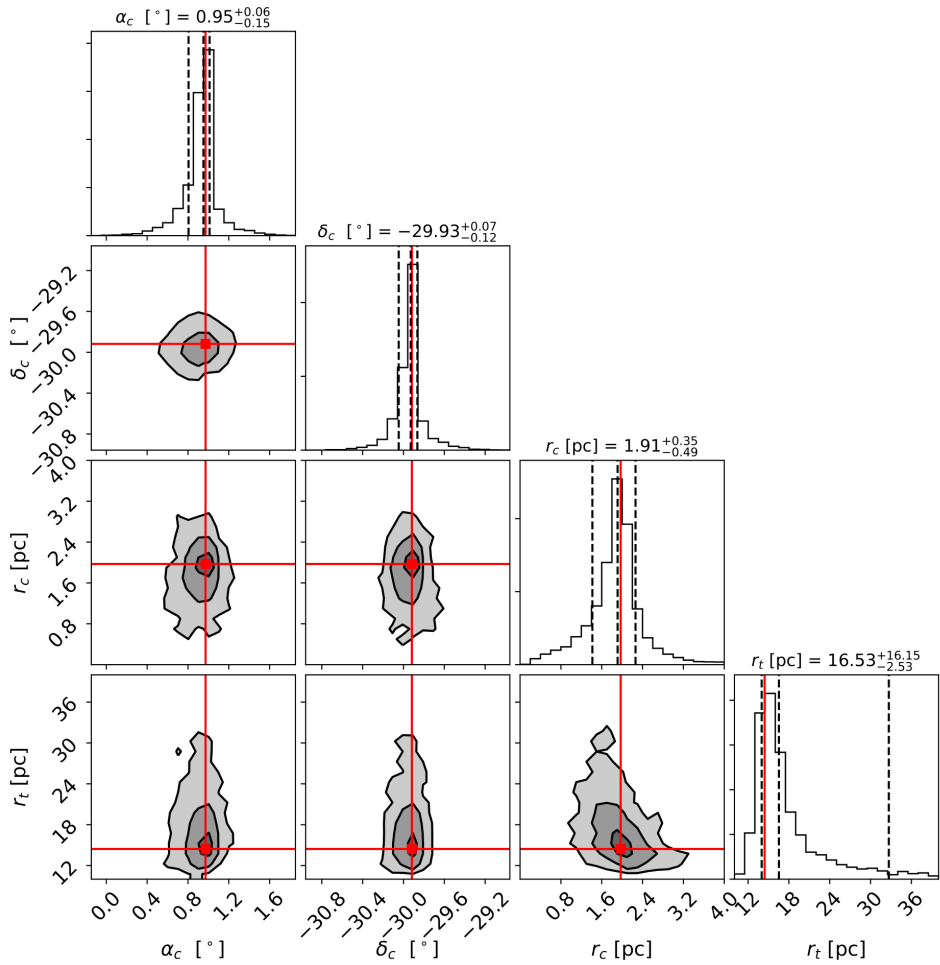
	$\alpha_c [\circ]$	$\delta_c [\circ]$	$r_c [pc]$	$r_t [pc]$
$\alpha_c [\circ]$	0.015	0.000	0.008	-0.003
$\delta_c [\circ]$	0.000	0.010	-0.004	0.003
$r_c [pc]$	0.008	-0.004	0.225	-0.221
$r_t [pc]$	-0.003	0.003	-0.221	2.449



Gambar B.5: Proyeksi dari distribusi *posterior* untuk profil GKing model simetris lingkaran Blanco 1.

Tabel B.5: Matriks kovarian profil GKing dengan model simetris lingkaran Blanco 1.

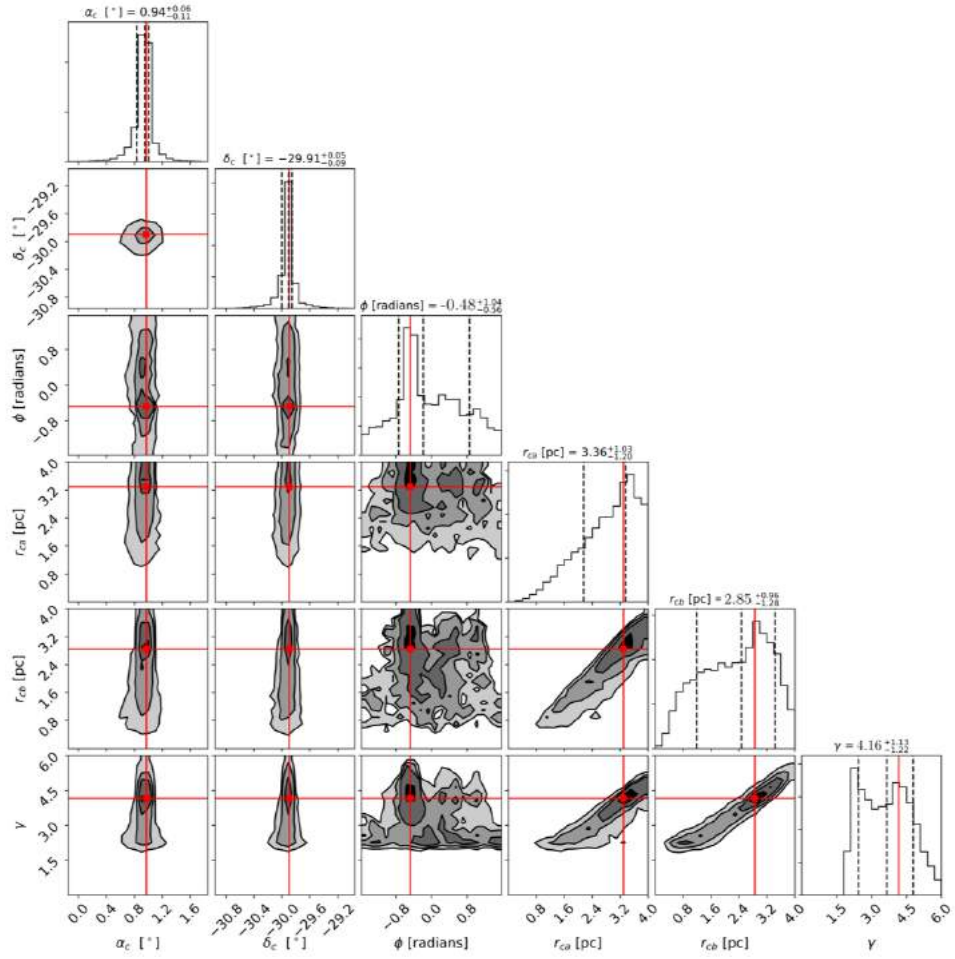
	$\alpha_c [^\circ]$	$\delta_c [^\circ]$	$r_c [pc]$	$r_t [pc]$	α	β
$\alpha_c [^\circ]$	0.026	0.001	0.005	0.055	-0.012	0.008
$\delta_c [^\circ]$	0.001	0.017	-0.001	0.030	-0.001	0.000
$r_c [pc]$	0.005	-0.001	1.249	0.117	0.016	0.367
$r_t [pc]$	0.055	0.030	0.117	14.500	-0.323	0.805
α	-0.012	-0.001	0.016	-0.323	0.444	-0.055
β	0.008	0.000	0.367	0.805	-0.055	0.303



Gambar B.6: Proyeksi dari distribusi *posterior* untuk profil OGKing model simetris lingkaran Blanco 1.

Tabel B.6: Matriks kovarian profil OGKing dengan model simetris lingkaran Blanco 1.

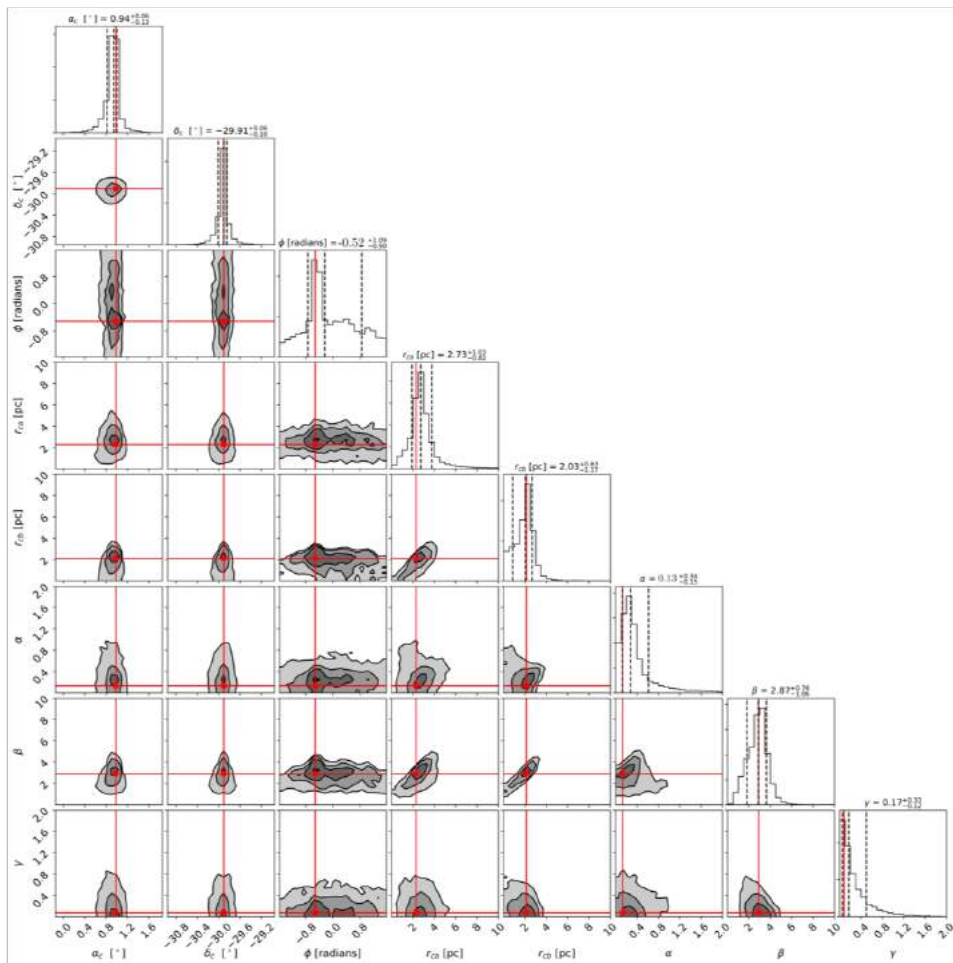
	$\alpha_c[\circ]$	$\delta_c[\circ]$	$r_c[pc]$	$r_t[pc]$
$\alpha_c[\circ]$	0.015	0.001	-0.002	0.014
$\delta_c[\circ]$	0.001	0.011	0.001	0.003
$r_c[pc]$	-0.002	0.001	0.219	-0.236
$r_t[pc]$	0.014	0.003	-0.236	3.591



Gambar B.7: Proyeksi dari distribusi *posterior* untuk profil EFF model eliptis Blanco 1.

Tabel B.7: Matriks kovarian profil EFF dengan model eliptis Blanco 1.

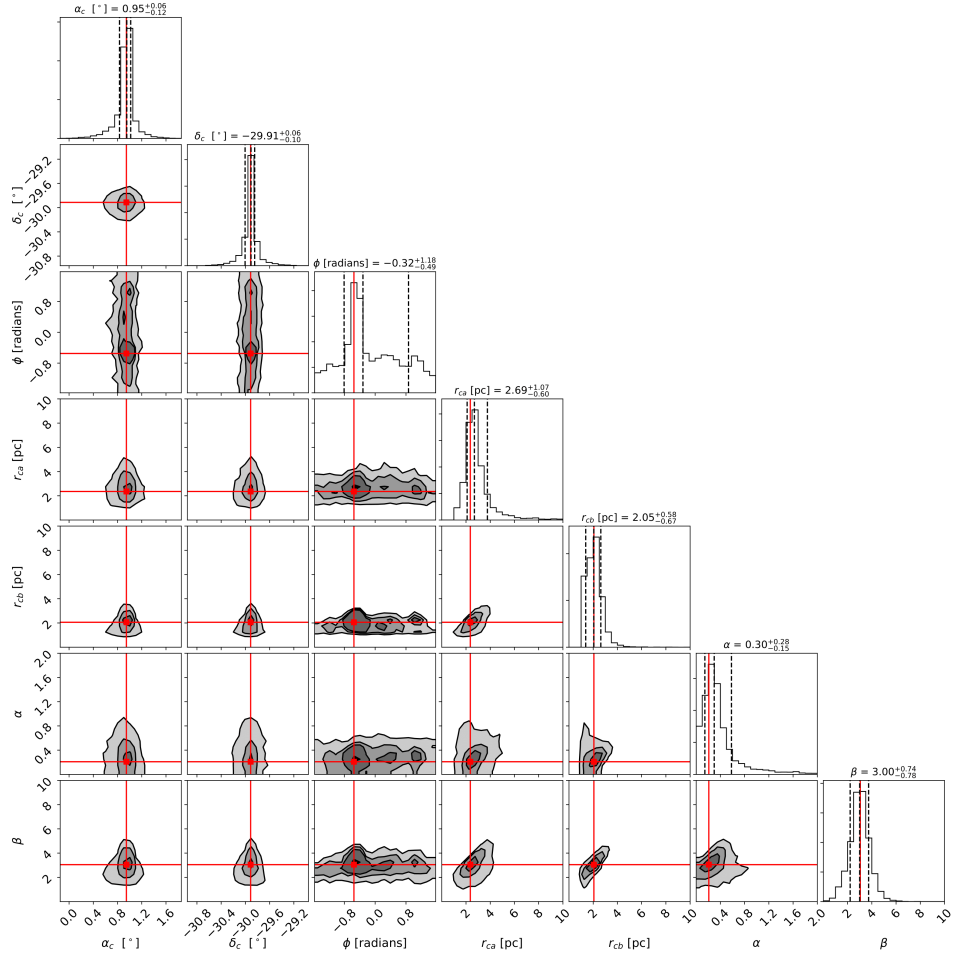
	$\alpha_c [\circ]$	$\delta_c [\circ]$	$\Phi [radians]$	$r_{ca} [pc]$	$r_{cb} [pc]$	γ
$\alpha_c [\circ]$	0.008	0.000	-0.003	-0.000	0.005	0.003
$\delta_c [\circ]$	0.000	0.005	-0.001	0.004	0.004	0.004
$\Phi [radians]$	-0.003	-0.001	0.444	0.001	0.017	0.010
$r_{ca} [pc]$	-0.000	0.004	0.001	0.505	0.305	0.387
$r_{cb} [pc]$	0.005	0.004	0.017	0.305	0.472	0.470
γ	0.003	0.004	0.010	0.387	0.470	0.611



Gambar B.8: Proyeksi dari distribusi *posterior* untuk profil GDP model eliptis Blanco 1.

Tabel B.8: Matriks kovarian profil GDP dengan model eliptis Blanco 1.

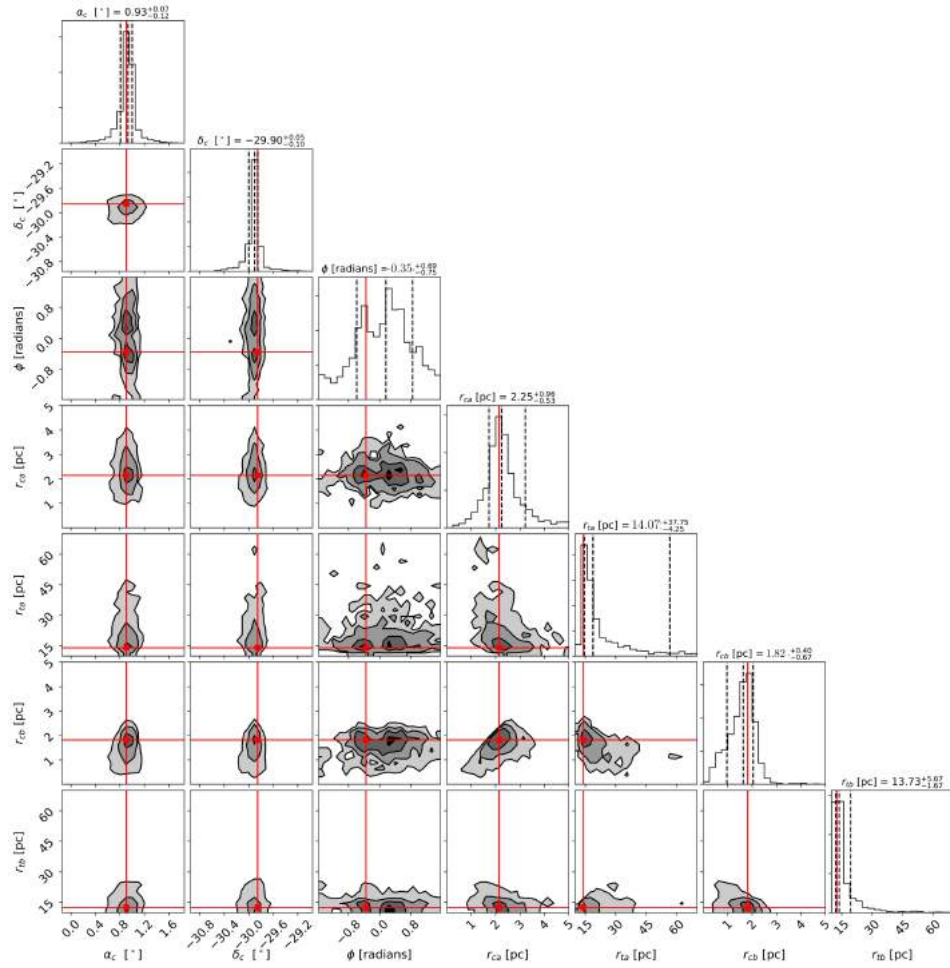
	$\alpha_c [^\circ]$	$\delta_c [^\circ]$	$\Phi [radians]$	$r_{ca} [pc]$	$r_{cb} [pc]$	α	β	γ
$\alpha_c [^\circ]$	0.008	0.001	-0.005	-0.001	0.006	-0.001	0.005	-0.002
$\delta_c [^\circ]$	0.001	0.005	0.000	0.002	0.005	-0.000	0.005	-0.001
$\Phi [radians]$	-0.005	0.000	0.456	-0.017	-0.001	-0.002	-0.010	0.004
$r_{ca} [pc]$	-0.001	0.002	-0.017	0.321	0.167	0.005	0.187	0.005
$r_{cb} [pc]$	0.006	0.005	-0.001	0.167	0.281	-0.008	0.250	-0.013
α	-0.001	-0.000	-0.002	0.005	-0.008	0.037	0.008	-0.000
β	0.005	0.005	-0.010	0.187	0.250	0.008	0.342	-0.032
γ	-0.002	-0.001	0.004	0.005	-0.013	-0.000	-0.032	0.029



Gambar B.9: Proyeksi dari distribusi *posterior* untuk profil RGDP model eliptis Blanco 1.

Tabel B.9: Matriks kovarian profil RGDP dengan model eliptis Blanco 1.

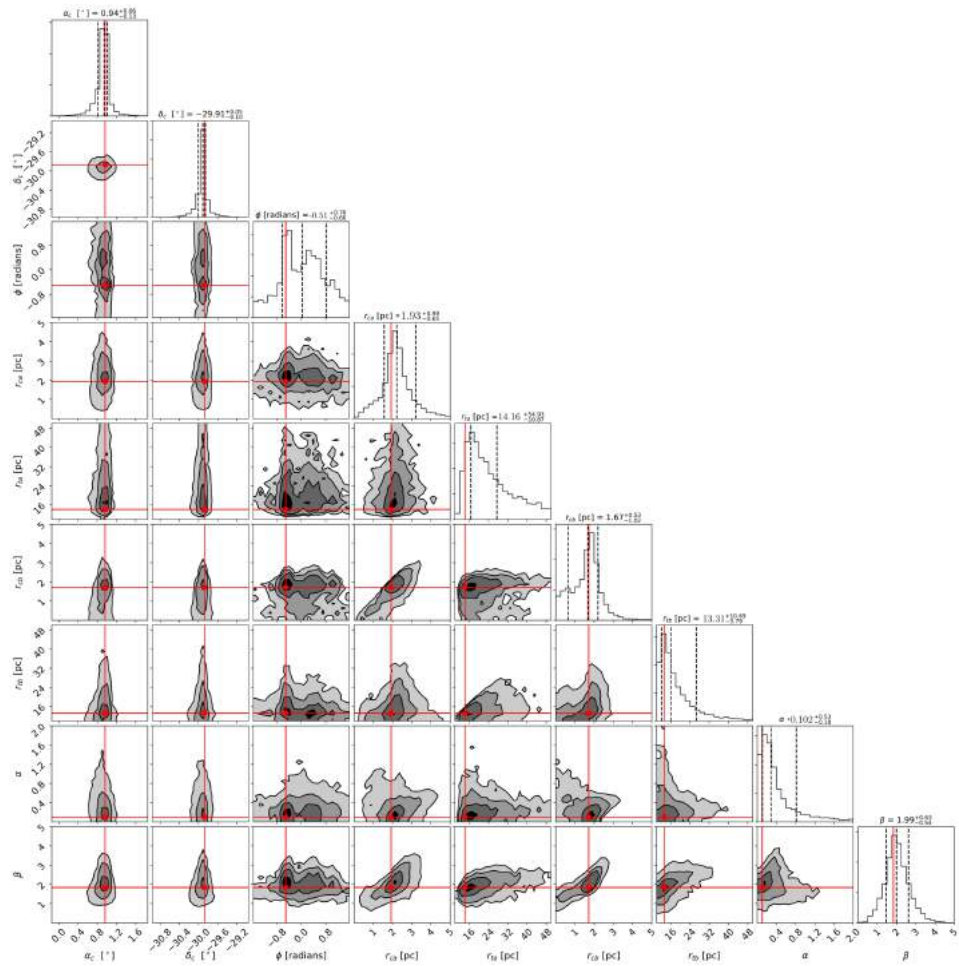
	$\alpha_c [\text{deg}]$	$\delta_c [\text{deg}]$	$\Phi [\text{radians}]$	$r_{ca} [\text{pc}]$	$r_{cb} [\text{pc}]$	α	β
$\alpha_c [\text{deg}]$	0.010	0.001	-0.002	0.000	0.003	-0.002	0.003
$\delta_c [\text{deg}]$	0.001	0.008	0.000	0.003	0.004	-0.000	0.003
$\Phi [\text{radians}]$	0.002	0.000	0.457	-0.014	0.010	-0.001	0.011
$r_{ca} [\text{pc}]$	0.000	0.003	-0.014	0.230	0.109	0.012	0.143
$r_{cb} [\text{pc}]$	0.003	0.004	0.010	0.109	0.188	0.004	0.177
α	0.002	-0.000	-0.001	0.012	0.004	0.032	0.018
β	0.003	0.003	0.011	0.143	0.177	0.018	0.284



Gambar B.10: Proyeksi dari distribusi *posterior* untuk profil King model eliptis Blanco 1.

Tabel B.10: Matriks kovarian profil King dengan model eliptis Blanco 1.

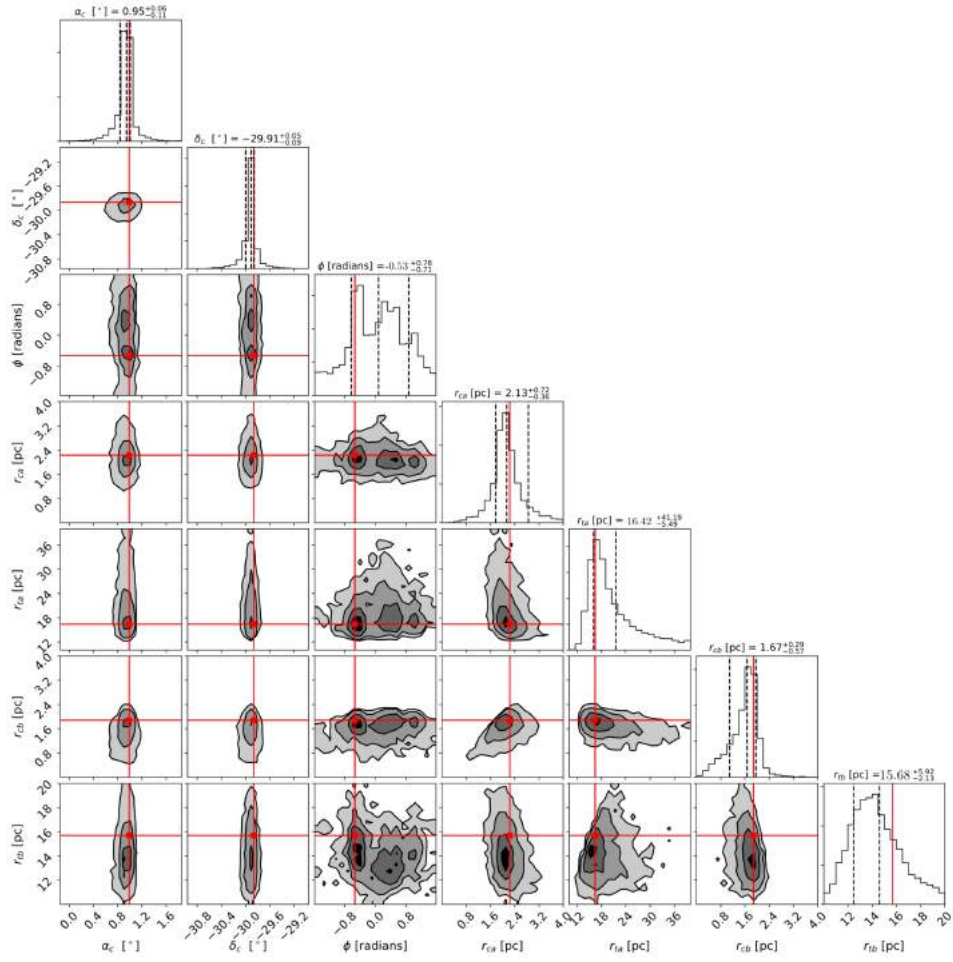
	$\alpha_c [\text{deg}]$	$\delta_c [\text{deg}]$	$\Phi [\text{radians}]$	$r_{ca} [\text{pc}]$	$r_{ta} [\text{pc}]$	$r_{cb} [\text{pc}]$	$r_{tb} [\text{pc}]$
$\alpha_c [\text{deg}]$	0.010	0.001	-0.003	-0.009	-0.025	0.001	0.013
$\delta_c [\text{deg}]$	0.001	0.008	0.002	0.005	-0.022	0.010	-0.002
$\Phi [\text{radians}]$	-0.003	0.002	0.419	-0.027	0.166	0.014	-0.047
$r_{ca} [\text{pc}]$	-0.009	0.005	-0.027	1.151	-0.539	0.049	-0.278
$r_{ta} [\text{pc}]$	-0.025	-0.022	0.166	-0.539	15.082	-0.577	1.458
$r_{cb} [\text{pc}]$	0.001	0.010	0.014	0.049	-0.577	0.213	-0.220
$r_{tb} [\text{pc}]$	0.013	-0.002	-0.047	-0.278	1.458	-0.220	3.023



Gambar B.11: Proyeksi dari distribusi *posterior* untuk profil GKing model eliptis Blanco 1.

Tabel B.11: Matriks kovarian profil GKing dengan model eliptis Blanco 1.

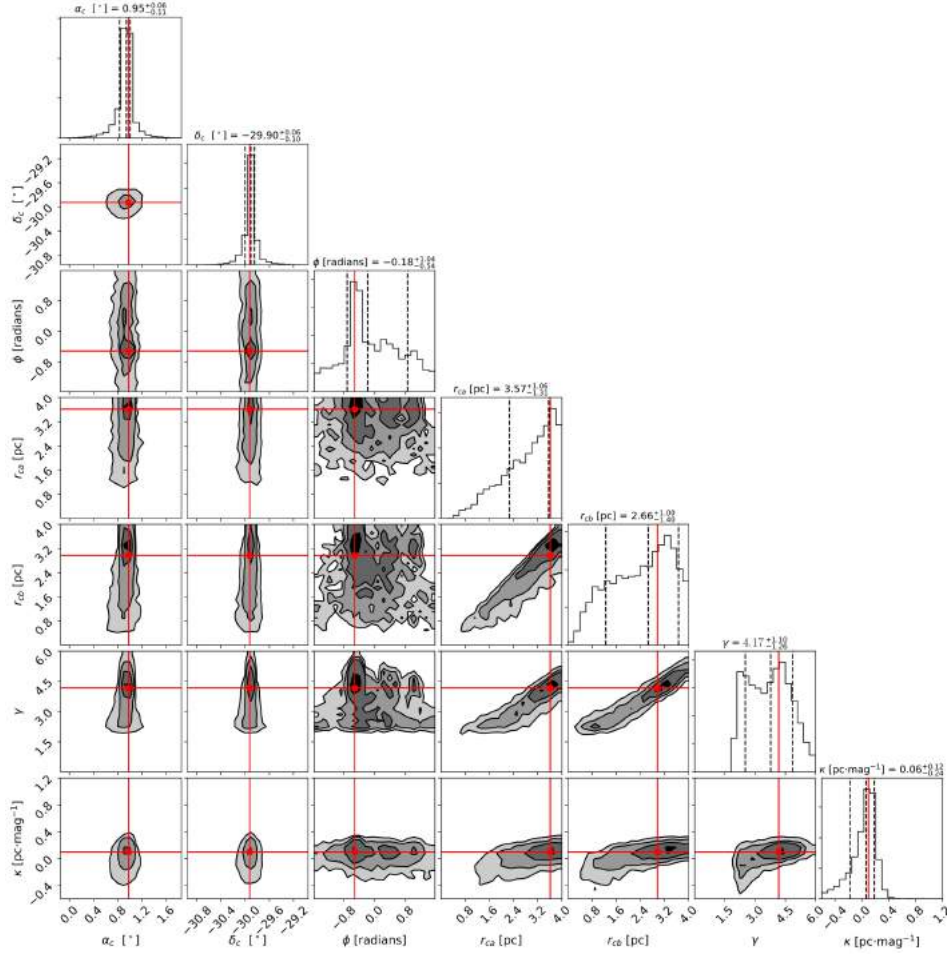
	$\alpha_c [^\circ]$	$\delta_c [^\circ]$	$\Phi [radians]$	$r_{ca} [pc]$	$r_{ta} [pc]$	$r_{cb} [pc]$	$r_{tb} [pc]$	α	β
$\alpha_c [^\circ]$	0.021	0.001	-0.006	-0.009	0.009	0.014	0.064	-0.012	0.008
$\delta_c [^\circ]$	0.001	0.015	-0.004	0.005	0.001	0.009	0.024	-0.006	0.007
$\Phi [radians]$	-0.006	-0.004	0.495	0.010	0.232	0.018	-0.189	0.009	0.007
$r_{ca} [pc]$	-0.009	0.005	0.010	2.665	-0.100	0.354	0.127	0.197	0.179
$r_{ta} [pc]$	0.009	0.001	0.232	-0.100	69.836	0.101	13.632	-0.018	0.946
$r_{cb} [pc]$	0.014	0.009	0.018	0.354	0.101	0.595	0.720	-0.104	0.296
$r_{tb} [pc]$	0.064	0.024	-0.189	0.127	13.632	0.720	16.669	-0.340	1.019
α	-0.012	-0.006	0.009	0.197	-0.018	-0.104	-0.340	0.383	-0.063
β	0.008	0.007	0.007	0.179	0.946	0.296	1.019	-0.063	0.268



Gambar B.12: Proyeksi dari distribusi *posterior* untuk profil OGKing model eliptis Blanco 1.

Tabel B.12: Matriks kovarian profil OGKing dengan model eliptis Blanco 1.

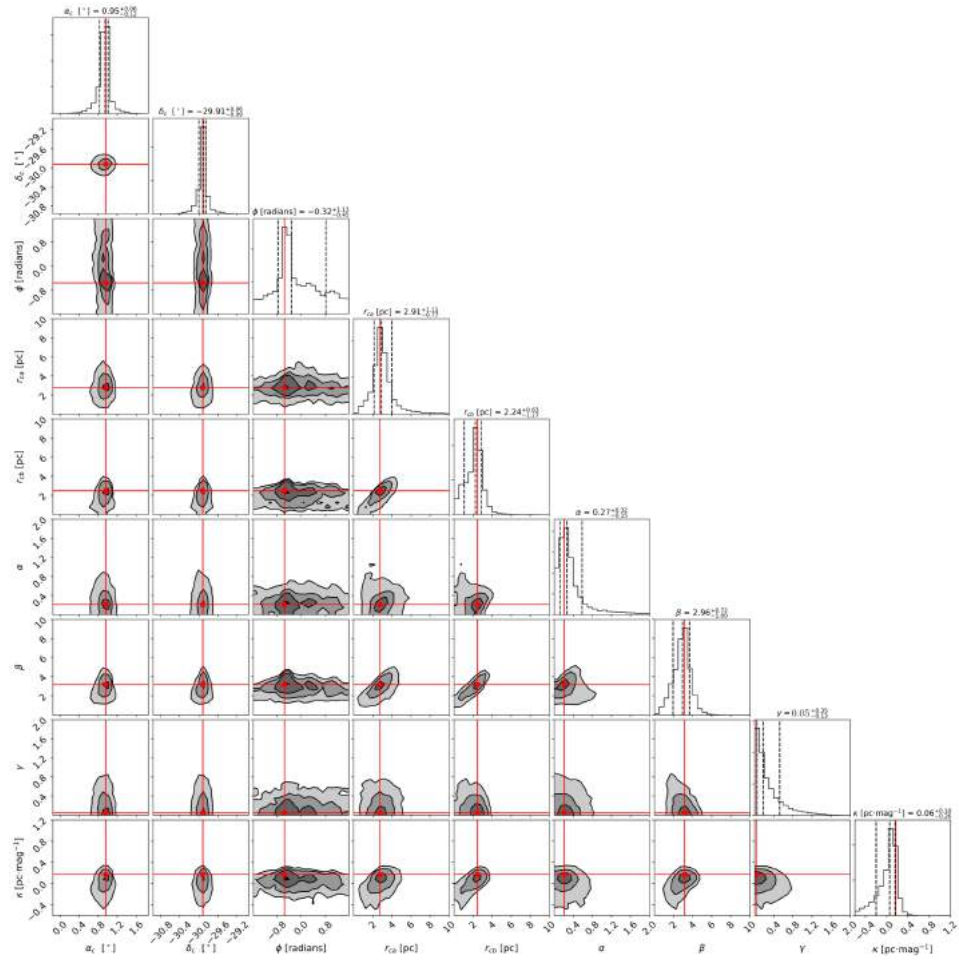
	$\alpha_c [^\circ]$	$\delta_c [^\circ]$	$\Phi [radians]$	$r_{ca} [pc]$	$r_{ta} [pc]$	$r_{cb} [pc]$	$r_{tb} [pc]$
$\alpha_c [^\circ]$	0.011	0.000	-0.003	-0.006	-0.022	0.003	0.010
$\delta_c [^\circ]$	0.000	0.007	0.001	-0.007	-0.011	0.001	0.005
$\Phi [radians]$	-0.003	0.001	0.454	-0.014	0.124	0.022	-0.194
$r_{ca} [pc]$	-0.006	-0.007	-0.014	0.904	-0.334	0.016	-0.198
$r_{ta} [pc]$	-0.022	-0.011	0.124	-0.334	20.922	-0.476	2.953
$r_{cb} [pc]$	0.003	0.001	0.022	0.016	-0.476	0.141	-0.225
$r_{tb} [pc]$	0.010	0.005	-0.194	-0.198	2.953	-0.225	5.110



Gambar B.13: Proyeksi dari distribusi *posterior* untuk profil EFF model segregasi Blanco 1.

Tabel B.13: Matriks kovarian profil EFF dengan model segregasi Blanco 1.

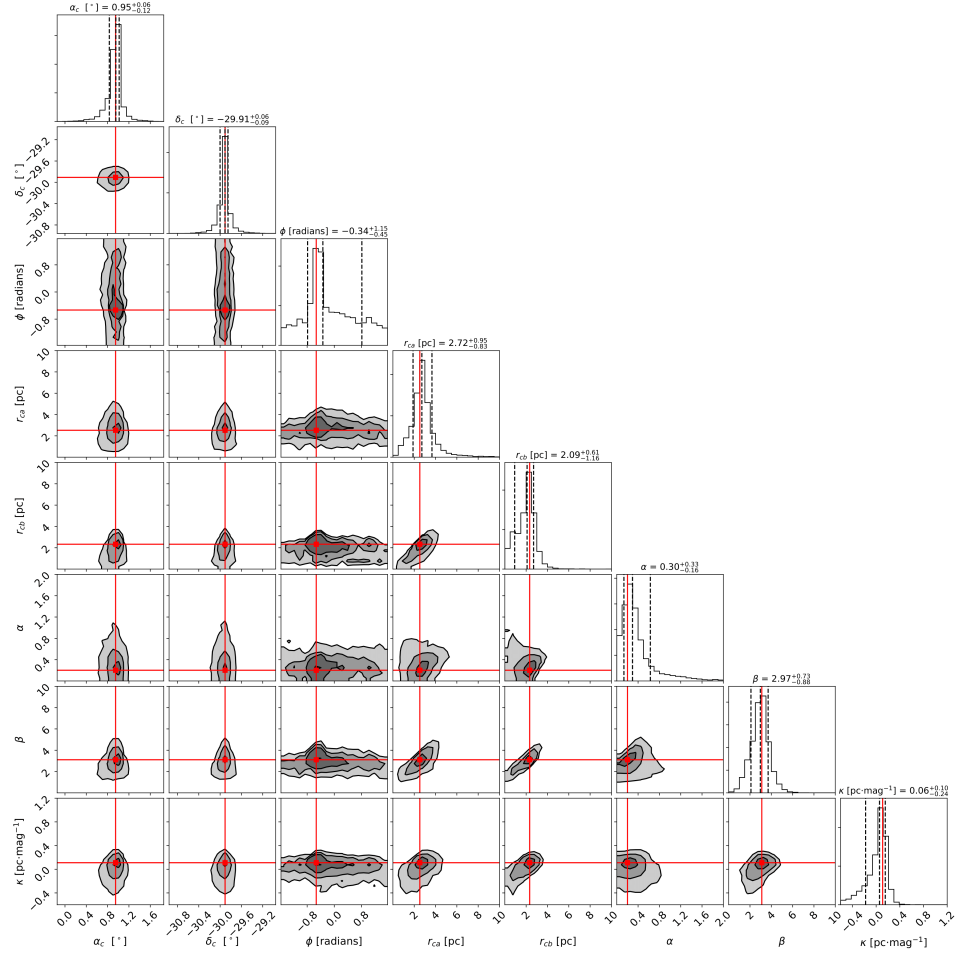
	$\alpha_c [\circ]$	$\delta_c [\circ]$	$\Phi [\text{radians}]$	$r_{ca} [\text{pc}]$	$r_{cb} [\text{pc}]$	γ	$\kappa [\text{pc}\cdot\text{mag}^{-1}]$
$\alpha_c [\circ]$	0.008	0.001	-0.004	0.001	0.007	0.004	0.001
$\delta_c [\circ]$	0.001	0.006	-0.000	0.002	0.004	0.003	-0.000
$\Phi [\text{radians}]$	-0.004	-0.000	0.443	-0.007	0.010	0.004	-0.003
$r_{ca} [\text{pc}]$	0.001	0.002	-0.007	0.534	0.339	0.381	0.029
$r_{cb} [\text{pc}]$	0.007	0.004	0.010	0.339	0.535	0.480	0.045
γ	0.004	0.003	0.004	0.381	0.480	0.609	0.023
$\kappa [\text{pc}\cdot\text{mag}^{-1}]$	0.001	-0.000	-0.003	0.029	0.045	0.023	0.021



Gambar B.14: Proyeksi dari distribusi *posterior* untuk profil GDP model segregasi Blanco 1.

Tabel B.14: Matriks kovarian profil GDP dengan model segregasi Blanco 1.

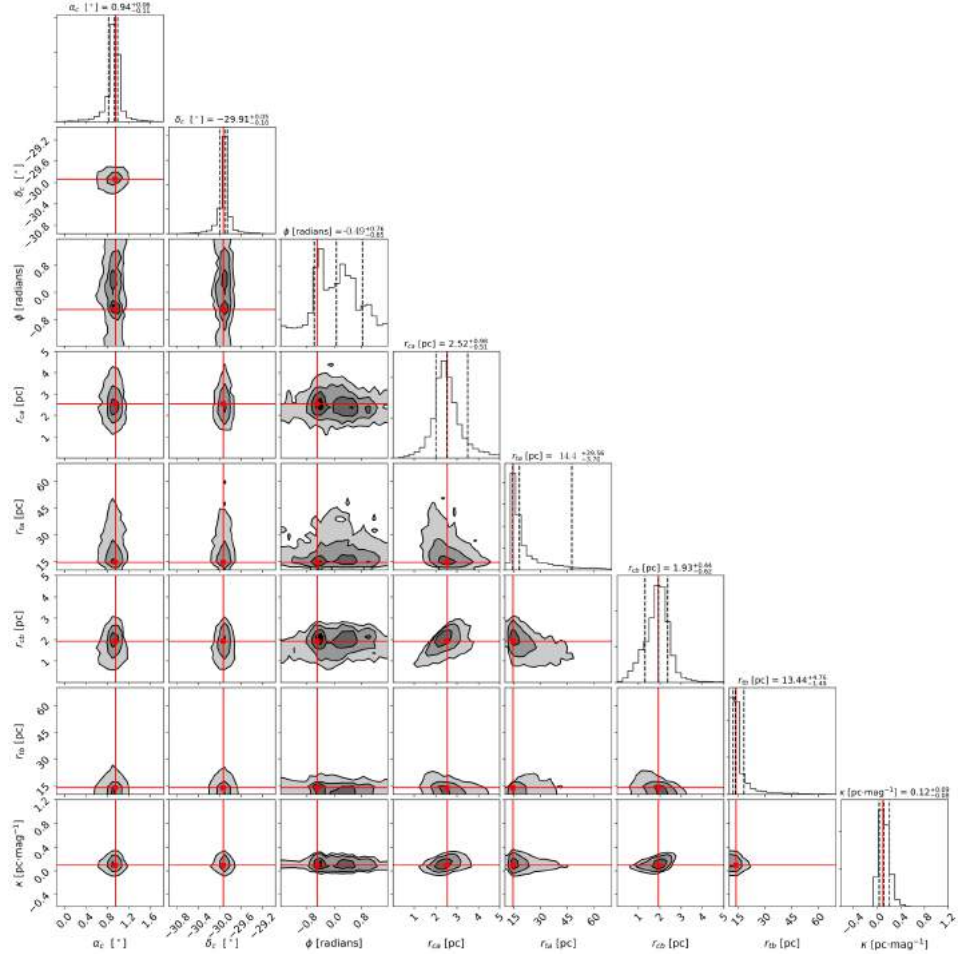
	$\alpha_c [^\circ]$	$\delta_c [^\circ]$	$\Phi [radians]$	$r_{ca} [pc]$	$r_{cb} [pc]$	α	β	γ	κ
$\alpha_c [^\circ]$	0.006	0.001	-0.006	-0.002	0.005	-0.001	0.002	-0.002	0.001
$\delta_c [^\circ]$	0.001	0.004	-0.000	0.002	0.005	-0.001	0.004	-0.001	0.001
$\Phi [radians]$	-0.006	-0.000	0.427	-0.001	0.009	0.002	-0.002	0.005	-0.001
$r_{ca} [pc]$	-0.002	0.002	-0.001	0.337	0.167	0.018	0.185	0.014	0.015
$r_{cb} [pc]$	0.005	0.005	0.009	0.167	0.268	0.006	0.215	-0.005	0.029
α	-0.001	-0.001	0.002	0.018	0.006	0.028	0.021	-0.001	-0.004
β	0.002	0.004	-0.002	0.185	0.215	0.021	0.309	-0.022	0.013
γ	-0.002	-0.001	0.005	0.014	-0.005	-0.001	-0.022	0.028	-0.004
κ	0.001	0.001	-0.001	0.015	0.029	-0.004	0.013	-0.004	0.019



Gambar B.15: Proyeksi dari distribusi *posterior* untuk profil RGDP model segregasi Blanco 1.

Tabel B.15: Matriks kovarian profil RGDP dengan model segregasi Blanco 1.

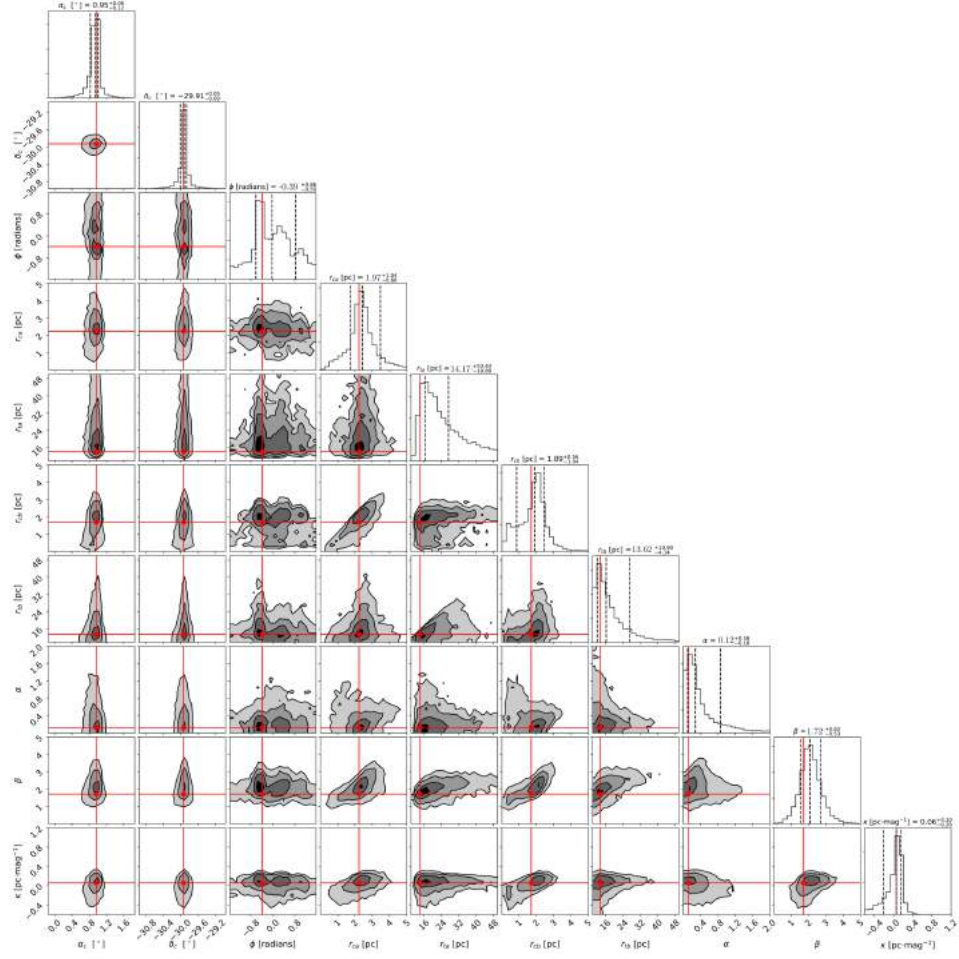
	$\alpha_c [\text{deg}]$	$\delta_c [\text{deg}]$	$\Phi [\text{radians}]$	$r_{ca} [\text{pc}]$	$r_{cb} [\text{pc}]$	α	β	$\kappa [\text{pc.mag}^{-1}]$
$\alpha_c [\text{deg}]$	0.008	0.001	-0.004	0.000	0.006	-0.002	0.003	0.002
$\delta_c [\text{deg}]$	0.001	0.005	0.000	0.003	0.004	-0.000	0.003	0.000
$\Phi [\text{radians}]$	-0.004	0.000	0.441	-0.010	0.005	-0.000	0.000	-0.001
$r_{ca} [\text{pc}]$	0.000	0.003	-0.010	0.293	0.146	0.018	0.173	0.016
$r_{cb} [\text{pc}]$	0.006	0.004	0.005	0.146	0.244	0.005	0.198	0.028
α	-0.002	-0.000	-0.000	0.018	0.005	0.033	0.024	-0.004
β	0.003	0.003	0.000	0.173	0.198	0.024	0.281	0.009
$\kappa [\text{pc.mag}^{-1}]$	0.002	0.000	-0.001	0.016	0.028	-0.004	0.009	0.017



Gambar B.16: Proyeksi dari distribusi *posterior* untuk profil King model segregasi Blanco 1.

Tabel B.16: Matriks kovarian profil King dengan model segregasi Blanco 1.

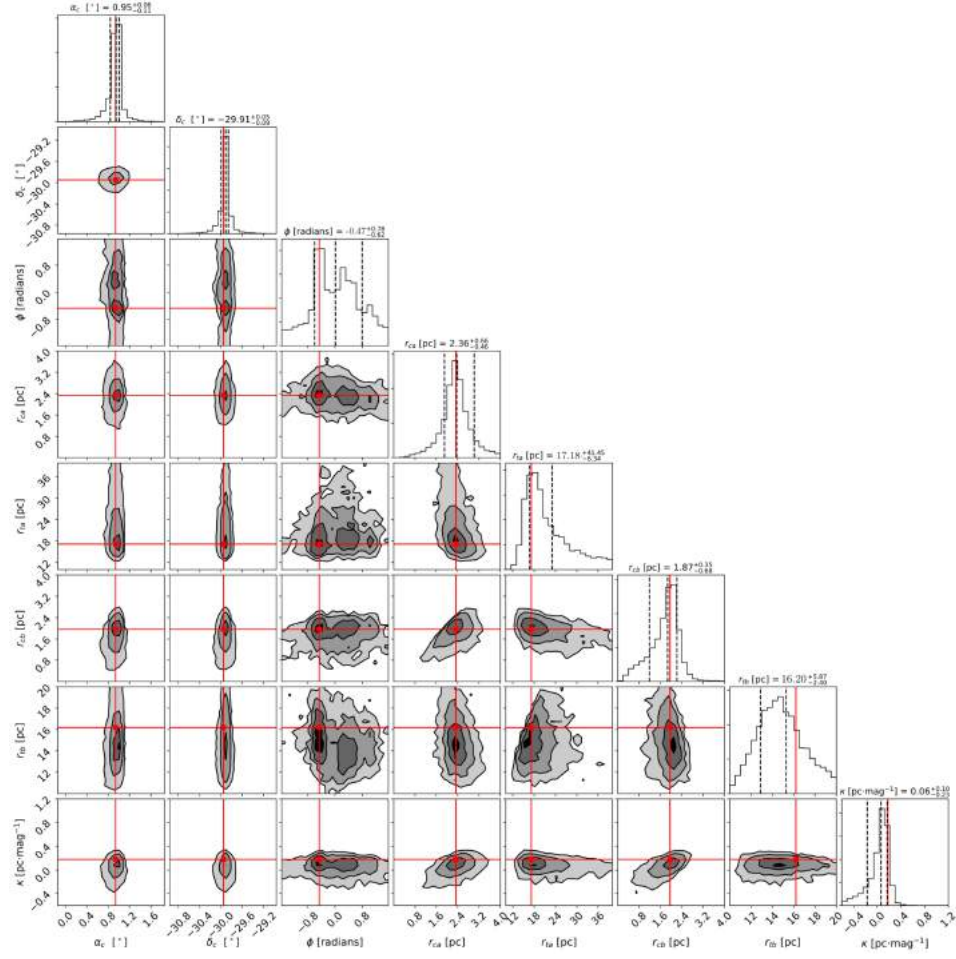
	$\alpha_c [^\circ]$	$\delta_c [^\circ]$	$\Phi [radians]$	$r_{ca} [pc]$	$r_{ta} [pc]$	$r_{cb} [pc]$	$r_{tb} [pc]$	$\kappa [pc \cdot mag^{-1}]$
$\alpha_c [^\circ]$	0.009	0.001	-0.000	-0.007	-0.026	0.006	0.006	0.000
$\delta_c [^\circ]$	0.001	0.006	-0.000	-0.004	-0.009	0.000	-0.002	-0.000
$\Phi [radians]$	-0.000	-0.000	0.410	-0.058	0.124	0.013	-0.112	-0.005
$r_{ca} [pc]$	-0.007	-0.004	-0.058	0.965	-0.383	0.090	-0.196	0.018
$r_{ta} [pc]$	-0.026	-0.009	0.124	-0.383	10.083	-0.390	1.286	-0.021
$r_{cb} [pc]$	0.006	0.000	0.013	0.090	-0.390	0.196	-0.184	0.018
$r_{tb} [pc]$	0.006	-0.002	-0.112	-0.196	1.286	-0.184	2.575	-0.006
$\kappa [pc \cdot mag^{-1}]$	0.000	-0.000	-0.005	0.018	-0.021	0.018	-0.006	0.006



Gambar B.17: Proyeksi dari distribusi *posterior* untuk profil GKKing model segregasi Blanco 1.

Tabel B.17: Matriks kovarian profil GKKing dengan model segregasi Blanco 1.

	α_c [$^\circ$]	δ_c [$^\circ$]	Φ [radians]	r_{ca} [pc]	r_{ta} [pc]	r_{cb} [pc]	r_{tb} [pc]	α	β	κ [$pc \cdot mag^{-1}$]
$\alpha_c [^\circ]$	0.022	0.002	-0.011	-0.010	-0.028	0.011	0.068	-0.013	0.007	0.004
$\delta_c [^\circ]$	0.002	0.014	-0.002	-0.005	0.018	0.006	0.043	-0.003	0.004	0.001
$\Phi [radians]$	-0.011	-0.002	0.491	0.026	0.243	-0.009	-0.350	0.038	-0.014	-0.015
$r_{ca} [pc]$	-0.010	-0.005	0.026	3.335	-0.306	0.661	-0.001	0.265	0.249	-0.012
$r_{ta} [pc]$	-0.028	0.018	0.243	-0.306	66.932	0.359	14.351	-0.111	1.135	-0.006
$r_{cb} [pc]$	0.011	0.006	-0.009	0.661	0.359	0.813	0.742	-0.077	0.322	0.082
$r_{tb} [pc]$	0.068	0.043	-0.350	-0.001	14.351	0.742	17.627	-0.434	1.037	0.164
α	-0.013	-0.003	0.038	0.265	-0.111	-0.077	-0.434	0.383	-0.044	-0.051
β	0.007	0.004	-0.014	0.249	1.135	0.322	1.037	-0.044	0.280	0.032
$\kappa [pc \cdot mag^{-1}]$	0.004	0.001	-0.015	-0.012	-0.006	0.082	0.164	-0.051	0.032	0.048

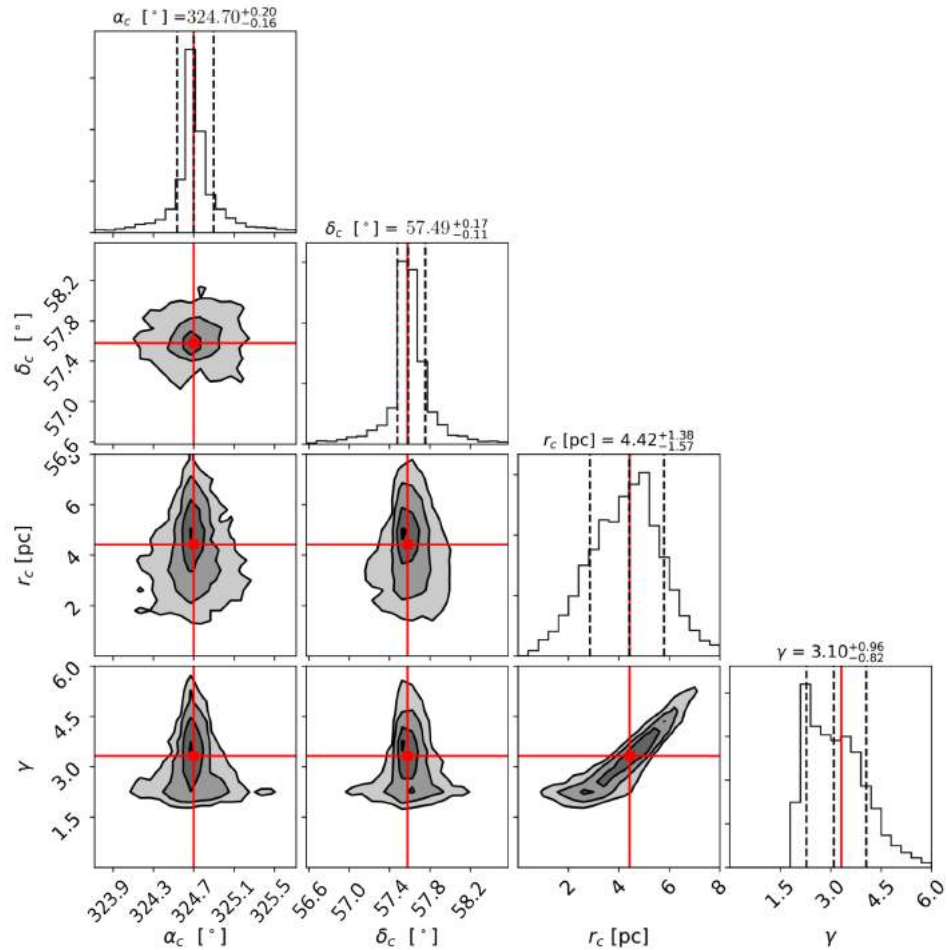


Gambar B.18: Proyeksi dari distribusi *posterior* untuk profil OGKing model segregasi Blanco 1.

Tabel B.18: Matriks kovarian profil OGKing dengan model segregasi Blanco 1.

	$\alpha_c [^\circ]$	$\delta_c [^\circ]$	$\Phi [radians]$	$r_{ca} [pc]$	$r_{ta} [pc]$	$r_{cb} [pc]$	$r_{tb} [pc]$	$\kappa [pc.mag^{-1}]$
$\alpha_c [^\circ]$	0.012	0.001	-0.007	-0.009	-0.015	0.004	0.017	0.004
$\delta_c [^\circ]$	0.001	0.008	-0.000	0.001	-0.020	0.003	0.002	0.000
$\Phi [radians]$	-0.007	-0.000	0.430	-0.011	0.266	0.012	-0.173	-0.006
$r_{ca} [pc]$	-0.009	0.001	-0.011	1.028	-0.457	0.059	-0.294	-0.010
$r_{ta} [pc]$	-0.015	-0.020	0.266	-0.457	25.368	-0.578	3.741	-0.118
$r_{cb} [pc]$	0.004	0.003	0.012	0.059	-0.578	0.196	-0.280	0.043
$r_{tb} [pc]$	0.017	0.002	-0.173	-0.294	3.741	-0.280	6.504	-0.028
$\kappa [pc.mag^{-1}]$	0.004	0.000	-0.006	-0.010	-0.118	0.043	-0.028	0.033

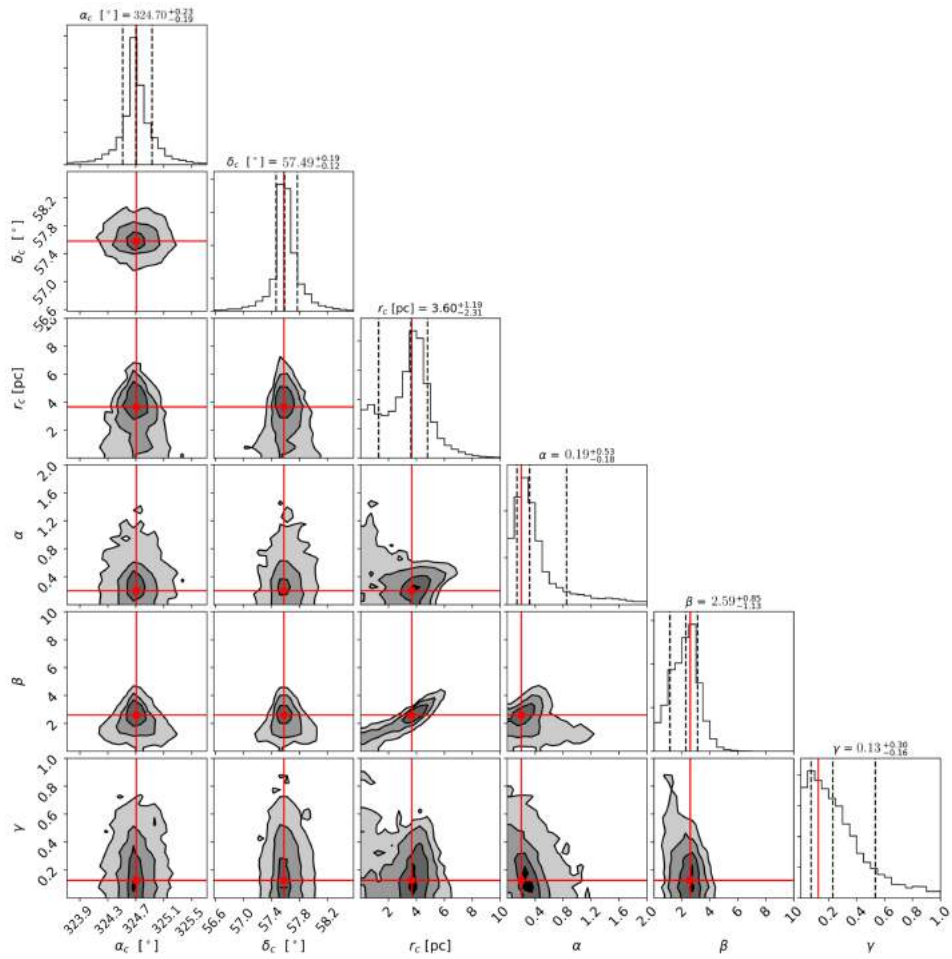
Lampiran C IC 1396



Gambar C.1: Proyeksi dari distribusi *posterior* untuk profil EFF model simetris lingkaran IC 1396.

Tabel C.1: Matriks kovarian profil EFF dengan model simetris lingkaran IC 1396.

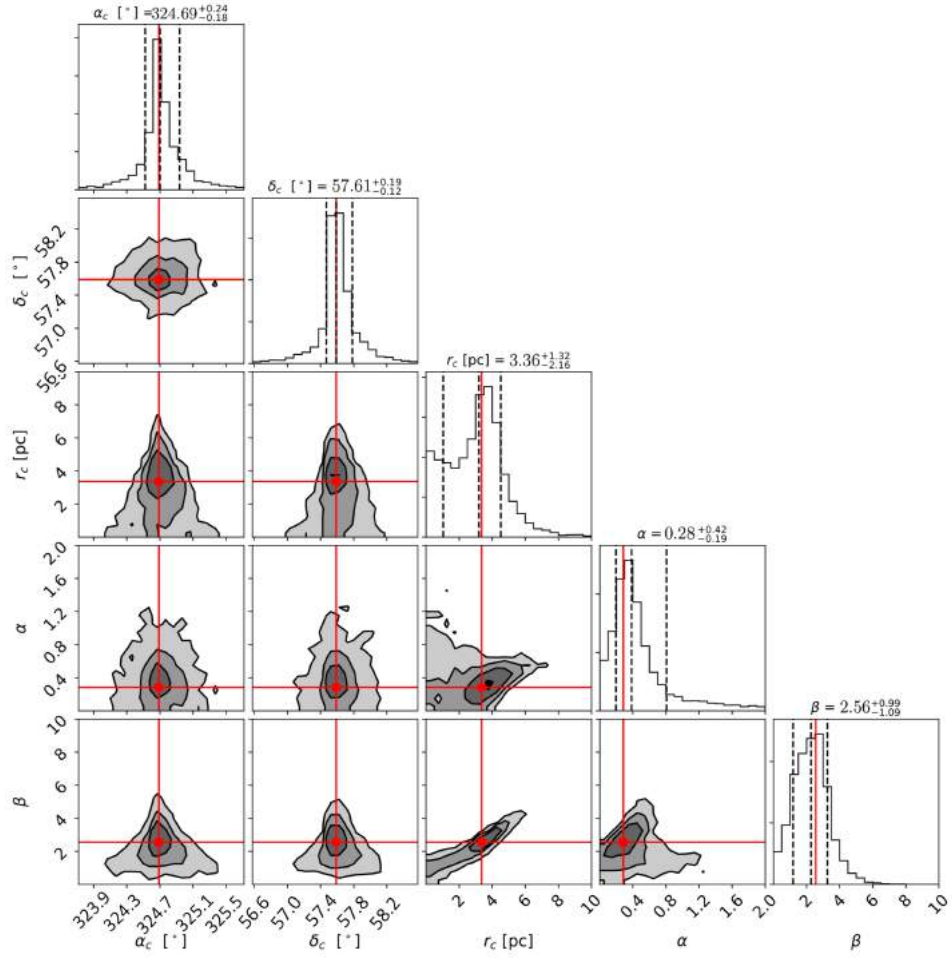
	α_c [$^{\circ}$]	δ_c [$^{\circ}$]	r_c [pc]	γ
α_c [$^{\circ}$]	0.046	-0.001	-0.000	-0.001
δ_c [$^{\circ}$]	-0.001	0.029	-0.002	-0.005
r_c [pc]	-0.000	-0.002	0.700	0.407
γ	-0.001	-0.005	0.407	0.370



Gambar C.2: Proyeksi dari distribusi *posterior* untuk profil GDP model simetris lingkaran IC 1396.

Tabel C.2: Matriks kovarian profil GDP dengan model simetris lingkaran IC 1396.

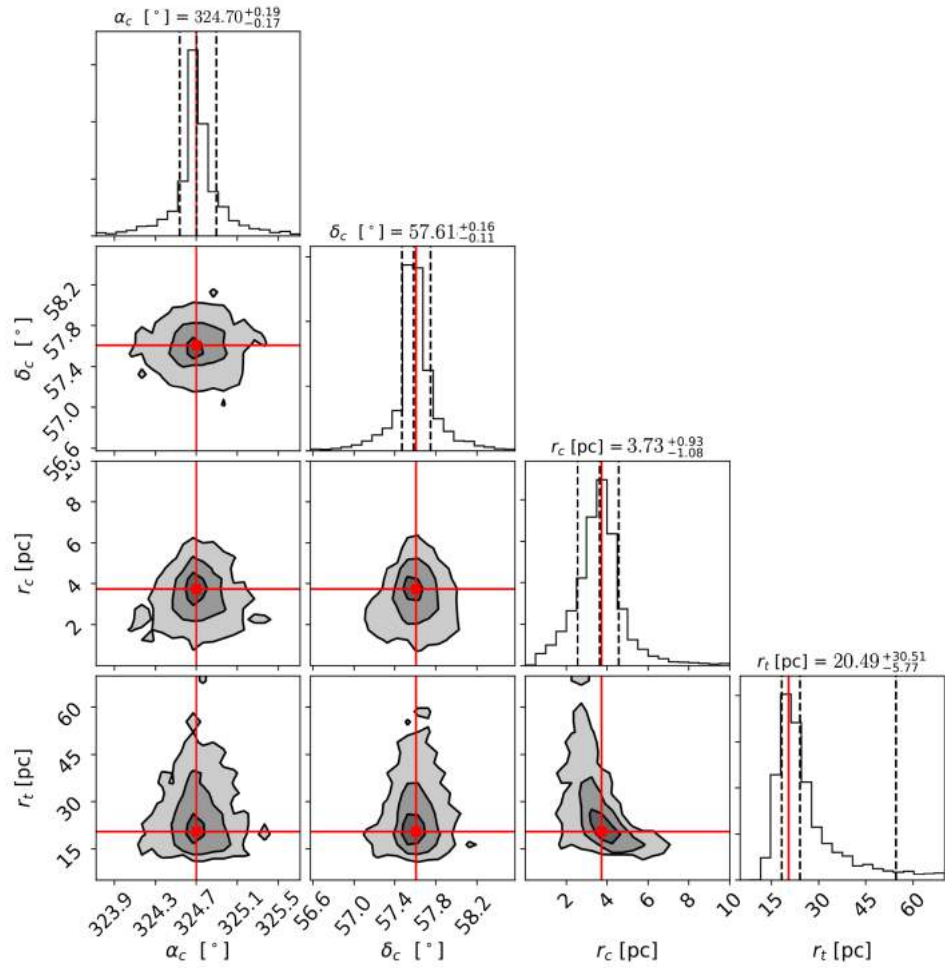
	$\alpha_c [^\circ]$	$\delta_c [^\circ]$	$r_c [pc]$	α	β	γ
$\alpha_c [^\circ]$	0.035	0.000	-0.001	0.000	-0.003	-0.000
$\delta_c [^\circ]$	0.000	0.019	-0.004	-0.000	-0.006	-0.000
$r_c [pc]$	-0.001	-0.004	0.825	-0.003	0.449	0.008
α	0.000	-0.000	-0.003	0.052	0.005	-0.005
β	-0.003	-0.006	0.449	0.005	0.394	-0.027
γ	-0.000	-0.000	0.008	-0.005	-0.027	0.029



Gambar C.3: Proyeksi dari distribusi *posterior* untuk profil RGDP model simetris lingkaran IC 1396.

Tabel C.3: Matriks kovarian profil RGDP dengan model simetris lingkaran IC 1396.

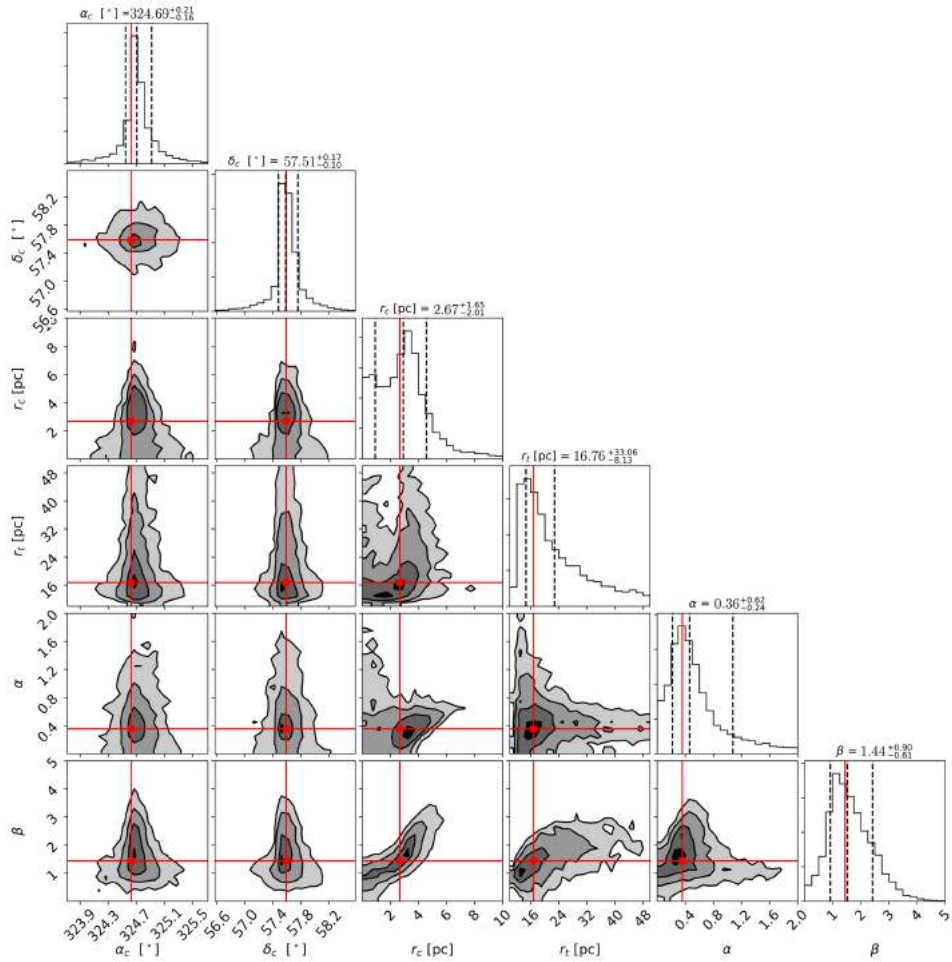
	$\alpha_c [^\circ]$	$\delta_c [^\circ]$	$r_c [pc]$	α	β
$\alpha_c [^\circ]$	0.037	0.001	0.007	0.000	-0.000
$\delta_c [^\circ]$	0.001	0.025	-0.004	0.000	-0.007
$r_c [pc]$	0.007	-0.004	0.927	0.016	0.548
α	0.000	0.000	0.016	0.058	0.018
β	-0.000	-0.007	0.548	0.018	0.446



Gambar C.4: Proyeksi dari distribusi *posterior* untuk profil King model simetris lingkaran IC 1396.

Tabel C.4: Matriks kovarian profil King dengan model simetris lingkaran IC 1396.

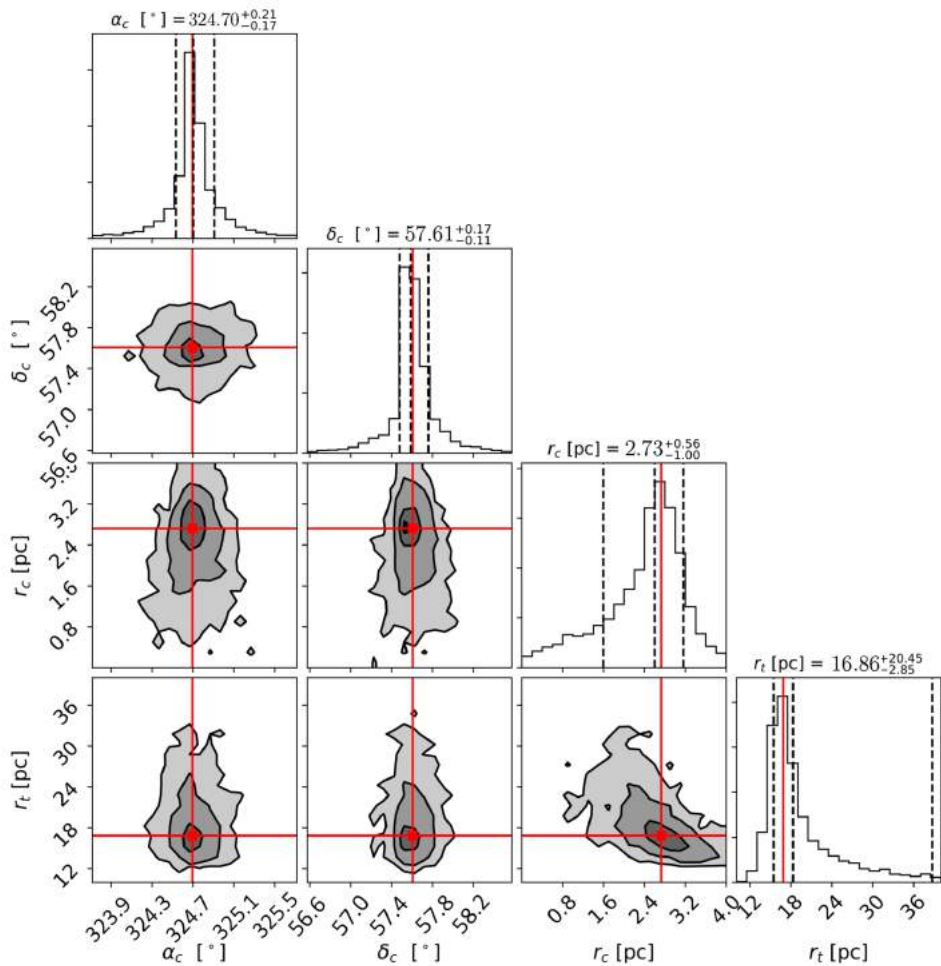
	$\alpha_c [^{\circ}]$	$\delta_c [^{\circ}]$	$r_c [pc]$	$r_t [pc]$
$\alpha_c [^{\circ}]$	0.057	0.004	-0.007	0.010
$\delta_c [^{\circ}]$	0.004	0.032	-0.011	0.015
$r_c [pc]$	-0.007	-0.011	1.360	-2.082
$r_t [pc]$	0.010	0.015	-2.082	17.611



Gambar C.5: Proyeksi dari distribusi *posterior* untuk profil GKing model simetris lingkaran IC 1396.

Tabel C.5: Matriks kovarian profil GKing dengan model simetris lingkaran IC 1396.

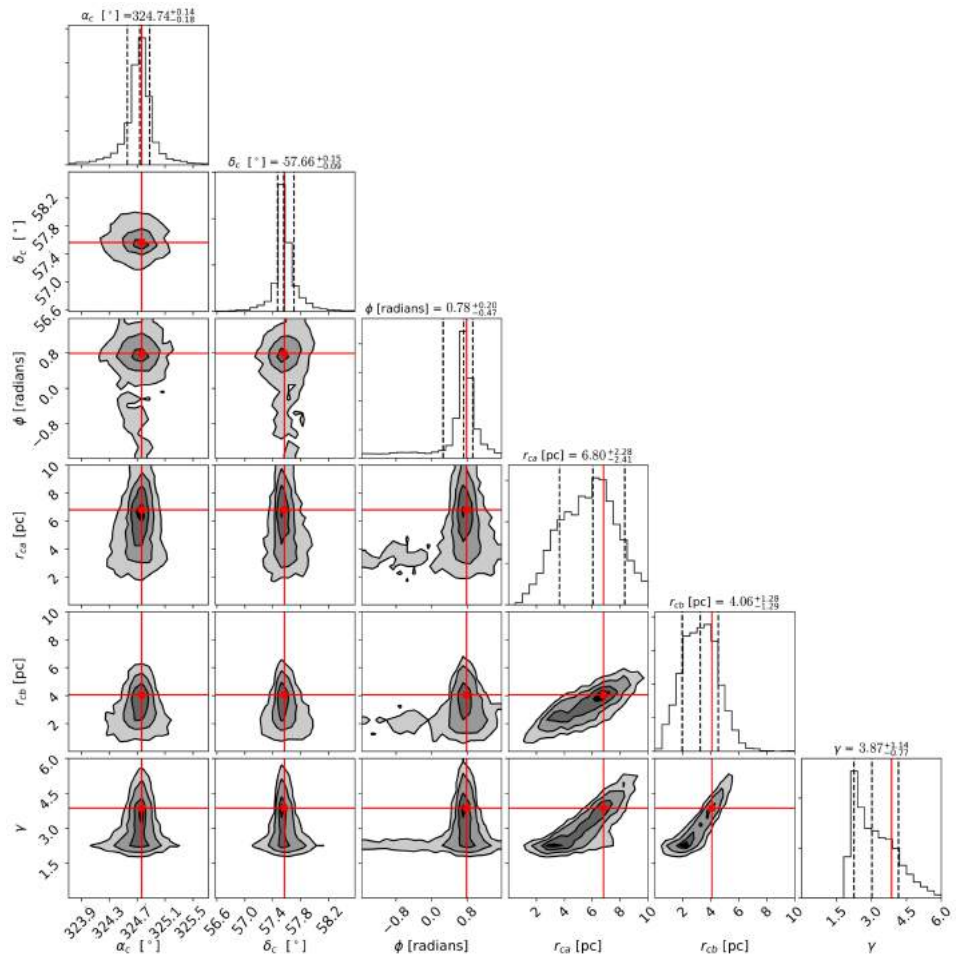
	α_c [$^\circ$]	δ_c [$^\circ$]	r_c [pc]	r_t [pc]	α	β
α_c [$^\circ$]	0.098	0.004	0.000	-0.074	0.006	-0.009
δ_c [$^\circ$]	0.004	0.059	0.003	-0.001	0.002	-0.005
r_c [pc]	0.000	0.003	4.324	1.718	-0.070	0.817
r_t [pc]	-0.074	-0.001	1.718	32.332	-0.530	1.621
α	0.006	0.002	-0.070	-0.530	0.476	-0.066
β	-0.009	-0.005	0.817	1.621	-0.066	0.353



Gambar C.6: Proyeksi dari distribusi *posterior* untuk profil OGKing model simetris lingkaran IC 1396.

Tabel C.6: Matriks kovarian profil OGKing dengan model simetris lingkaran IC 1396.

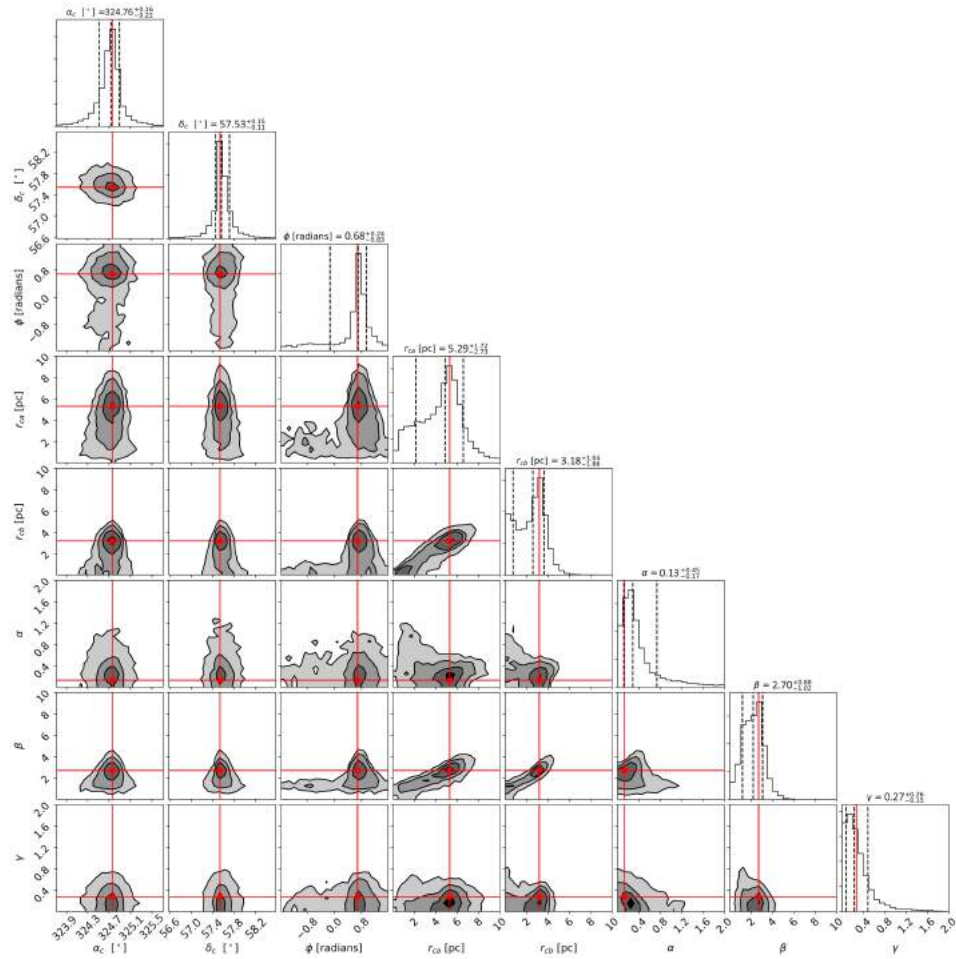
	$\alpha_c [\circ]$	$\delta_c [\circ]$	$r_c [pc]$	$r_t [pc]$
$\alpha_c [\circ]$	0.049	0.002	-0.002	-0.014
$\delta_c [\circ]$	0.002	0.026	-0.000	0.015
$r_c [pc]$	-0.002	-0.000	0.478	-0.566
$r_t [pc]$	-0.014	0.015	-0.566	5.249



Gambar C.7: Proyeksi dari distribusi *posterior* untuk profil EFF model eliptis IC 1396.

Tabel C.7: Matriks kovarian profil EFF dengan model eliptis IC 1396.

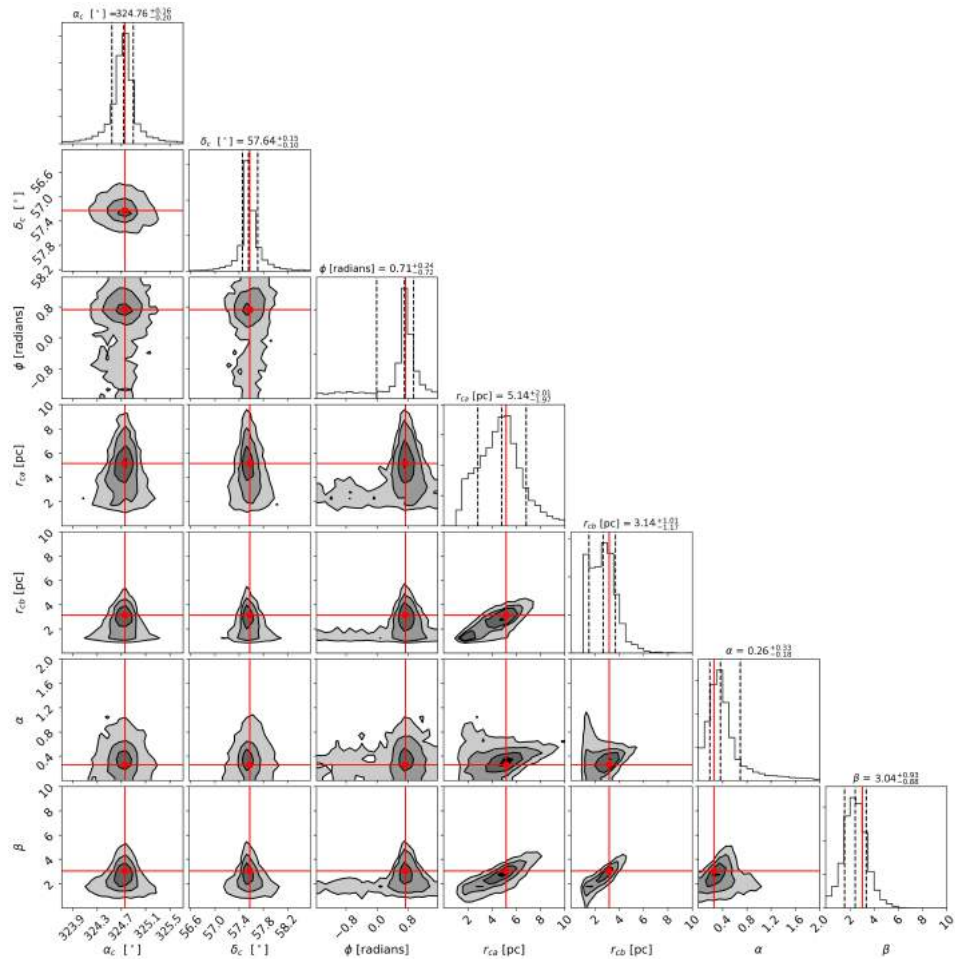
	$\alpha_c [^{\circ}]$	$\delta_c [^{\circ}]$	$\Phi [radians]$	$r_{ca} [pc]$	$r_{cb} [pc]$	γ
$\alpha_c [^{\circ}]$	0.032	-0.003	0.002	0.019	0.007	0.011
$\delta_c [^{\circ}]$	-0.003	0.018	-0.000	-0.012	-0.002	-0.005
$\Phi [radians]$	0.002	-0.000	0.114	0.028	-0.008	0.015
$r_{ca} [pc]$	0.019	-0.012	0.028	2.160	0.702	0.792
$r_{cb} [pc]$	0.007	-0.002	-0.008	0.702	0.914	0.657
γ	0.011	-0.005	0.015	0.792	0.657	0.655



Gambar C.8: Proyeksi dari distribusi *posterior* untuk profil GDP model eliptis IC 1396.

Tabel C.8: Matriks kovarian profil GDP dengan model eliptis IC 1396.

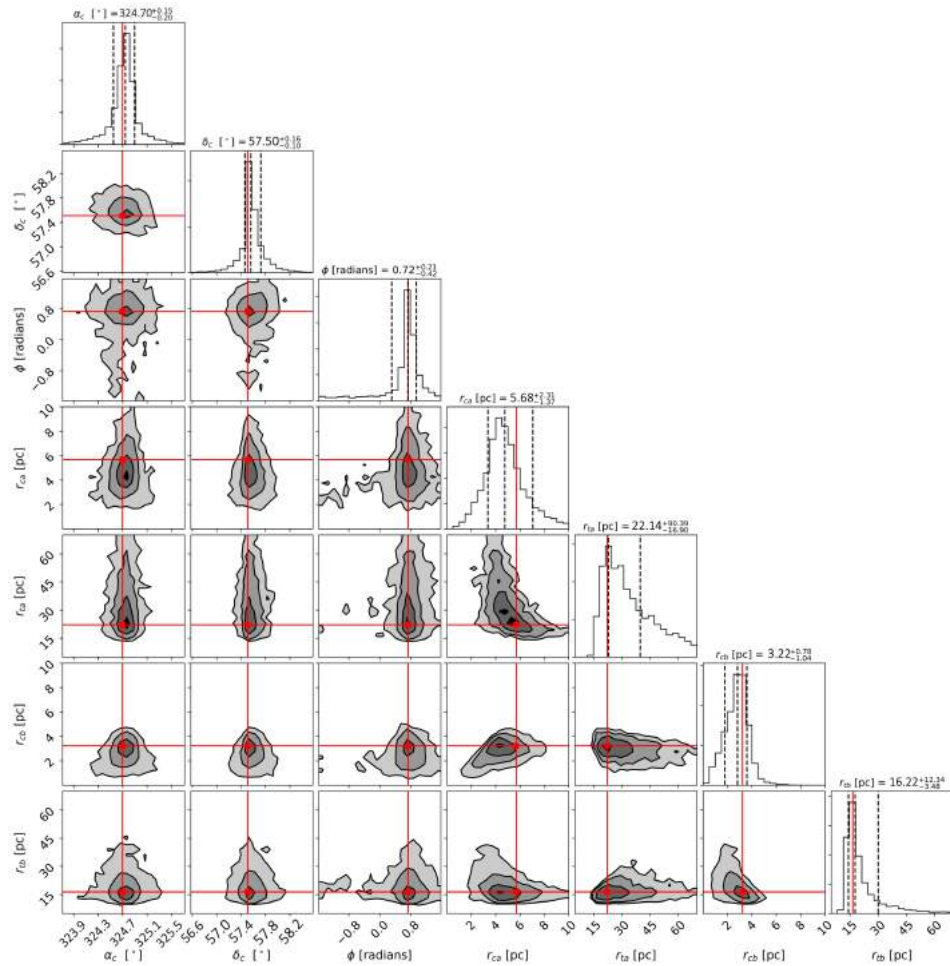
	$\alpha_c [^\circ]$	$\delta_c [^\circ]$	$\Phi [radians]$	$r_{ca} [pc]$	$r_{cb} [pc]$	α	β	γ
$\alpha_c [^\circ]$	0.027	-0.003	0.002	0.016	0.006	-0.002	0.006	-0.001
$\delta_c [^\circ]$	-0.003	0.014	0.001	-0.007	-0.000	0.000	-0.003	0.000
$\Phi [radians]$	0.002	0.001	0.150	0.059	0.022	-0.006	0.045	-0.007
$r_{ca} [pc]$	0.016	-0.007	0.059	1.804	0.558	0.013	0.538	0.024
$r_{cb} [pc]$	0.006	-0.000	0.022	0.558	0.762	-0.019	0.479	0.011
α	-0.002	0.000	-0.006	0.013	-0.019	0.048	-0.001	-0.006
β	0.006	-0.003	0.045	0.538	0.479	-0.001	0.465	-0.021
γ	-0.001	0.000	-0.007	0.024	0.011	-0.006	-0.021	0.026



Gambar C.9: Proyeksi dari distribusi *posterior* untuk profil RGDP model eliptis IC 1396.

Tabel C.9: Matriks kovarian profil RGDP dengan model eliptis IC 1396.

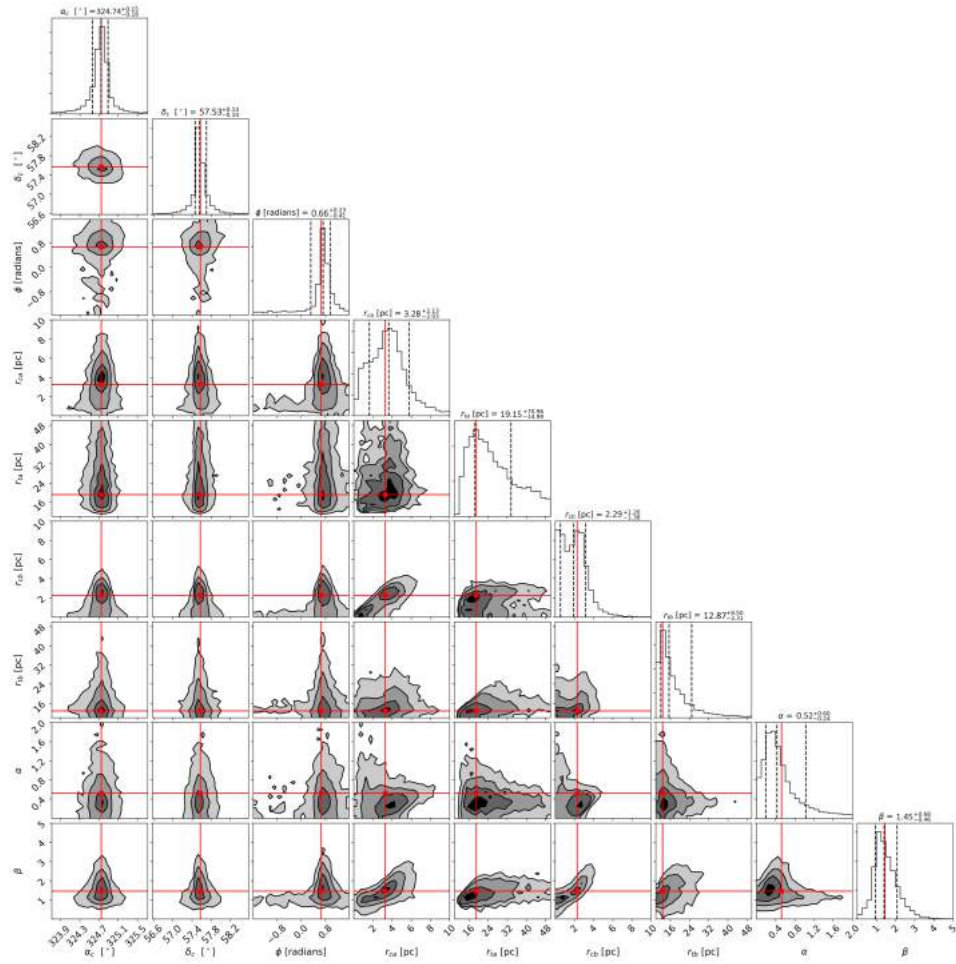
	$\alpha_c [^\circ]$	$\delta_c [^\circ]$	$\Phi [radians]$	$r_{ca} [pc]$	$r_{cb} [pc]$	α	β
$\alpha_c [^\circ]$	0.031	-0.001	0.003	0.018	0.000	0.001	0.004
$\delta_c [^\circ]$	-0.001	0.016	0.001	-0.008	0.000	-0.001	-0.005
$\Phi [radians]$	0.003	0.001	0.141	0.032	-0.008	-0.006	0.024
$r_{ca} [pc]$	0.018	-0.008	0.032	1.462	0.476	0.054	0.550
$r_{cb} [pc]$	0.000	0.000	-0.008	0.476	0.600	0.016	0.422
α	0.001	-0.001	-0.006	0.054	0.016	0.048	0.017
β	0.004	-0.005	0.024	0.550	0.422	0.017	0.452



Gambar C.10: Proyeksi dari distribusi *posterior* untuk profil King model eliptis IC 1396.

Tabel C.10: Matriks kovarian profil King dengan model eliptis IC 1396.

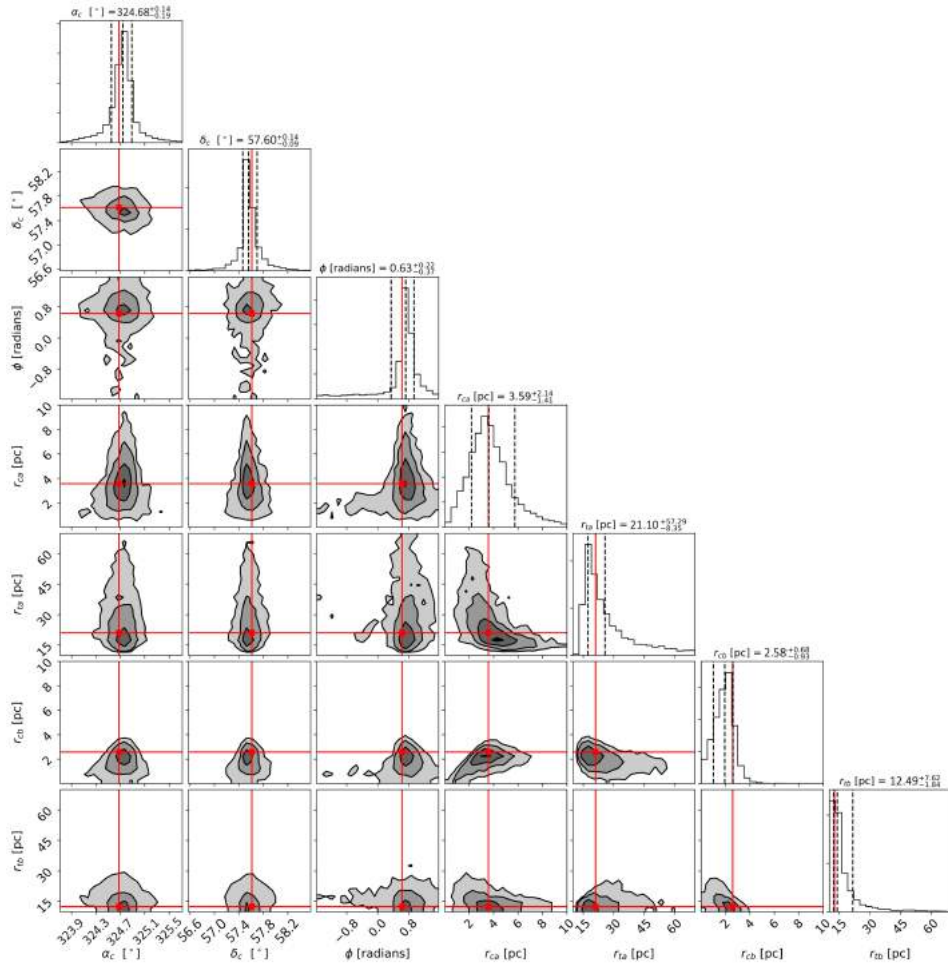
	$\alpha_c [\circ]$	$\delta_c [\circ]$	$\Phi [\text{radians}]$	$r_{ca} [\text{pc}]$	$r_{ta} [\text{pc}]$	$r_{cb} [\text{pc}]$	$r_{tb} [\text{pc}]$
$\alpha_c [\circ]$	0.060	-0.002	0.005	0.016	-0.047	0.008	-0.068
$\delta_c [\circ]$	-0.002	0.032	0.002	0.026	-0.000	0.006	0.007
$\Phi [\text{radians}]$	0.005	0.002	0.253	0.040	-0.017	0.041	-0.388
$r_{ca} [\text{pc}]$	0.016	0.026	0.040	8.019	-7.848	0.204	-1.016
$r_{ta} [\text{pc}]$	-0.047	-0.000	-0.017	-7.848	164.245	-1.932	15.405
$r_{cb} [\text{pc}]$	0.008	0.006	0.041	0.204	-1.932	0.804	-1.964
$r_{tb} [\text{pc}]$	-0.068	0.007	-0.388	-1.016	15.405	-1.964	26.796



Gambar C.11: Proyeksi dari distribusi *posterior* untuk profil GKING model eliptis IC 1396.

Tabel C.11: Matriks kovarian profil GKING dengan model eliptis IC 1396.

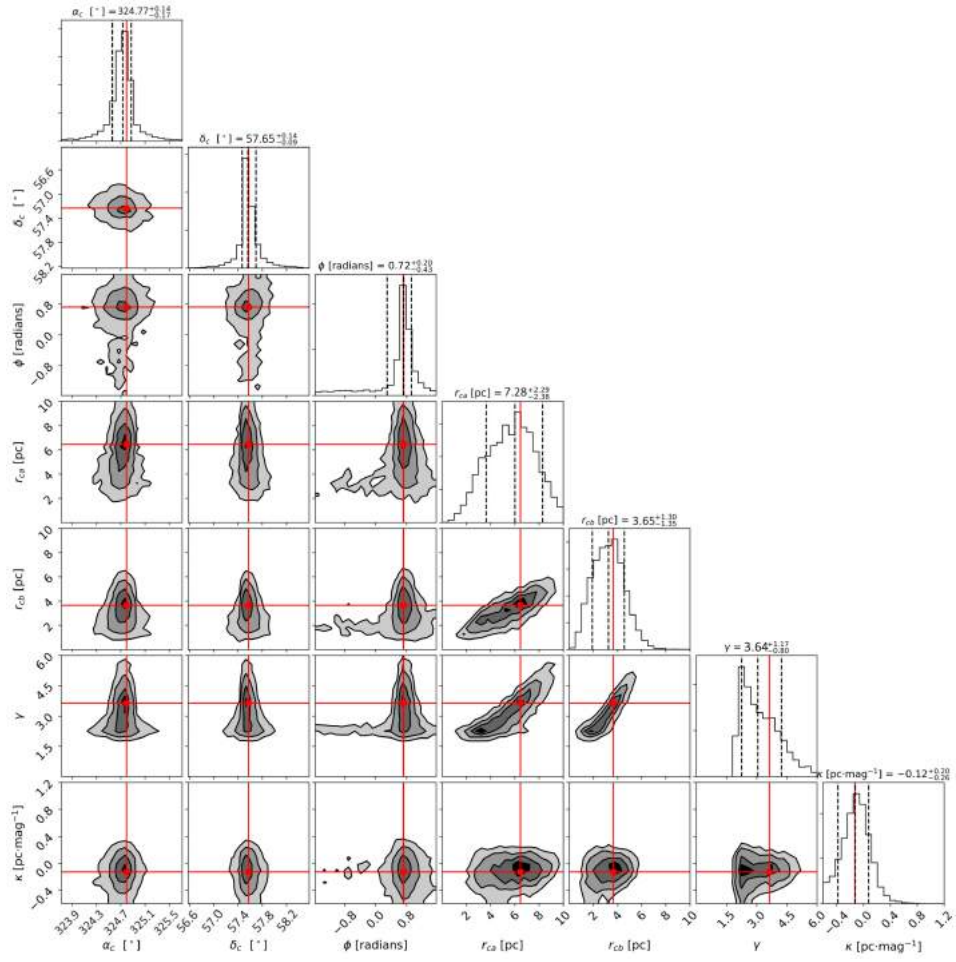
	$\alpha_c [^\circ]$	$\delta_c [^\circ]$	$\Phi [radians]$	$r_{ca} [pc]$	$r_{ta} [pc]$	$r_{cb} [pc]$	$r_{tb} [pc]$	α	β
$\alpha_c [^\circ]$	0.081	-0.007	0.005	0.055	-0.009	0.020	-0.026	-0.004	0.006
$\delta_c [^\circ]$	-0.007	0.046	0.005	-0.031	0.081	-0.008	0.003	0.002	-0.006
$\Phi [radians]$	0.005	0.005	0.302	0.132	-0.070	0.151	-0.293	-0.055	0.064
$r_{ca} [pc]$	0.055	-0.031	0.132	8.306	-1.069	1.793	1.220	-0.026	0.624
$r_{ta} [pc]$	-0.009	0.081	-0.070	-1.069	129.968	2.101	15.788	-0.735	1.585
$r_{cb} [pc]$	0.020	-0.008	0.151	1.793	2.101	1.673	0.770	-0.196	0.523
$r_{tb} [pc]$	-0.026	0.003	-0.293	1.220	15.788	0.770	18.164	-0.145	0.816
α	-0.004	0.002	-0.055	-0.026	-0.735	-0.196	-0.145	0.509	-0.073
β	0.006	-0.006	0.064	0.624	1.585	0.523	0.816	-0.073	0.268



Gambar C.12: Proyeksi dari distribusi *posterior* untuk profil OGKing model eliptis IC 1396.

Tabel C.12: Matriks kovarian profil OGKing dengan model eliptis IC 1396.

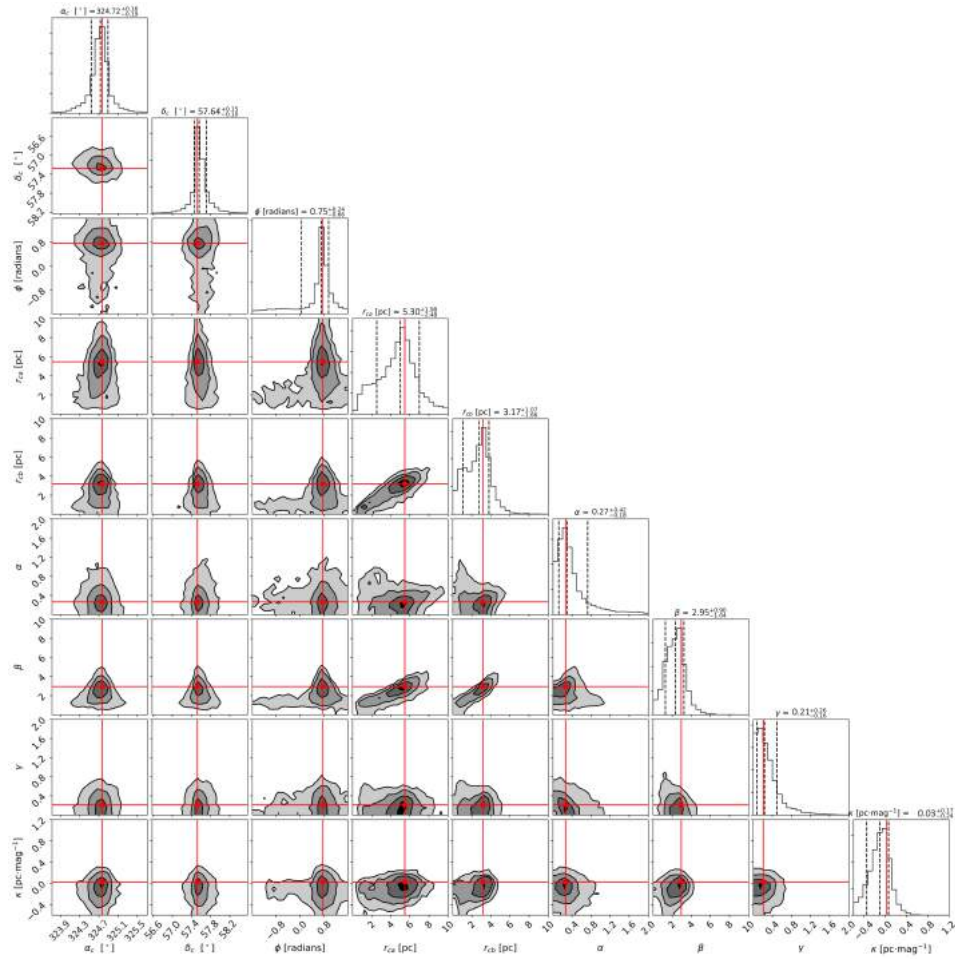
	$\alpha_c [\circ]$	$\delta_c [\circ]$	$\Phi [radians]$	$r_{ca} [pc]$	$r_{ta} [pc]$	$r_{cb} [pc]$	$r_{tb} [pc]$
$\alpha_c [\circ]$	0.043	-0.005	0.003	0.021	-0.060	0.012	-0.073
$\delta_c [\circ]$	-0.005	0.022	-0.000	-0.006	0.027	-0.002	0.021
$\Phi [radians]$	0.003	-0.000	0.169	0.056	-0.079	0.042	-0.250
$r_{ca} [pc]$	0.021	-0.006	0.056	4.426	-4.599	0.201	-0.712
$r_{ta} [pc]$	-0.060	0.027	-0.079	-4.599	45.332	-1.189	4.281
$r_{cb} [pc]$	0.012	-0.002	0.042	0.201	-1.189	0.490	-0.913
$r_{tb} [pc]$	-0.073	0.021	-0.250	-0.712	4.281	-0.913	7.758



Gambar C.13: Proyeksi dari distribusi *posterior* untuk profil EFF model segregasi IC 1396.

Tabel C.13: Matriks kovarian profil EFF dengan model segregasi IC 1396.

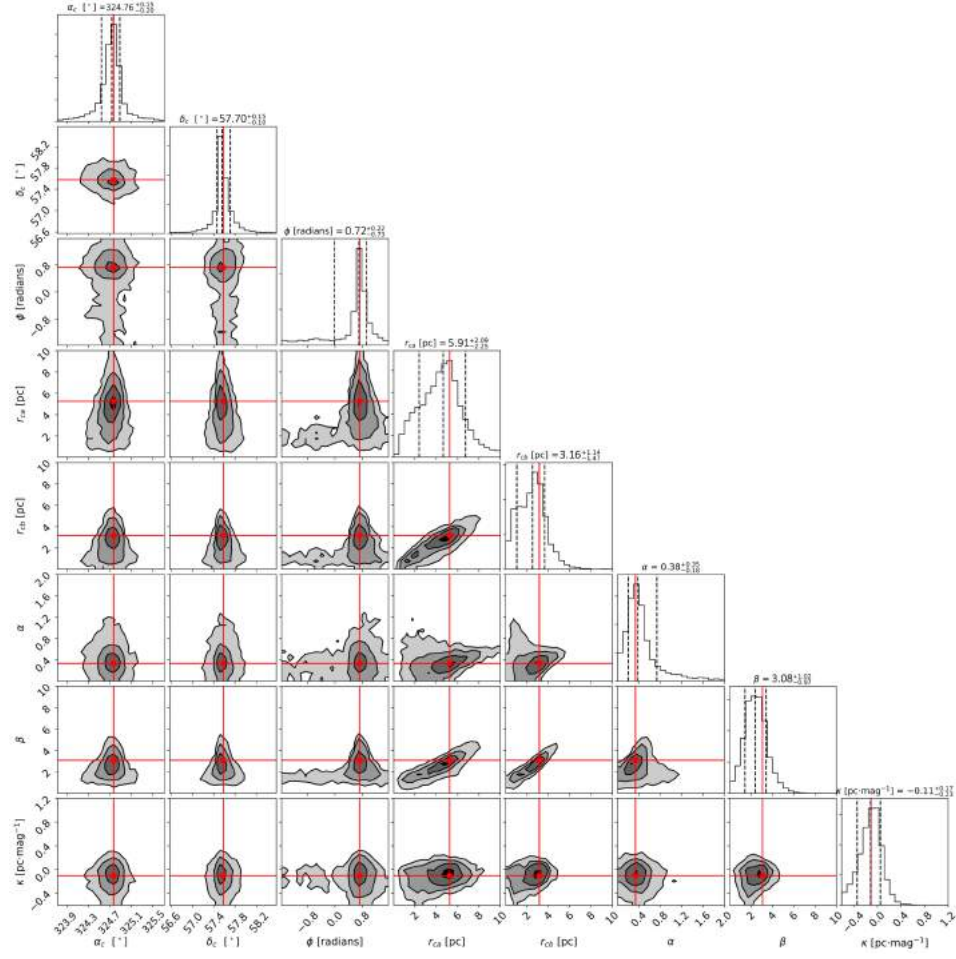
	$\alpha_c [^\circ]$	$\delta_c [^\circ]$	$\Phi [radians]$	$r_{ca} [pc]$	$r_{cb} [pc]$	γ	$\kappa [pc \cdot mag^{-1}]$
$\alpha_c [^\circ]$	0.028	-0.002	0.001	0.023	0.004	0.007	0.001
$\delta_c [^\circ]$	-0.002	0.016	0.002	-0.009	-0.000	-0.004	-0.001
$\Phi [radians]$	0.001	0.002	0.113	0.014	-0.004	0.023	0.001
$r_{ca} [pc]$	0.023	-0.009	0.014	2.004	0.658	0.717	0.019
$r_{cb} [pc]$	0.004	-0.000	-0.004	0.658	0.874	0.594	0.031
γ	0.007	-0.004	0.023	0.717	0.594	0.590	0.005
$\kappa [pc \cdot mag^{-1}]$	0.001	-0.001	0.001	0.019	0.031	0.005	0.047



Gambar C.14: Proyeksi dari distribusi *posterior* untuk profil GDP model segregasi IC 1396.

Tabel C.14: Matriks kovarian profil GDP dengan model segregasi IC 1396.

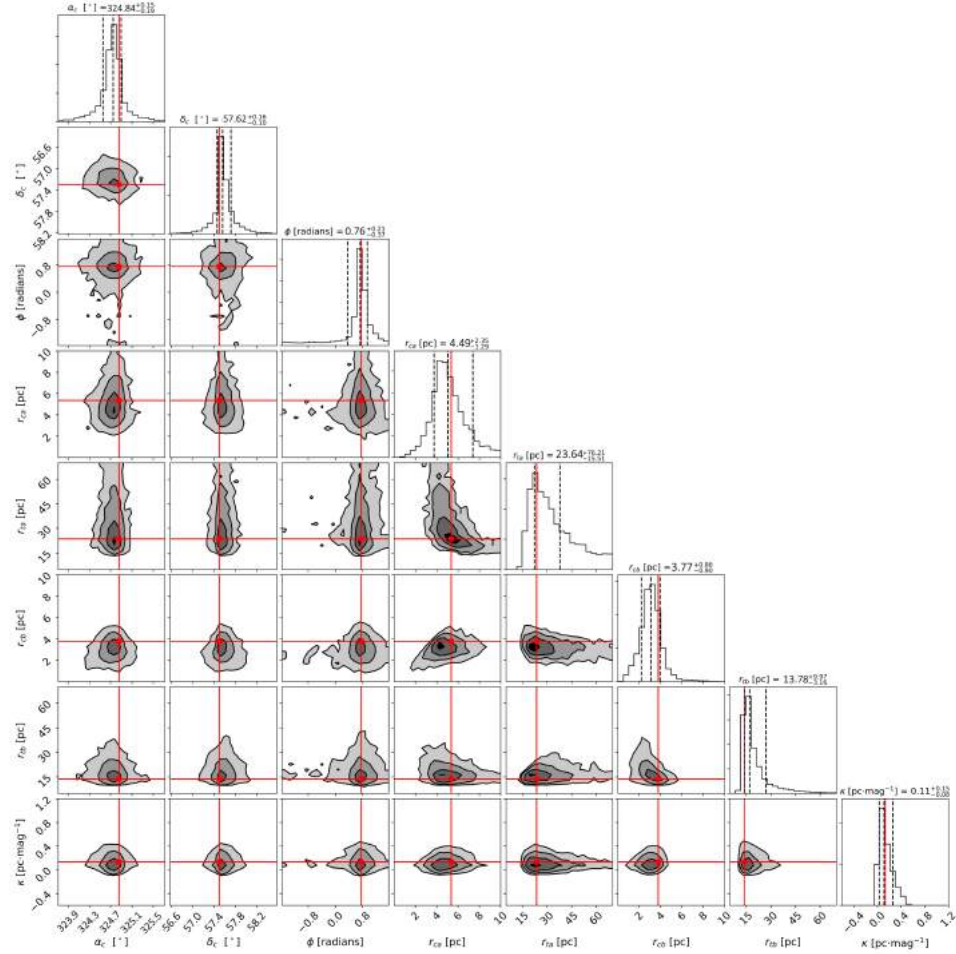
	$\alpha_c [^\circ]$	$\delta_c [^\circ]$	$\Phi [radians]$	$r_{ca} [pc]$	$r_{cb} [pc]$	α	β	γ	κ
$\alpha_c [^\circ]$	0.006	0.001	-0.006	-0.002	0.005	-0.001	0.002	-0.002	0.001
$\delta_c [^\circ]$	-0.003	0.013	0.001	-0.009	-0.000	0.000	-0.004	0.001	-0.001
$\Phi [radians]$	0.002	0.001	0.122	0.034	0.012	-0.007	0.024	-0.003	0.001
$r_{ca} [pc]$	0.024	-0.009	0.034	1.821	0.565	0.033	0.540	0.022	0.035
$r_{cb} [pc]$	0.008	-0.000	0.012	0.565	0.749	-0.005	0.474	0.007	0.038
α	0.000	0.000	-0.007	0.033	-0.005	0.051	0.003	-0.006	-0.004
β	0.008	-0.004	0.024	0.540	0.474	0.003	0.481	-0.026	0.014
γ	-0.001	0.001	-0.003	0.022	0.007	-0.006	-0.026	0.028	-0.002
κ	0.002	-0.001	0.001	0.035	0.038	-0.004	0.014	-0.002	0.042



Gambar C.15: Proyeksi dari distribusi *posterior* untuk profil RGDP model segregasi IC 1396.

Tabel C.15: Matriks kovarian profil RGDP dengan model segregasi IC 1396.

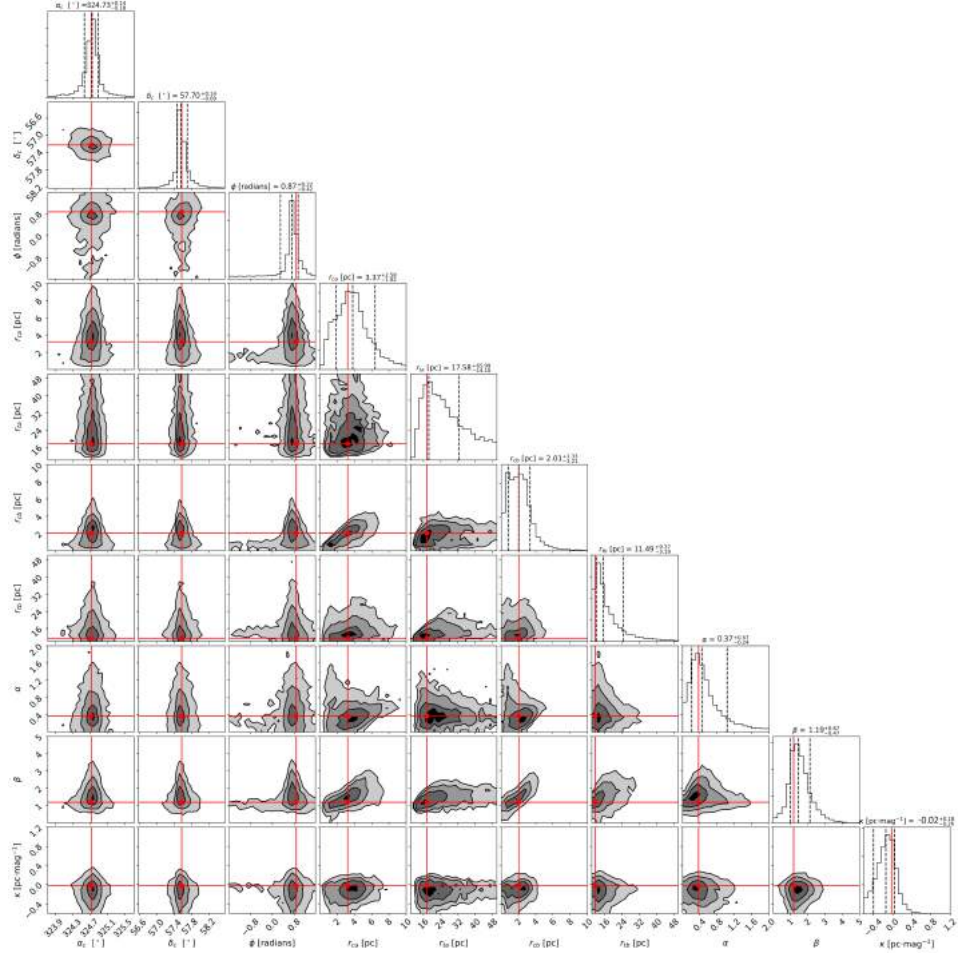
	$\alpha_c [^\circ]$	$\delta_c [^\circ]$	$\Phi [radians]$	$r_{ca} [pc]$	$r_{cb} [pc]$	α	β	$\kappa [pc.mag^{-1}]$
$\alpha_c [^\circ]$	0.027	-0.003	0.002	0.022	0.006	-0.001	0.009	0.002
$\delta_c [^\circ]$	-0.003	0.016	0.000	-0.010	-0.002	0.000	-0.005	-0.001
$\Phi [radians]$	0.002	0.000	0.128	0.047	0.000	-0.005	0.023	0.001
$r_{ca} [pc]$	0.022	-0.010	0.047	1.822	0.679	0.062	0.695	0.029
$r_{cb} [pc]$	0.006	-0.002	0.000	0.679	0.769	0.018	0.550	0.032
α	-0.001	0.000	-0.005	0.062	0.018	0.050	0.021	-0.003
β	0.009	-0.005	0.023	0.695	0.550	0.021	0.544	0.010
$\kappa [pc.mag^{-1}]$	0.002	-0.001	0.001	0.029	0.032	-0.003	0.010	0.037



Gambar C.16: Proyeksi dari distribusi *posterior* untuk profil King model segregasi IC 1396.

Tabel C.16: Matriks kovarian profil King dengan model segregasi IC 1396.

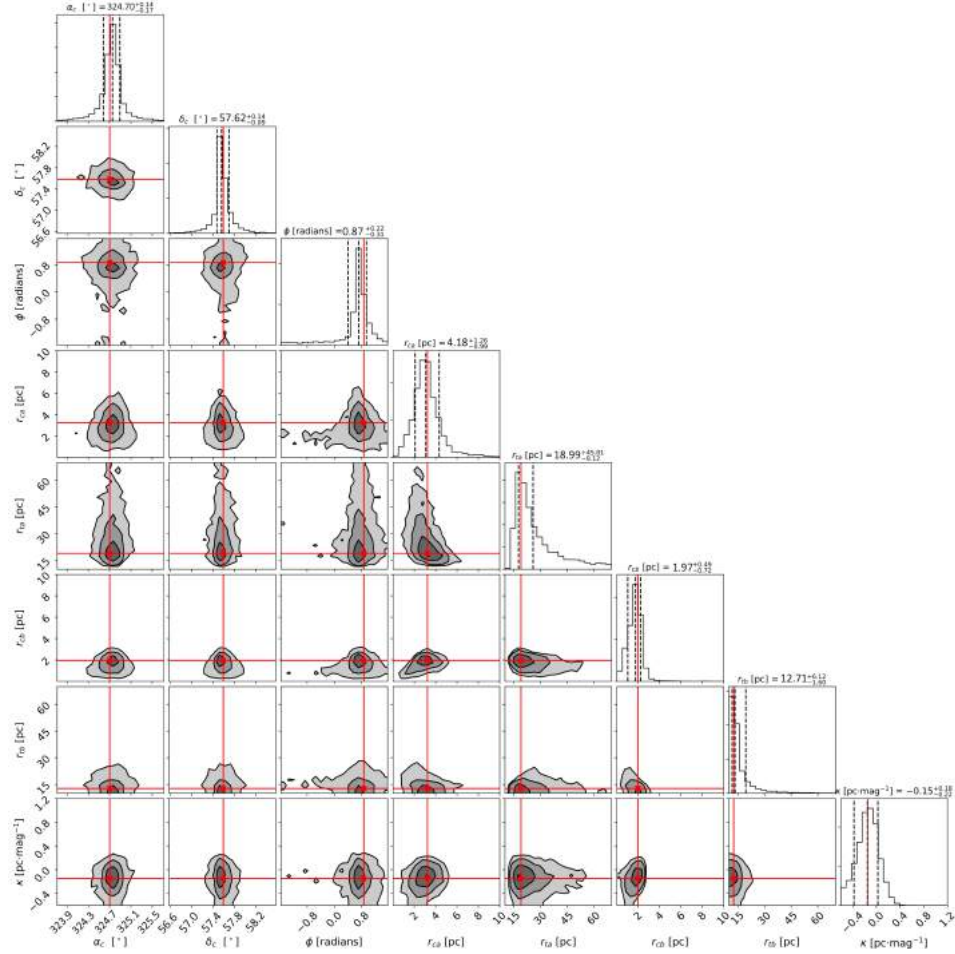
	$\alpha_c [^\circ]$	$\delta_c [^\circ]$	$\Phi [radians]$	$r_{ca} [pc]$	$r_{ta} [pc]$	$r_{cb} [pc]$	$r_{tb} [pc]$	$\kappa [pc.mag^{-1}]$
$\alpha_c [^\circ]$	0.059	-0.007	0.001	0.008	-0.031	0.002	-0.048	-0.001
$\delta_c [^\circ]$	-0.007	0.029	0.001	0.014	0.033	0.006	0.008	0.000
$\Phi [radians]$	0.001	0.001	0.229	-0.046	0.042	0.022	-0.256	-0.004
$r_{ca} [pc]$	0.008	0.014	-0.046	7.034	-8.129	0.421	-1.188	0.052
$r_{ta} [pc]$	-0.031	0.033	0.042	-8.129	143.960	-1.663	9.555	-0.010
$r_{cb} [pc]$	0.002	0.006	0.022	0.421	-1.663	0.904	-1.533	0.026
$r_{tb} [pc]$	-0.048	0.008	-0.256	-1.188	9.555	-1.533	19.681	-0.002
$\kappa [pc.mag^{-1}]$	-0.001	0.000	-0.004	0.052	-0.010	0.026	-0.002	0.013



Gambar C.17: Proyeksi dari distribusi *posterior* untuk profil GKing model segregasi IC 1396.

Tabel C.17: Matriks kovarian profil GKing dengan model segregasi Blanco 1.

	α_c	δ_c	Φ	r_{ca}	r_{ta}	r_{cb}	r_{tb}	α	β	κ
	[$^\circ$]	[$^\circ$]	[radians]	[pc]	[pc]	[pc]	[pc]			[$pc \cdot mag^{-1}$]
$\alpha_c [^\circ]$	0.077	-0.005	0.006	0.036	-0.034	0.012	-0.015	-0.005	0.004	0.003
$\delta_c [^\circ]$	-0.005	0.039	0.003	-0.005	-0.040	-0.006	0.015	0.004	-0.002	-0.001
$\Phi [radians]$	0.006	0.003	0.270	0.130	-0.030	0.119	-0.209	-0.036	0.060	0.004
$r_{ca} [pc]$	0.036	-0.005	0.130	8.366	-2.084	2.306	1.382	0.121	0.710	0.054
$r_{ta} [pc]$	-0.034	-0.040	-0.030	-2.084	111.535	1.377	13.663	-0.462	1.216	0.092
$r_{cb} [pc]$	0.012	-0.006	0.119	2.306	1.377	1.943	0.704	-0.048	0.548	0.052
$r_{tb} [pc]$	-0.015	0.015	-0.209	1.382	13.663	0.704	16.572	-0.111	0.808	0.041
α	-0.005	0.004	-0.036	0.121	-0.462	-0.048	-0.111	0.383	-0.036	-0.014
β	0.004	-0.002	0.060	0.710	1.216	0.548	0.808	-0.036	0.282	0.011
$\kappa [pc \cdot mag^{-1}]$	0.003	-0.001	0.004	0.054	0.092	0.052	0.041	-0.014	0.011	0.060

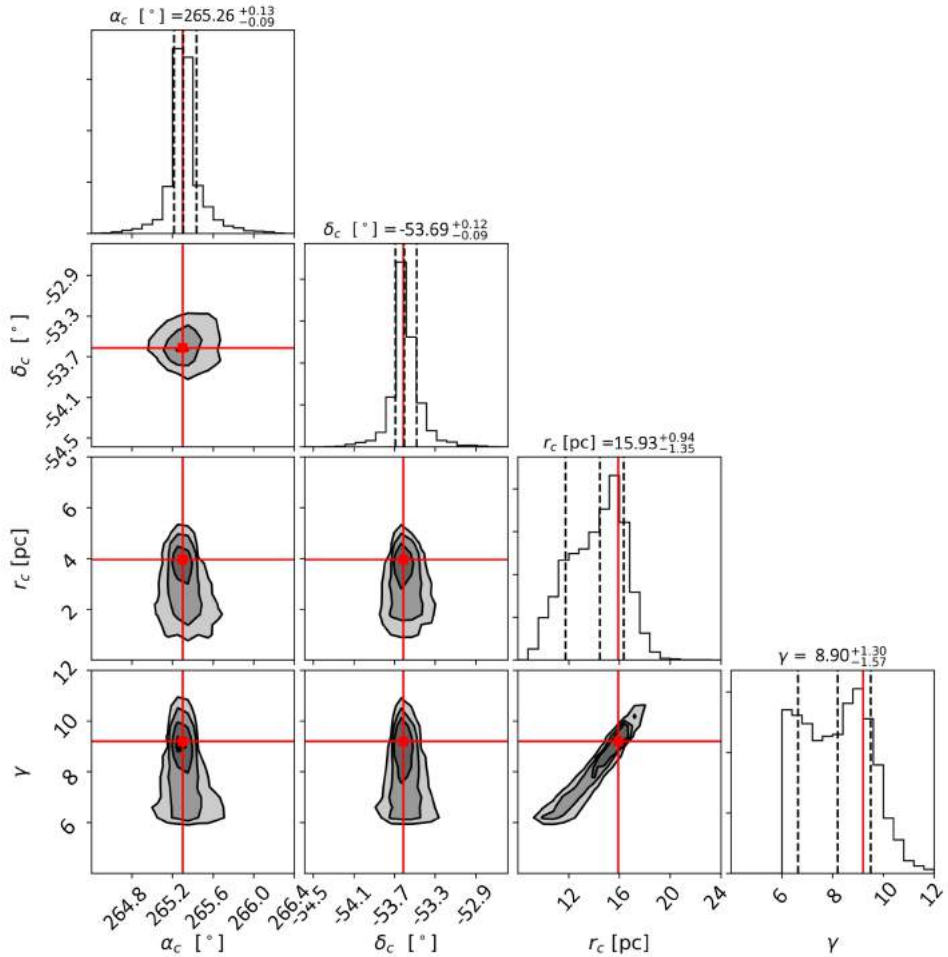


Gambar C.18: Proyeksi dari distribusi *posterior* untuk profil OGGKing model segregasi IC 1396.

Tabel C.18: Matriks kovarian profil OGGKing dengan model segregasi IC 1396.

	$\alpha_c [^\circ]$	$\delta_c [^\circ]$	$\Phi [radians]$	$r_{ca} [pc]$	$r_{ta} [pc]$	$r_{cb} [pc]$	$r_{tb} [pc]$	$\kappa [pc.mag^{-1}]$
$\alpha_c [^\circ]$	0.040	-0.005	-0.004	0.009	-0.003	-0.001	-0.012	0.001
$\delta_c [^\circ]$	-0.005	0.022	0.003	-0.009	0.036	-0.005	0.017	-0.001
$\Phi [radians]$	-0.004	0.003	0.181	-0.012	-0.031	0.024	-0.165	0.005
$r_{ca} [pc]$	0.009	-0.009	-0.012	1.994	-2.309	0.145	-0.310	0.024
$r_{ta} [pc]$	-0.003	0.036	-0.031	-2.309	39.586	-0.513	1.792	-0.054
$r_{cb} [pc]$	-0.001	-0.005	0.024	0.145	-0.513	0.298	-0.481	0.034
$r_{tb} [pc]$	-0.012	0.017	-0.165	-0.310	1.792	-0.481	5.991	-0.043
$\kappa [pc.mag^{-1}]$	0.001	-0.001	0.005	0.024	-0.054	0.034	-0.043	0.043

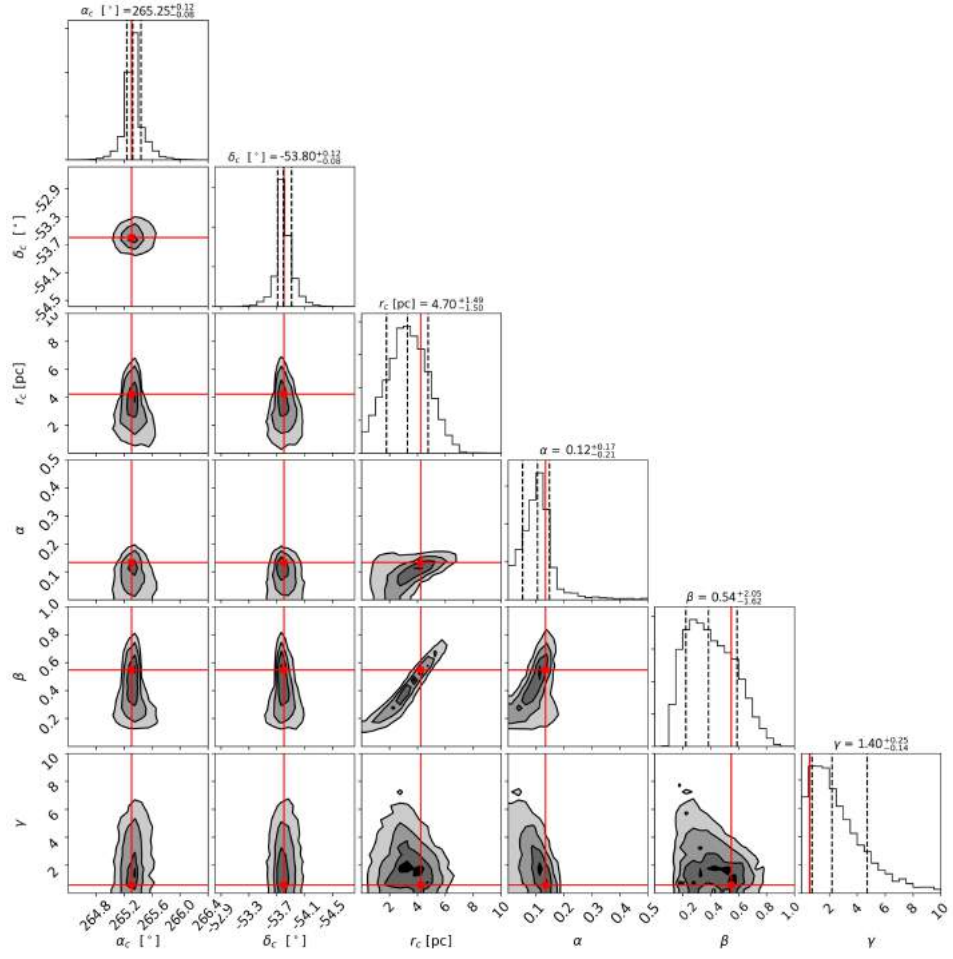
Lampiran D NGC 6397



Gambar D.1: Proyeksi dari distribusi *posterior* untuk profil EFF model simetris lingkaran NGC 6397.

Tabel D.1: Matriks kovarian profil EFF dengan model simetris lingkaran NGC 6397.

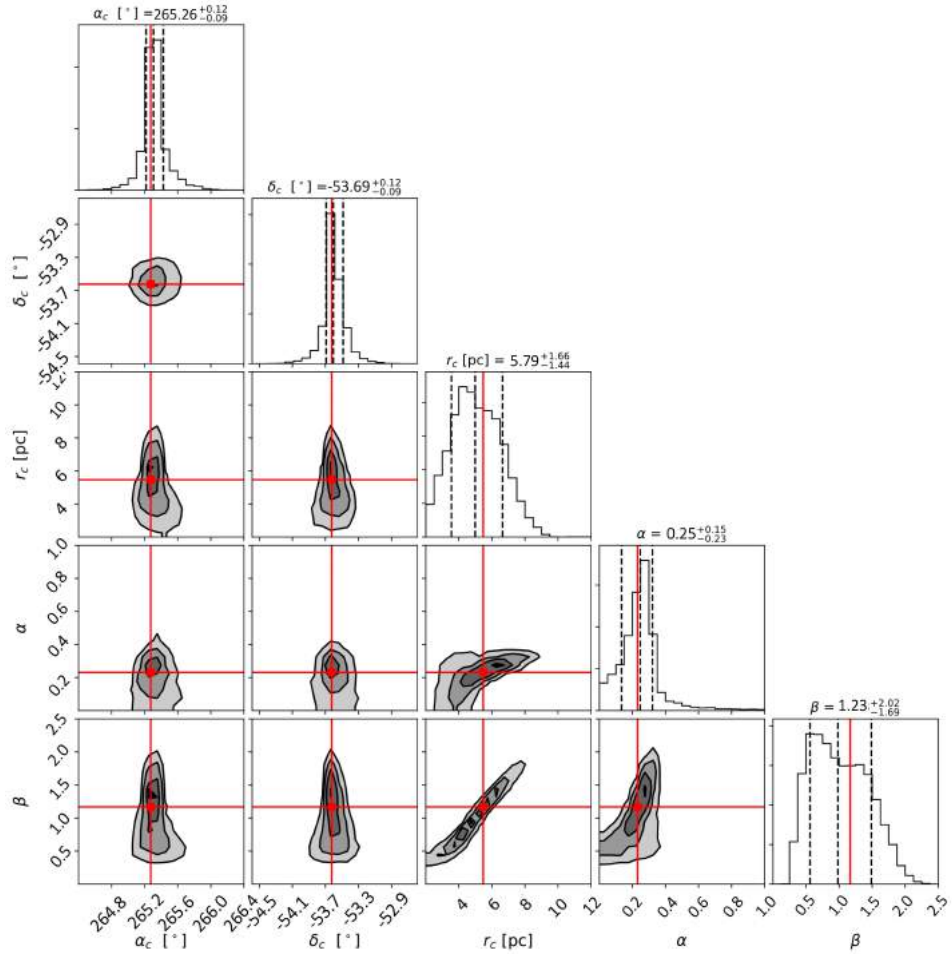
	α_c [°]	δ_c [°]	r_c [pc]	γ
α_c [°]	0.012	0.000	-0.006	-0.007
δ_c [°]	0.000	0.011	-0.001	-0.002
r_c [pc]	-0.006	-0.001	0.433	0.522
γ	-0.007	-0.002	0.522	0.803



Gambar D.2: Proyeksi dari distribusi *posterior* untuk profil GDP model simetris lingkaran NGC 6397.

Tabel D.2: Matriks kovarian profil GDP dengan model simetris lingkaran NGC 6397.

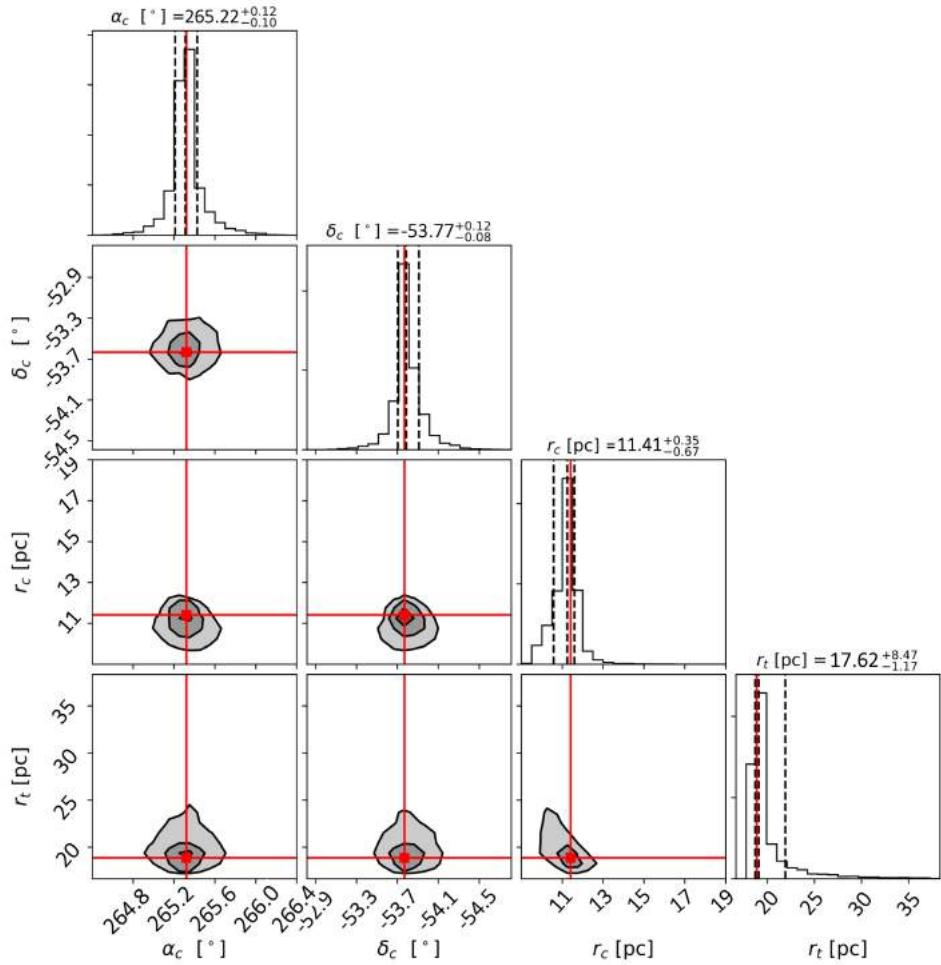
	α_c [°]	δ_c [°]	r_c [pc]	α	β	γ
α_c [°]	0.009	0.001	-0.000	0.001	-0.005	0.003
δ_c [°]	0.001	0.008	-0.006	-0.001	-0.008	0.001
r_c [pc]	-0.000	-0.006	0.991	0.076	1.156	-0.014
α	0.001	-0.001	0.076	0.025	0.082	-0.011
β	-0.005	-0.008	1.156	0.082	1.641	-0.062
γ	0.003	0.001	-0.014	-0.011	-0.062	0.030



Gambar D.3: Proyeksi dari distribusi *posterior* untuk profil RGDP model simetris lingkaran NGC 6397.

Tabel D.3: Matriks kovarian profil RGDP dengan model simetris lingkaran NGC 6397.

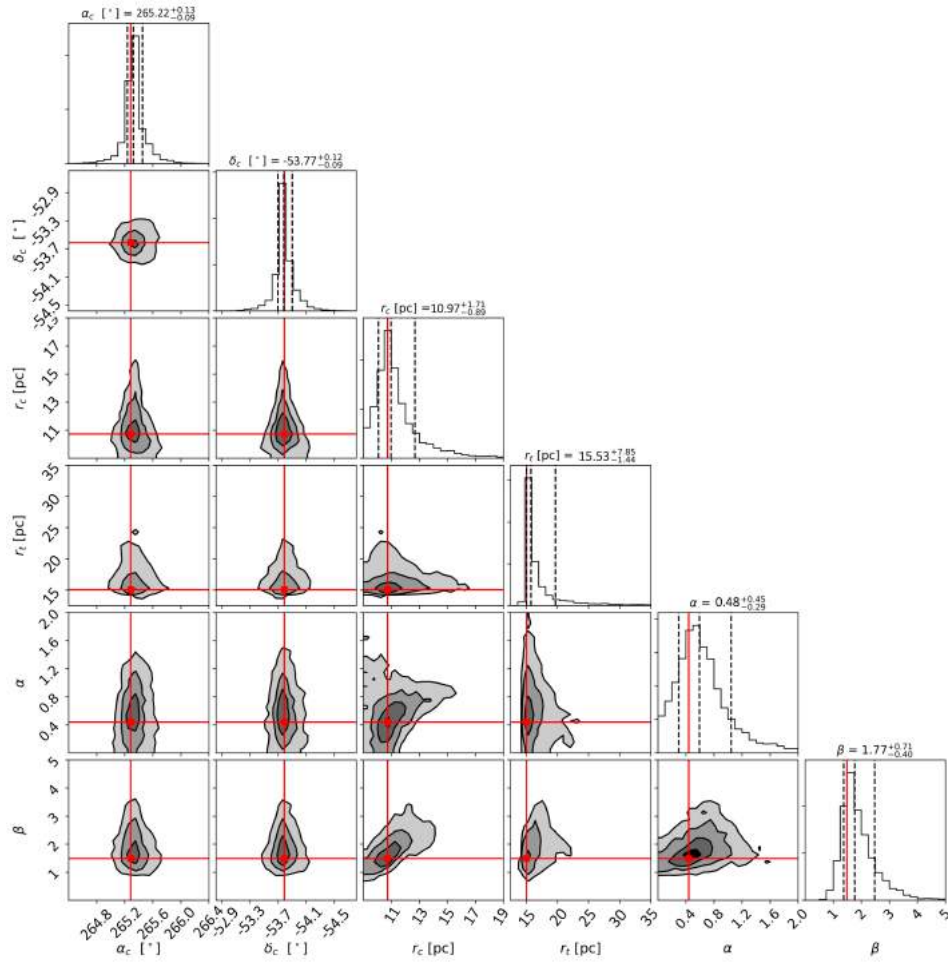
	$\alpha_c [^\circ]$	$\delta_c [^\circ]$	$r_c [pc]$	α	β
$\alpha_c [^\circ]$.013	0.000	-0.002	0.002	-0.001
$\delta_c [^\circ]$	0.000	0.011	-0.004	0.000	-0.006
$r_c [pc]$	-0.002	-0.004	0.896	0.072	1.037
α	0.002	0.000	0.072	0.031	0.074
β	-0.001	-0.006	1.037	0.074	1.364



Gambar D.4: Proyeksi dari distribusi *posterior* untuk profil King model simetris lingkaran NGC 6397.

Tabel D.4: Matriks kovarian profil King dengan model simetris lingkaran NGC 6397.

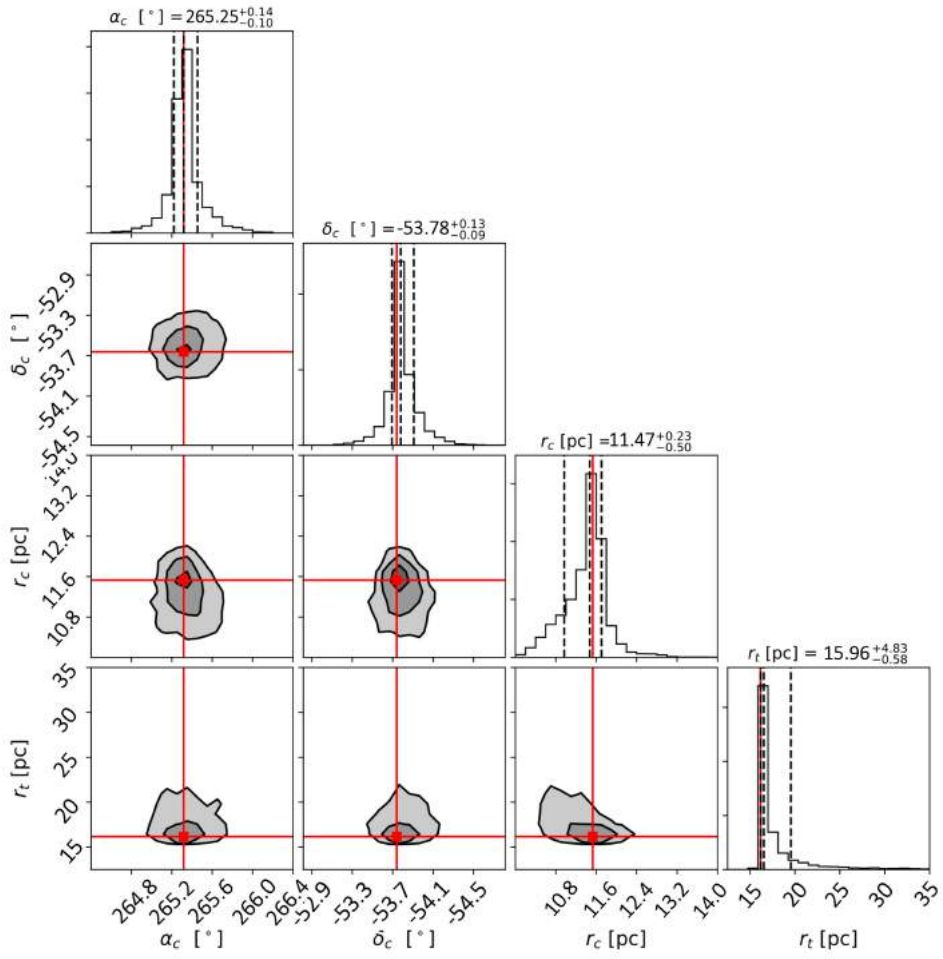
	$\alpha_c [\circ]$	$\delta_c [\circ]$	$r_c [pc]$	$r_t [pc]$
$\alpha_c [\circ]$	0.012	0.002	-0.001	-0.002
$\delta_c [\circ]$	0.002	0.011	-0.002	0.002
$r_c [pc]$	-0.001	-0.002	0.144	-0.153
$r_t [pc]$	-0.002	0.002	-0.153	0.856



Gambar D.5: Proyeksi dari distribusi *posterior* untuk profil GKing model simetris lingkaran NGC 6397.

Tabel D.5: Matriks kovarian profil GKing dengan model simetris lingkaran NGC 6397.

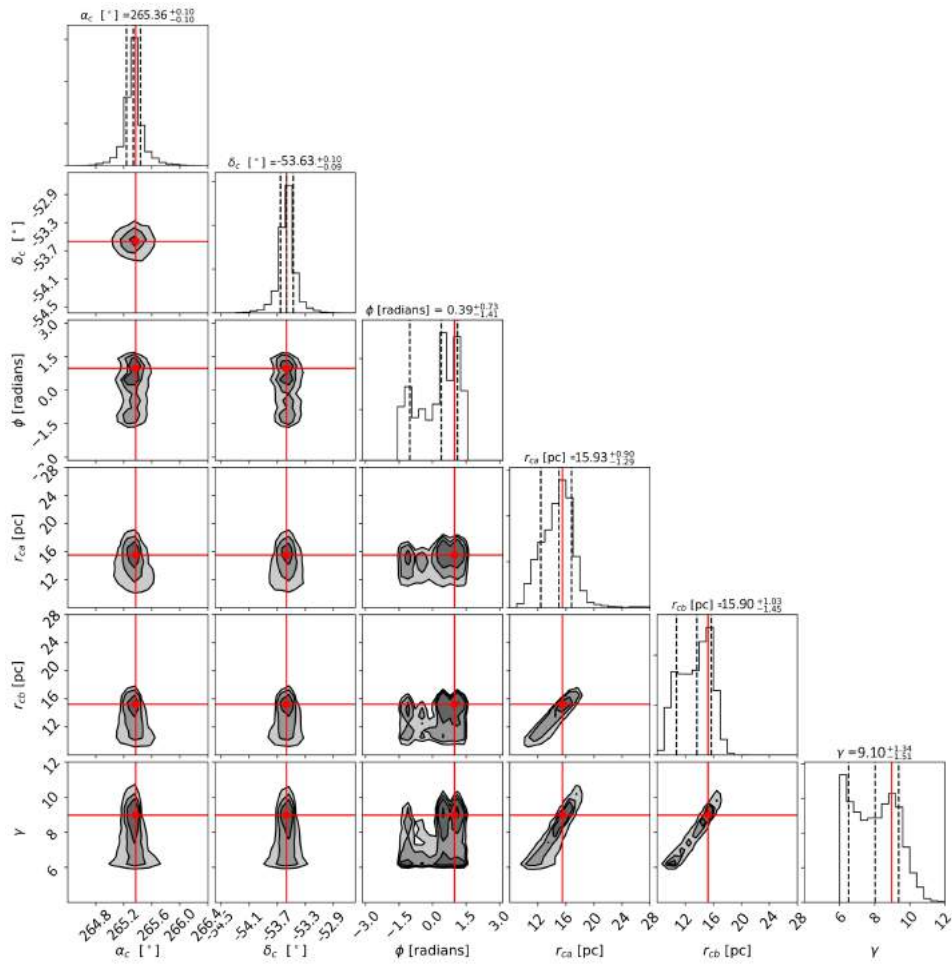
	α_c [$^\circ$]	δ_c [$^\circ$]	r_c [pc]	r_t [pc]	α	β
α_c [$^\circ$]	0.017	0.001	-0.013	-0.008	0.010	-0.005
δ_c [$^\circ$]	0.001	0.014	-0.003	0.010	-0.000	0.000
r_c [pc]	-0.013	-0.003	1.131	0.097	0.066	0.293
r_t [pc]	-0.008	0.010	0.097	1.679	-0.039	0.203
α	0.010	-0.000	0.066	-0.039	0.257	-0.000
β	-0.005	0.000	0.293	0.203	-0.000	0.143



Gambar D.6: Proyeksi dari distribusi *posterior* untuk profil OGKing model simetris lingkaran NGC 6397.

Tabel D.6: Matriks kovarian profil OGKing dengan model simetris lingkaran NGC 6397.

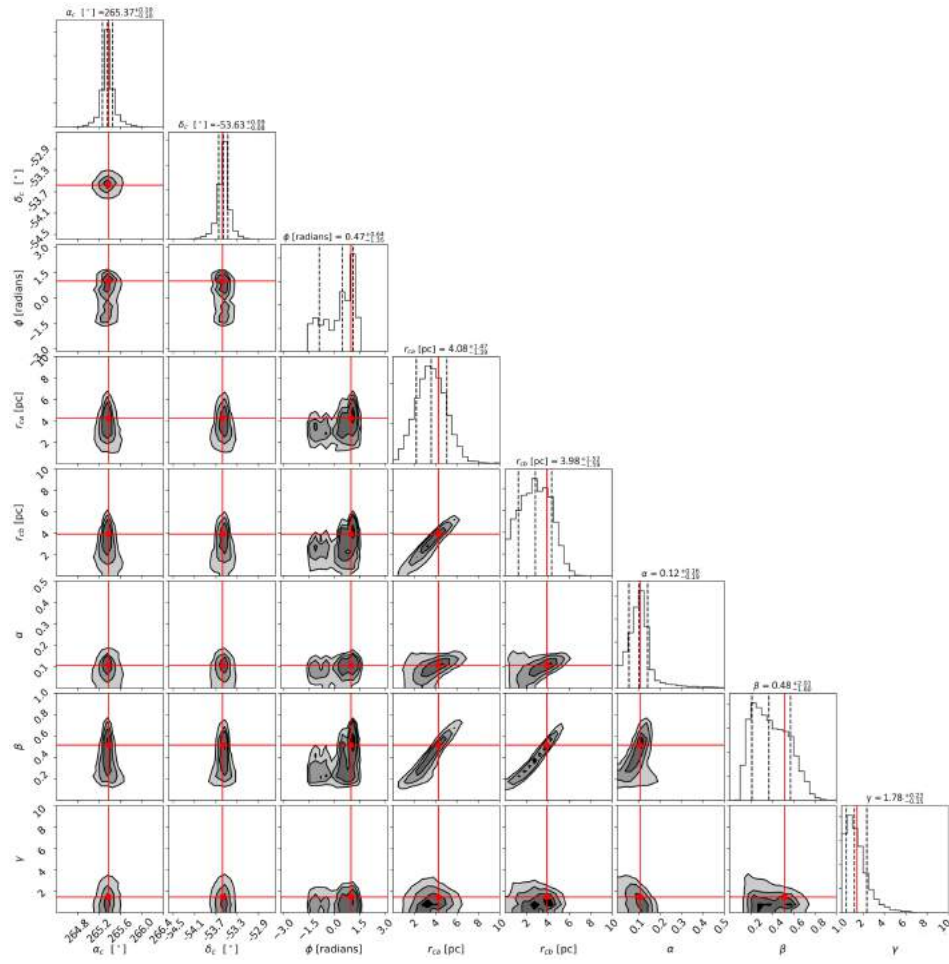
	$\alpha_c [^\circ]$	$\delta_c [^\circ]$	$r_c [pc]$	$r_t [pc]$
$\alpha_c [^\circ]$	0.012	0.001	-0.002	-0.002
$\delta_c [^\circ]$	0.001	0.009	-0.002	0.004
$r_c [pc]$	-0.002	-0.002	0.076	-0.039
$r_t [pc]$	-0.002	0.004	-0.039	0.261



Gambar D.7: Proyeksi dari distribusi *posterior* untuk profil EFF model eliptis NGC 6397.

Tabel D.7: Matriks kovarian profil EFF dengan model eliptis NGC 6397.

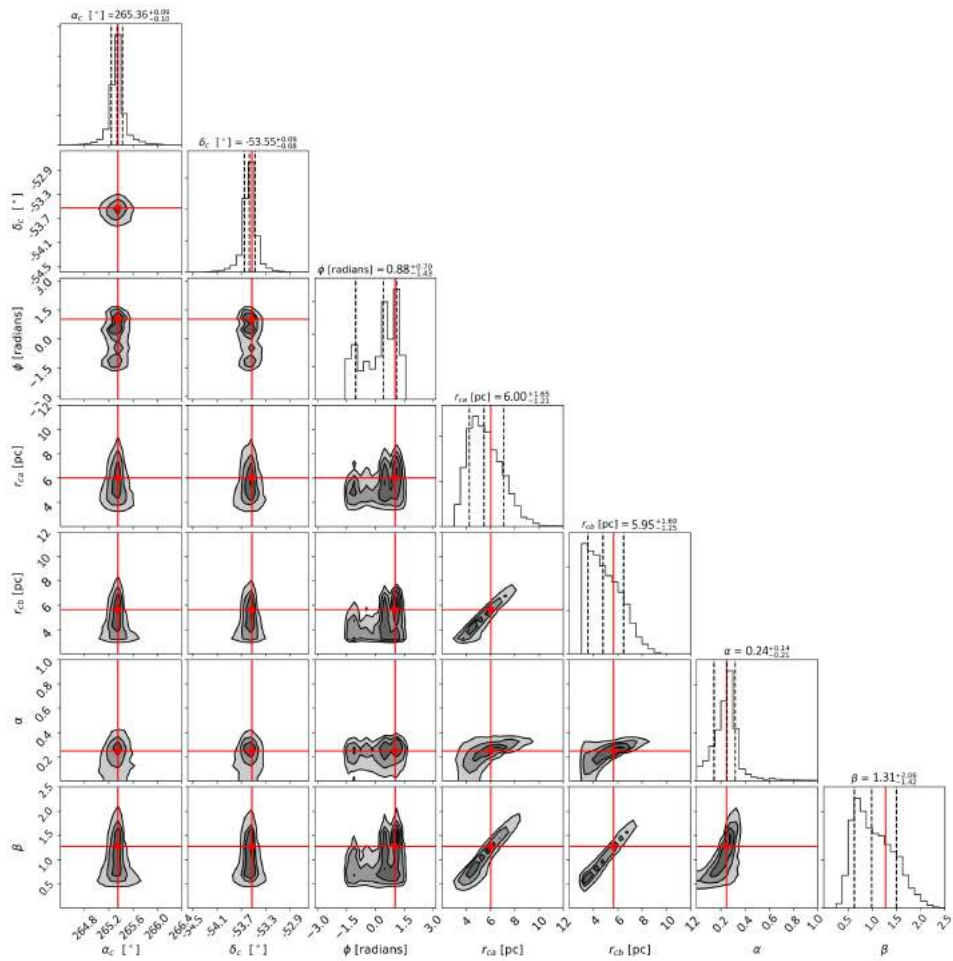
	α_c [°]	δ_c [°]	Φ [radians]	r_{ca} [pc]	r_{cb} [pc]	γ
α_c [°]	0.009	0.000	0.008	-0.004	-0.007	-0.007
δ_c [°]	0.000	0.008	-0.006	-0.003	0.002	0.001
Φ [radians]	0.008	-0.006	0.704	0.019	-0.023	0.008
r_{ca} [pc]	-0.004	-0.003	0.019	0.467	0.380	0.509
r_{cb} [pc]	-0.007	0.002	-0.023	0.380	0.540	0.630
γ	-0.007	0.001	0.008	0.509	0.630	0.856



Gambar D.8: Proyeksi dari distribusi *posterior* untuk profil GDP model eliptis NGC 6397.

Tabel D.8: Matriks kovarian profil GDP dengan model eliptis NGC 6397.

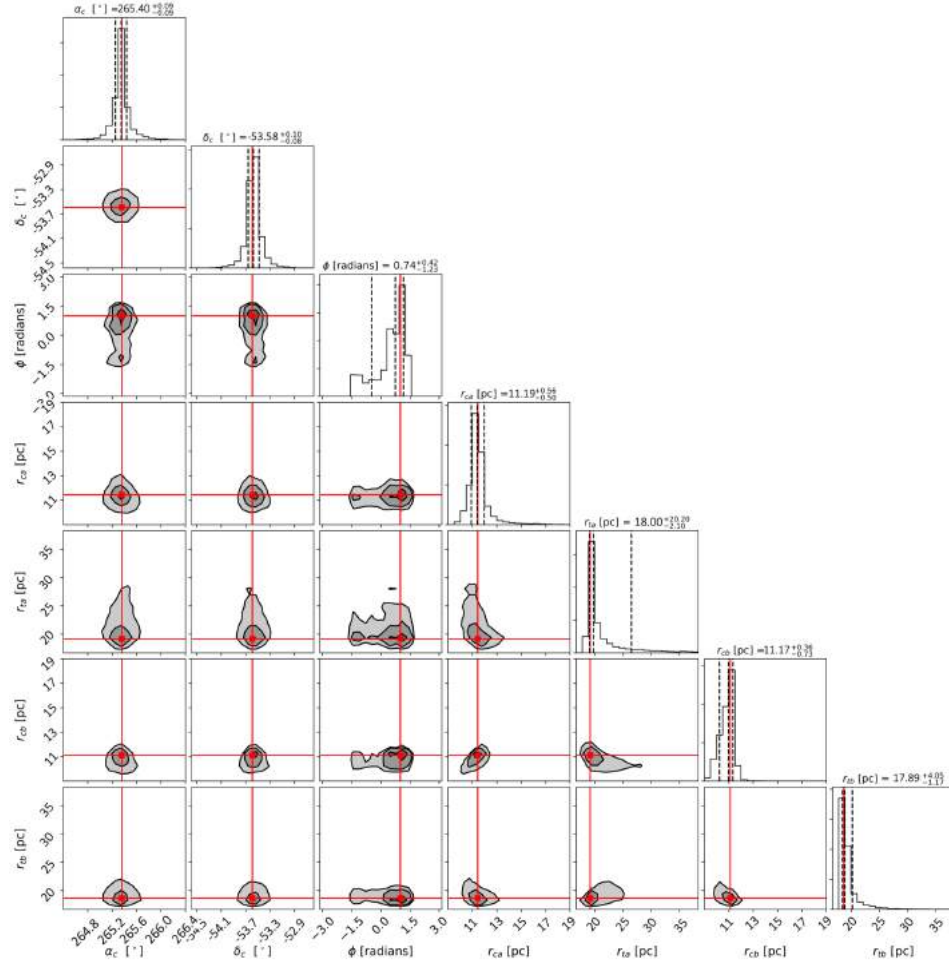
	α_c [°]	δ_c [°]	Φ [radians]	r_{ca} [pc]	r_{cb} [pc]	α	β	γ
α_c [°]	0.007	0.000	0.008	0.004	0.001	0.000	0.000	0.002
δ_c [°]	0.000	0.006	-0.005	-0.003	0.001	-0.001	0.001	0.000
Φ [radians]	0.008	-0.005	0.658	0.149	0.129	0.015	0.200	-0.008
r_{ca} [pc]	0.004	-0.003	0.149	0.974	0.842	0.069	1.065	-0.003
r_{cb} [pc]	0.001	0.001	0.129	0.842	1.022	0.066	1.229	-0.019
α	0.000	-0.001	0.015	0.069	0.066	0.021	0.086	-0.011
β	0.000	0.001	0.200	1.065	1.229	0.086	1.649	-0.053
γ	0.002	0.000	-0.008	-0.003	-0.019	-0.011	-0.053	0.027



Gambar D.9: Proyeksi dari distribusi *posterior* untuk profil RGDP model eliptis NGC 6397.

Tabel D.9: Matriks kovarian profil RGDP dengan model eliptis NGC 6397.

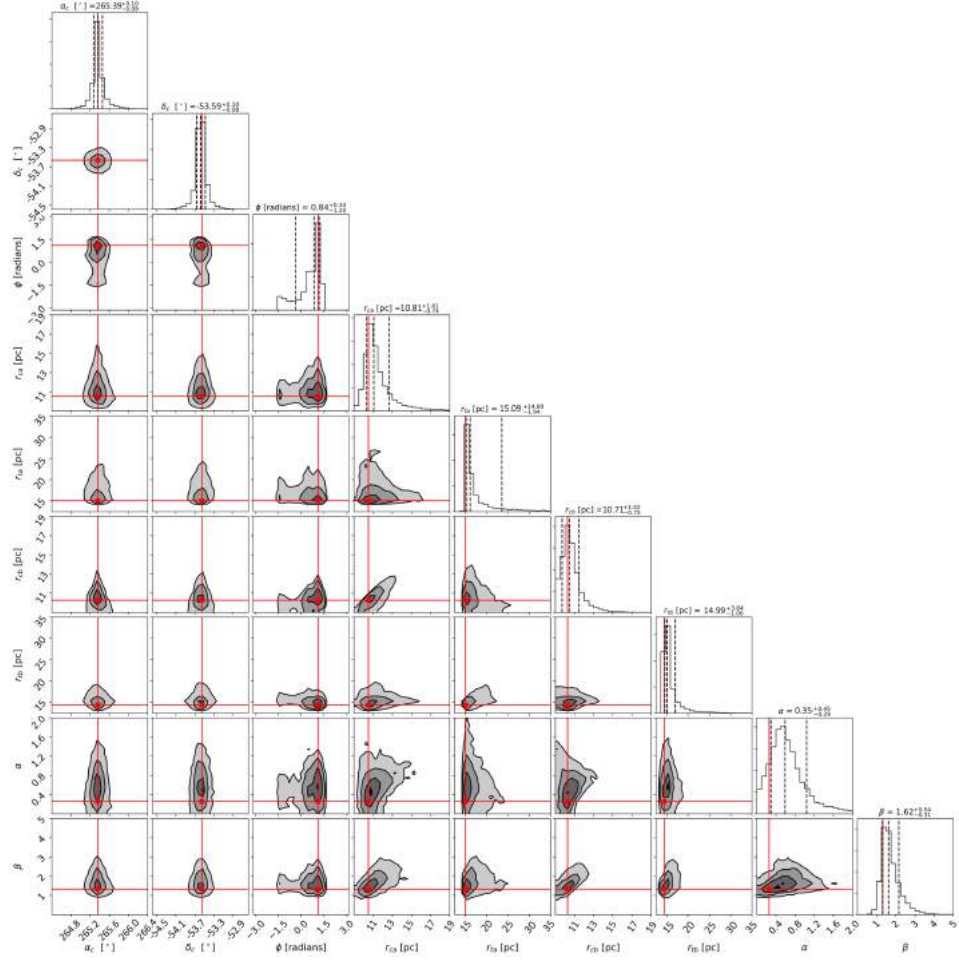
	$\alpha_c [^\circ]$	$\delta_c [^\circ]$	$\Phi [radians]$	$r_{ca} [pc]$	$r_{cb} [pc]$	α	β
$\alpha_c [^\circ]$	0.010	0.001	0.010	0.006	-0.001	0.002	-0.000
$\delta_c [^\circ]$	0.001	0.008	-0.005	-0.004	-0.002	-0.000	-0.002
$\Phi [radians]$	0.010	-0.005	0.681	0.107	0.054	0.008	0.097
$r_{ca} [pc]$	0.006	-0.004	0.107	1.025	0.895	0.077	1.071
$r_{cb} [pc]$	-0.001	-0.002	0.054	0.895	1.051	0.064	1.194
α	0.002	-0.000	0.008	0.077	0.064	0.028	0.070
β	-0.000	-0.002	0.097	1.071	1.194	0.070	1.493



Gambar D.10: Proyeksi dari distribusi *posterior* untuk profil King model eliptis NGC 6397.

Tabel D.10: Matriks kovarian profil King dengan model eliptis NGC 6397.

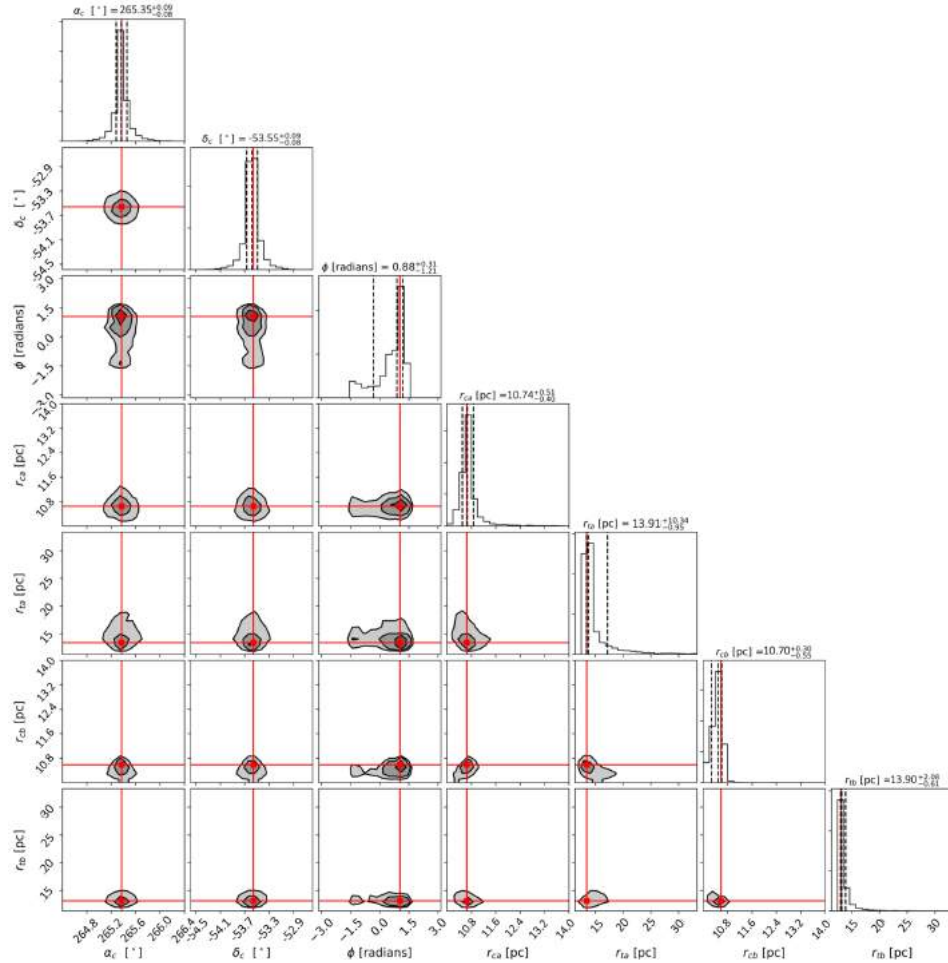
	$\alpha_c [^\circ]$	$\delta_c [^\circ]$	$\Phi [radians]$	$r_{ca} [pc]$	$r_{ta} [pc]$	$r_{cb} [pc]$	$r_{tb} [pc]$
$\alpha_c [^\circ]$	0.008	0.000	0.005	-0.003	-0.000	-0.004	-0.002
$\delta_c [^\circ]$	0.000	0.007	-0.005	-0.002	-0.000	0.000	0.001
$\Phi [radians]$	0.005	-0.005	0.502	-0.030	-0.023	0.019	-0.138
$r_{ca} [pc]$	-0.003	-0.002	-0.030	0.364	-0.312	0.050	-0.157
$r_{ta} [pc]$	-0.000	-0.000	-0.023	-0.312	3.589	-0.286	0.651
$r_{cb} [pc]$	-0.004	0.000	0.019	0.050	-0.286	0.133	-0.176
$r_{tb} [pc]$	-0.002	0.001	-0.138	-0.157	0.651	-0.176	1.229



Gambar D.11: Proyeksi dari distribusi *posterior* untuk profil GKing model eliptis NGC 6397.

Tabel D.11: Matriks kovarian profil GKing dengan model eliptis NGC 6397.

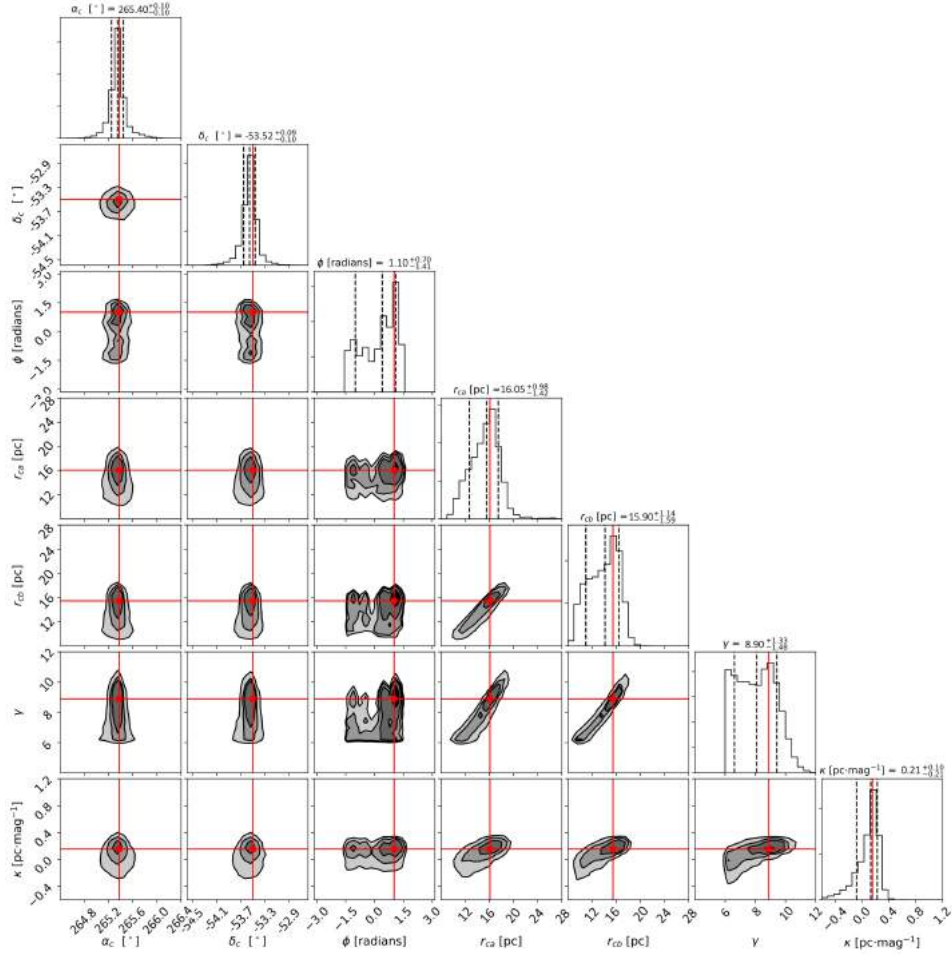
	α_c [$^{\circ}$]	δ_c [$^{\circ}$]	Φ [radians]	r_{ca} [pc]	r_{ta} [pc]	r_{cb} [pc]	r_{tb} [pc]	α	β
α_c [$^{\circ}$]	0.009	0.000	0.001	-0.001	-0.009	-0.006	-0.007	0.006	-0.002
δ_c [$^{\circ}$]	0.000	0.009	-0.004	-0.001	0.007	0.002	0.006	-0.001	0.002
Φ [radians]	0.001	-0.004	0.458	0.023	-0.194	0.080	-0.189	-0.014	0.010
r_{ca} [pc]	-0.001	-0.001	0.023	1.368	-0.002	0.611	0.204	0.150	0.206
r_{ta} [pc]	-0.009	0.007	-0.194	-0.002	3.528	-0.030	0.916	-0.006	0.156
r_{cb} [pc]	-0.006	0.002	0.080	0.611	-0.030	0.673	0.165	0.021	0.207
r_{tb} [pc]	-0.007	0.006	-0.189	0.204	0.916	0.165	1.092	-0.003	0.166
α	0.006	-0.001	-0.014	0.150	-0.006	0.021	-0.003	0.231	0.015
β	-0.002	0.002	0.010	0.206	0.156	0.207	0.166	0.015	0.101



Gambar D.12: Proyeksi dari distribusi *posterior* untuk profil OGKing model eliptis NGC 6397.

Tabel D.12: Matriks kovarian profil OGKing dengan model eliptis NGC 6397.

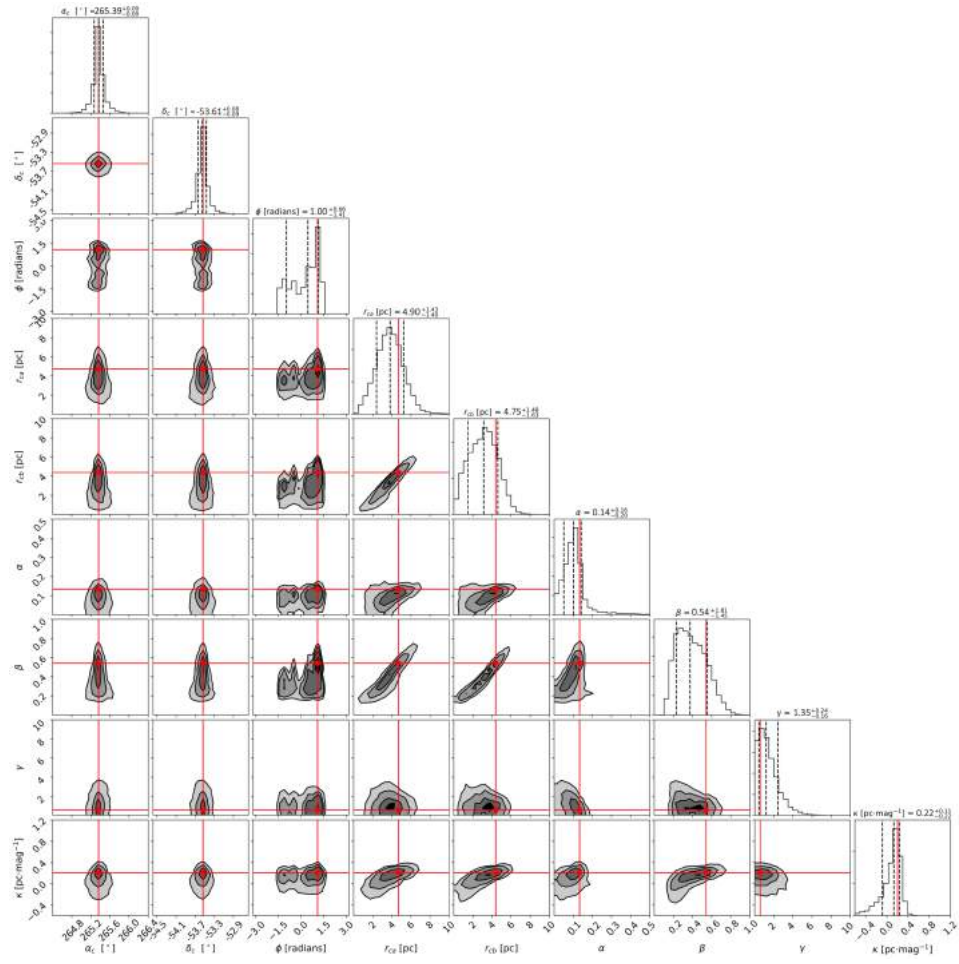
	$\alpha_c [^\circ]$	$\delta_c [^\circ]$	$\Phi [radians]$	$r_{ca} [pc]$	$r_{ta} [pc]$	$r_{cb} [pc]$	$r_{tb} [pc]$
$\alpha_c [^\circ]$	0.006	0.000	0.002	-0.001	0.001	-0.002	-0.001
$\delta_c [^\circ]$	0.000	0.006	-0.002	-0.002	0.003	0.000	0.001
$\Phi [radians]$	0.002	-0.002	0.402	-0.007	-0.045	0.020	-0.118
$r_{ca} [pc]$	-0.001	-0.002	-0.007	0.192	-0.059	0.019	-0.016
$r_{ta} [pc]$	0.001	0.003	-0.045	-0.059	0.857	-0.094	0.113
$r_{cb} [pc]$	-0.002	0.000	0.020	0.019	-0.094	0.081	-0.063
$r_{tb} [pc]$	-0.001	0.001	-0.118	-0.016	0.113	-0.063	0.339



Gambar D.13: Proyeksi dari distribusi *posterior* untuk profil EFF model segregasi NGC 6397.

Tabel D.13: Matriks kovarian profil EFF dengan model segregasi NGC 6397.

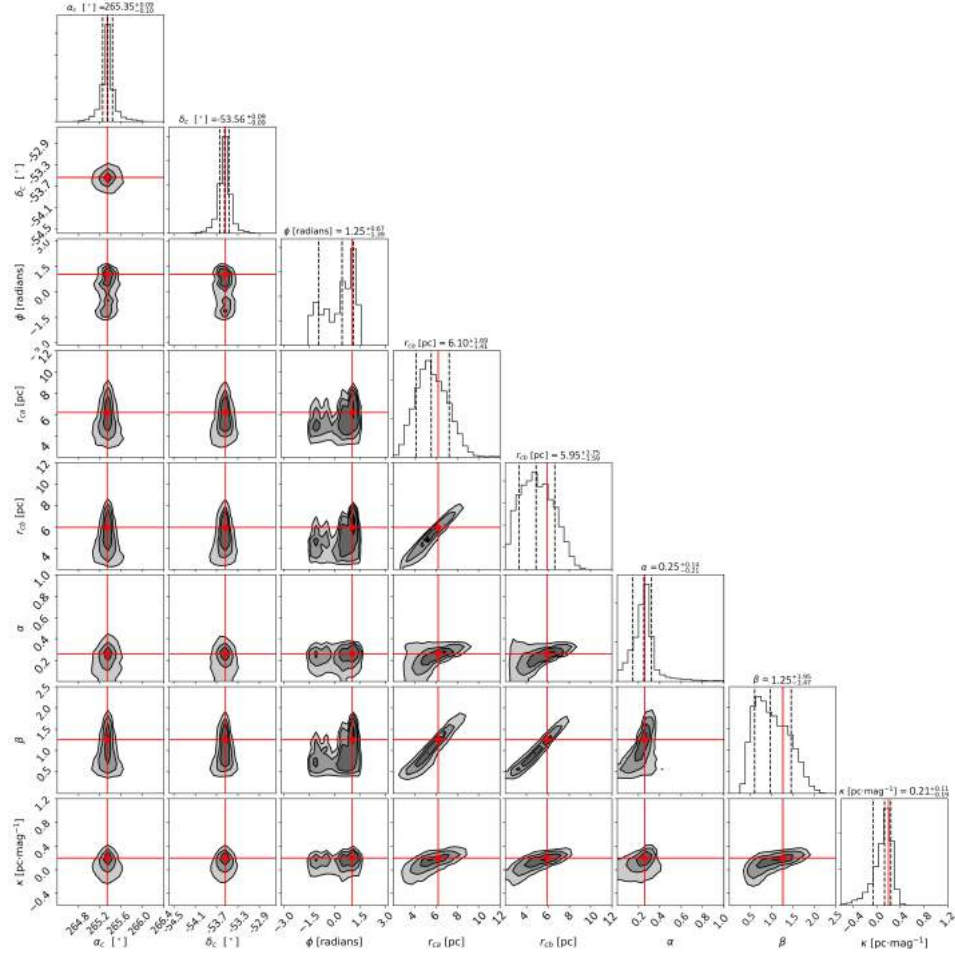
	α_c [$^{\circ}$]	δ_c [$^{\circ}$]	Φ [radians]	r_{ca} [pc]	r_{cb} [pc]	γ	κ [$pc \cdot mag^{-1}$]
α_c [$^{\circ}$]	0.009	0.001	0.008	-0.003	-0.005	-0.004	0.000
δ_c [$^{\circ}$]	0.001	0.008	-0.007	-0.001	0.003	0.001	0.001
Φ [radians]	0.008	-0.007	0.733	0.018	-0.013	0.025	-0.001
r_{ca} [pc]	-0.003	-0.001	0.018	0.540	0.443	0.526	0.032
r_{cb} [pc]	-0.005	0.003	-0.013	0.443	0.621	0.642	0.048
γ	-0.004	0.001	0.025	0.526	0.642	0.823	0.033
κ [$pc \cdot mag^{-1}$]	0.000	0.001	-0.001	0.032	0.048	0.033	0.013



Gambar D.14: Proyeksi dari distribusi *posterior* untuk profil GDP model segregasi NGC 6397.

Tabel D.14: Matriks kovarian profil GDP dengan model segregasi NGC 6397.

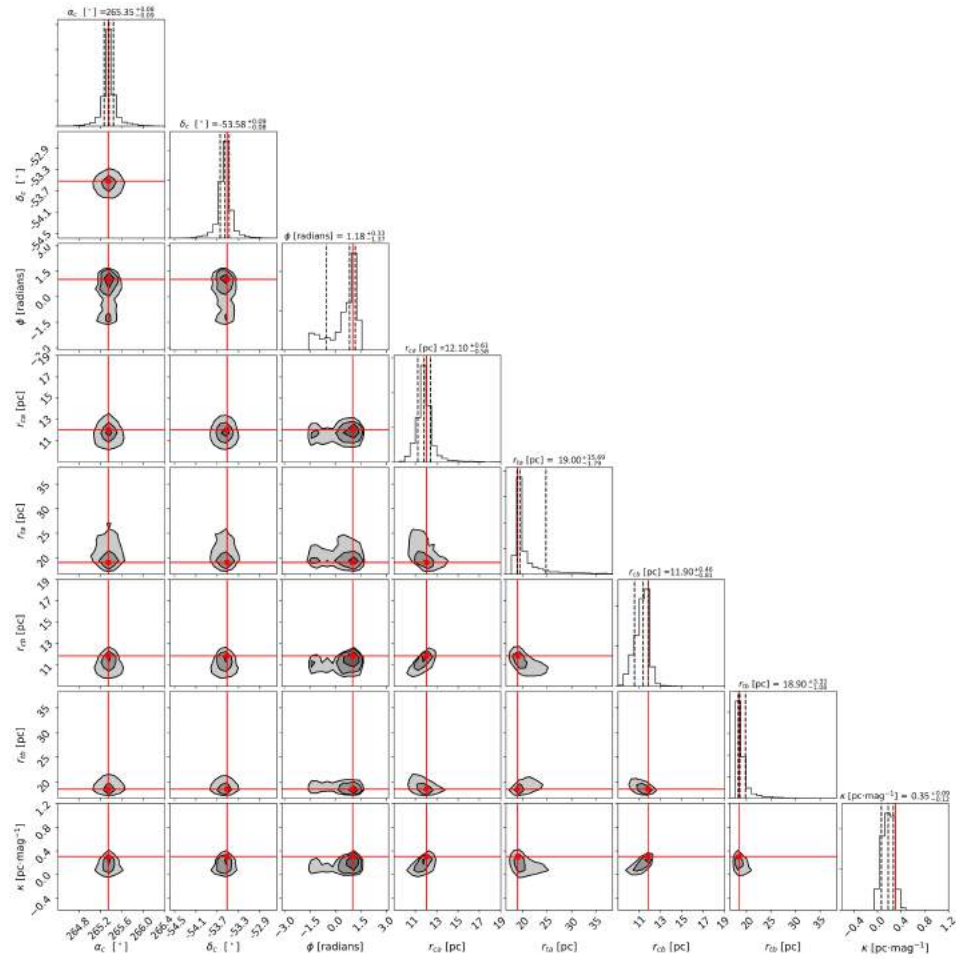
	$\alpha_c [^\circ]$	$\delta_c [^\circ]$	$\Phi [radians]$	$r_{ca} [pc]$	$r_{cb} [pc]$	α	β	γ	κ
$\alpha_c [^\circ]$	0.008	0.000	0.010	0.004	0.001	0.000	-0.001	0.002	0.001
$\delta_c [^\circ]$	0.000	0.007	-0.005	-0.003	0.001	-0.001	-0.000	-0.001	0.001
$\Phi [radians]$	0.010	-0.005	0.721	0.078	0.062	0.008	0.110	-0.002	0.004
$r_{ca} [pc]$	0.004	-0.003	0.078	1.001	0.870	0.072	0.990	-0.006	0.048
$r_{cb} [pc]$	0.001	0.001	0.062	0.870	1.060	0.058	1.141	-0.020	0.069
α	0.000	-0.001	0.008	0.072	0.058	0.029	0.069	-0.011	0.000
β	-0.001	-0.000	0.110	0.990	1.141	0.069	1.466	-0.055	0.062
γ	0.002	-0.001	-0.002	-0.006	-0.020	-0.011	-0.055	0.030	-0.003
κ	0.001	0.001	0.004	0.048	0.069	0.000	0.062	-0.003	0.016



Gambar D.15: Proyeksi dari distribusi *posterior* untuk profil RGDP model segregasi NGC 6397.

Tabel D.15: Matriks kovarian profil RGDP dengan model segregasi NGC 6397.

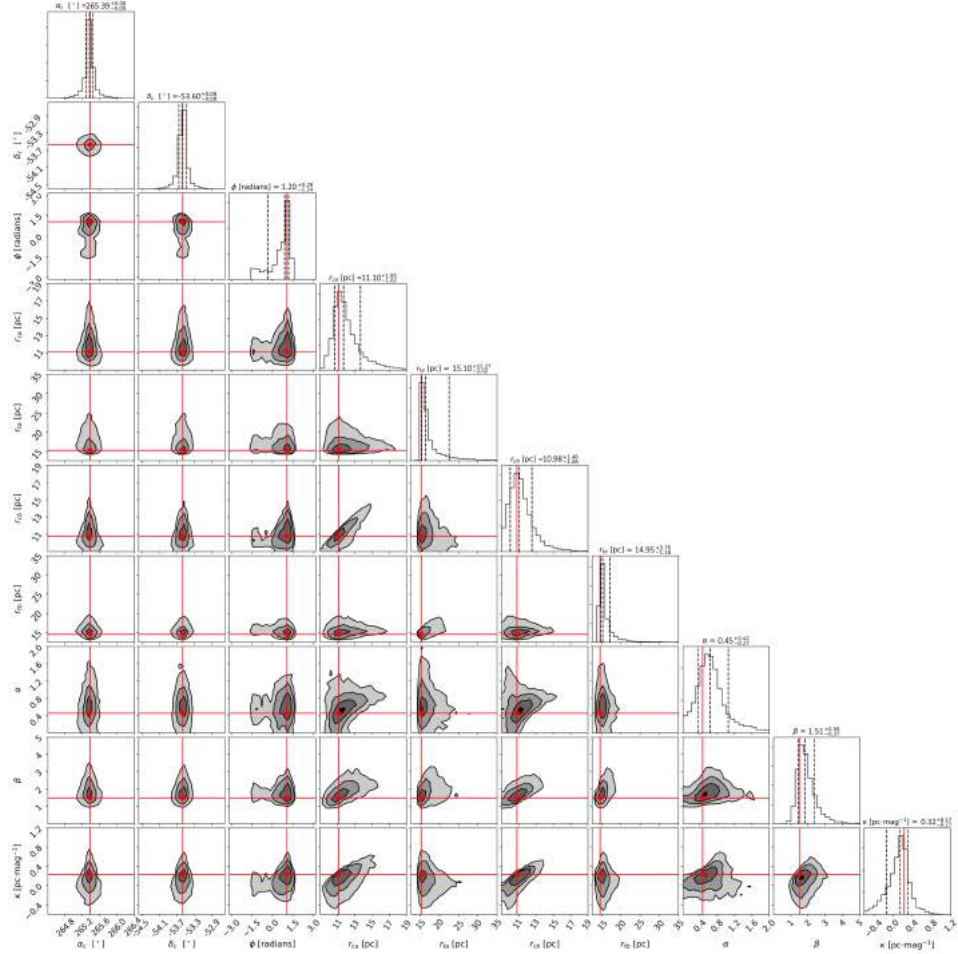
	$\alpha_c [^\circ]$	$\delta_c [^\circ]$	$\Phi [\text{radians}]$	$r_{ca} [\text{pc}]$	$r_{cb} [\text{pc}]$	α	β	$\kappa [\text{pc.mag}^{-1}]$
$\alpha_c [^\circ]$	0.009	0.001	0.008	0.004	0.002	0.002	0.002	0.001
$\delta_c [^\circ]$	0.001	0.008	-0.006	-0.005	-0.001	-0.001	-0.003	0.000
$\Phi [\text{radians}]$	0.008	-0.006	0.714	0.081	0.050	0.006	0.090	0.002
$r_{ca} [\text{pc}]$	0.004	-0.005	0.081	1.112	0.999	0.081	1.097	0.055
$r_{cb} [\text{pc}]$	0.002	-0.001	0.050	0.999	1.190	0.063	1.233	0.074
α	0.002	-0.001	0.006	0.081	0.063	0.026	0.065	0.001
β	0.002	-0.003	0.090	1.097	1.233	0.065	1.428	0.063
$\kappa [\text{pc.mag}^{-1}]$	0.001	0.000	0.002	0.055	0.074	0.001	0.063	0.015



Gambar D.16: Proyeksi dari distribusi *posterior* untuk profil King model segregasi NGC 6397.

Tabel D.16: Matriks kovarian profil King dengan model segregasi NGC 6397.

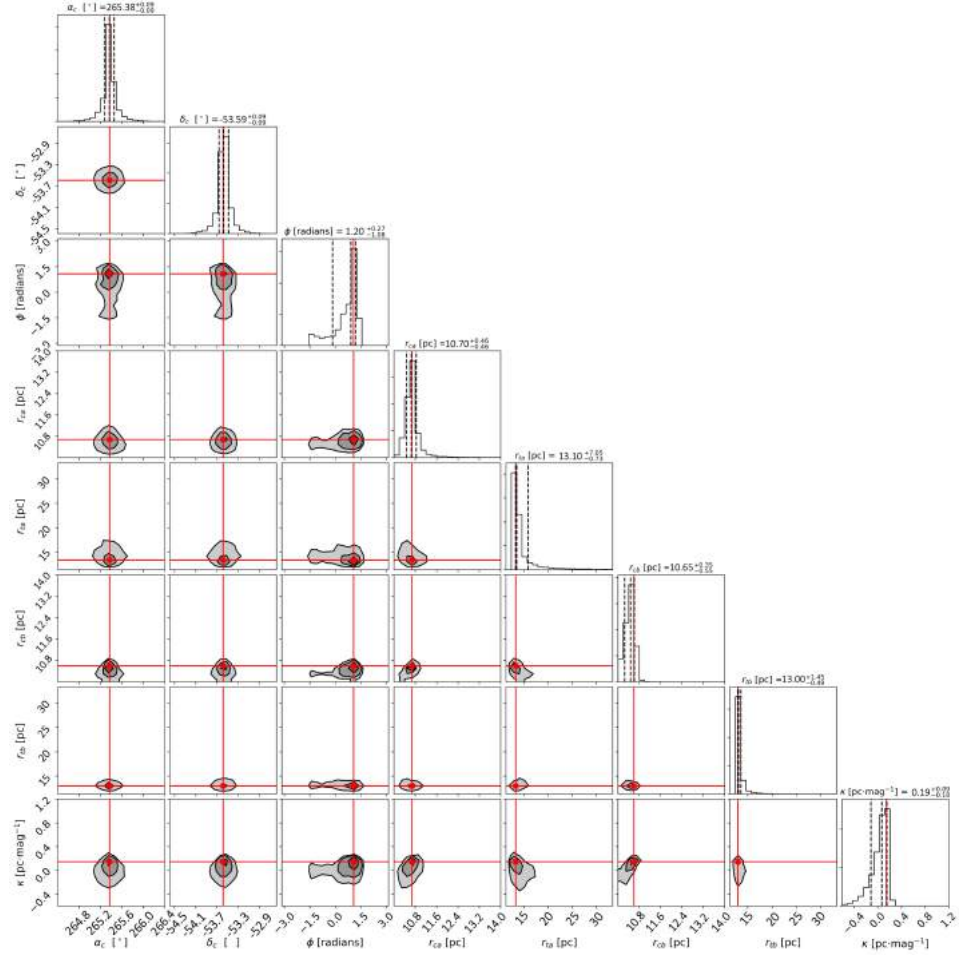
	$\alpha_c [^\circ]$	$\delta_c [^\circ]$	$\Phi [radians]$	$r_{ca} [pc]$	$r_{ta} [pc]$	$r_{cb} [pc]$	$r_{tb} [pc]$	$\kappa [pc.mag^{-1}]$
$\alpha_c [^\circ]$	0.008	0.000	0.006	0.000	-0.002	-0.001	-0.001	0.000
$\delta_c [^\circ]$	0.000	0.007	-0.004	-0.000	-0.000	0.002	0.003	0.001
$\Phi [radians]$	0.006	-0.004	0.511	-0.030	-0.002	0.025	-0.123	0.008
$r_{ca} [pc]$	0.000	-0.000	-0.030	0.356	-0.263	0.109	-0.158	0.014
$r_{ta} [pc]$	-0.002	-0.000	-0.002	-0.263	2.577	-0.265	0.366	-0.033
$r_{cb} [pc]$	-0.001	0.002	0.025	0.109	-0.265	0.186	-0.171	0.024
$r_{tb} [pc]$	-0.001	0.003	-0.123	-0.158	0.366	-0.171	0.956	-0.015
$\kappa [pc.mag^{-1}]$	0.000	0.001	0.008	0.014	-0.033	0.024	-0.015	0.007



Gambar D.17: Proyeksi dari distribusi *posterior* untuk profil GKing model segregasi NGC 6397.

Tabel D.17: Matriks kovarian profil GKing dengan model segregasi Blanco 1.

	α_c	δ_c	Φ	r_{ca}	r_{ta}	r_{cb}	r_{tb}	α	β	κ
	[$^\circ$]	[$^\circ$]	[radians]	[pc]	[pc]	[pc]	[pc]			[$pc \cdot mag^{-1}$]
$\alpha_c [^\circ]$	0.009	0.000	0.004	-0.002	-0.008	-0.002	-0.009	0.005	-0.001	-0.000
$\delta_c [^\circ]$	0.000	0.008	-0.002	0.001	0.005	0.008	0.006	-0.001	0.003	0.002
$\Phi [radians]$	0.004	-0.002	0.484	0.061	-0.133	0.125	-0.159	-0.021	0.017	0.036
$r_{ca} [pc]$	-0.002	0.001	0.061	1.794	-0.099	1.065	0.205	0.163	0.269	0.108
$r_{ta} [pc]$	-0.008	0.005	-0.133	-0.099	3.628	-0.069	1.018	-0.035	0.207	-0.065
$r_{cb} [pc]$	-0.002	0.008	0.125	1.065	-0.069	1.216	0.213	0.015	0.291	0.161
$r_{tb} [pc]$	-0.009	0.006	-0.159	0.205	1.018	0.213	1.252	-0.039	0.209	0.011
α	0.005	-0.001	-0.021	0.163	-0.035	0.015	-0.039	0.225	-0.002	-0.025
β	-0.001	0.003	0.017	0.269	0.207	0.291	0.209	-0.002	0.122	0.032
$\kappa [pc \cdot mag^{-1}]$	-0.000	0.002	0.036	0.108	-0.065	0.161	0.011	-0.025	0.032	0.047



Gambar D.18: Proyeksi dari distribusi *posterior* untuk profil OGKing model segregasi NGC 6397.

Tabel D.18: Matriks kovarian profil OGKing dengan model segregasi NGC 6397.

	$\alpha_c [^\circ]$	$\delta_c [^\circ]$	$\Phi [radians]$	$r_{ca} [pc]$	$r_{ta} [pc]$	$r_{cb} [pc]$	$r_{tb} [pc]$	$\kappa [pc.mag^{-1}]$
$\alpha_c [^\circ]$	0.006	0.000	0.000	-0.001	-0.003	-0.001	-0.002	0.000
$\delta_c [^\circ]$	0.000	0.006	-0.001	-0.002	0.001	0.002	-0.001	0.001
$\Phi [radians]$	0.000	-0.001	0.259	0.003	-0.010	0.022	-0.080	0.011
$r_{ca} [pc]$	-0.001	-0.002	0.003	0.161	-0.052	0.040	-0.009	0.008
$r_{ta} [pc]$	-0.003	0.001	-0.010	-0.052	0.555	-0.075	0.038	-0.022
$r_{cb} [pc]$	-0.001	0.002	0.022	0.040	-0.075	0.104	-0.047	0.022
$r_{tb} [pc]$	-0.002	-0.001	-0.080	-0.009	0.038	-0.047	0.221	-0.013
$\kappa [pc.mag^{-1}]$	0.000	0.001	0.011	0.008	-0.022	0.022	-0.013	0.012